

Sbor. geol. věd	Hydrogeologie, inž. geologie, 18	Str. 51—147	— obr.	4 tab.	2 příl.	Praha 1986 ISSN 0036-5289
--------------------	-------------------------------------	----------------	-----------	-----------	------------	------------------------------

Geochemie hlubinných vod a plynů střední Moravy

Геохимия глубинных вод и газов центральной Моравии

Miroslav Michaliček¹

Předloženo 6. ledna 1984

Michaliček M. (1986): Geochemie hlubinných vod a plynů střední Moravy.
— Sbor. geol. Věd, Hydrogeol. inž. Geol., 18, 51—147. Praha.

Výtah: Oblast jv. svahů Českého masívu omezená na S zónou Hornomoravského úvalu, na J nesvačilském příkopem je podle hydrogeochemických prospekčních faktorů živičně perspektivní a je prokázána její produktivnost. Perspektivnost vzniklá v jv. směru od okraje Českého masívu v důsledku nárůstu mocnosti krycích, ale i matečných souvrství. Omezujícími faktory průmyslové ropoplynoproduktivnosti sedimentárních komplexů v profilu oblasti je výjimečný výskyt dobrých kolektorů jejich regionální nestálost a vysoký stupeň vysazení vod pravřánného komplexu vnějšího i vnitřního flyšového pásma Karpat. V oblasti je prokázána existence téměř výlučně metanových plynů etan-propanového typu živičné genetické řady.

¹ Ústřední ústav geologický, pobočka Brno, Leitnerova 22, 602 00 Brno

Úvod

Studie shrnuje hydrogeochemické výsledky průzkumných vrtů, především na ropu a plyn, ve střední části oblasti jv. svahů Českého masívu, na S omezené přibližně zónou Hornomoravského úvalu, na J nesvačilském příkopem.

Navazuje na regionální ropné hydrogeochemické a hydrogeologické poznatky o dílčích strukturách Homoly (1961), Michalička (1970, 1976, 1978, 1981), Jetela (1970), Michalička a Procházkové (1972), Kolařové (1976, 1981) a další.

Rozšiřuje poznatky geochemického studia plynů Michalička (1975) zaměřeného na možný výskyt héliosních plynů v oblasti (s obsahem He nad 0,3 až 0,5 %).

Zobecňuje výsledky výzkumu kolektorských vlastností hornin v profilu vrtů zájmové oblasti (Lang 1970, 1971a,b, 1972, 1973, 1974), karotážního výzkumu zastoupení písků, pelitů, karbonátů v profilu jednotlivých lithostratigrafických komplexů (Těžký 1973); jak uvedli již Michaliček a Procházková (1971), Michaliček (1974a) aj., tyto jsou v oblasti z hlediska migrace a akumulace uhlíkovodíků, a tím reálné ropoplynosnosti limitujícím faktorem.

Při vysokém stupni rozpracovanosti oblasti, při jejímž průzkumu jsou výsledky základního výzkumu příkladně ihned realizovány v rámci průzkumně vyhledávacích prací Moravských naftových dolů (Thon et al. 1974) aj., vypoštím či omezují na minimum faktografický rozbor poznatků o hydrogeochemii a geochemii plynů, a to jak závěrů z vlastních dílčích výše uvedených studií, tak ze zpracování jednotlivých vrtů průzkumnými geology Moravských naftových dolů J. Adámkem, R. Brzobohatým, P. Kostelníčkem, J. Krejčím (archív vrtně geologických zpráv a dokumentace vrtů Moravských naftových dolů, Hodonín, aj.).

Zásoby ropy „žatčanských ložisek“ (Žatčany - Žerotín - Tály) — Juránek a Novotný (1969) — byly přehodnoceny v r. 1969 před zahájením těžby tertiérní metodou vnitroložiskové spalovací vlny.

Výpočet zásob ropy a plynu byl dále proveden na ropoplynoproduktivní struktuře Kostelany (Lubná) — Chmelík et al. (1970), Němec (1970), Kostelníček (1976), Uhřice — Kostelníček (1983), Ždánice — Krejčí a Brzobohatý (1984) a plynoproduktivní struktury Hradisko (Nětkovice) — Adámek a Petr (1975).

Průzkum pokračuje na nalezištích Ždánice a Uhřice a na dalších pozitivních strukturách Kobeřice — akumulace plynu, Ježov — akumulace ropy a plynu, Koryčany — akumulace plynu, Stupava — akumulace plynu.

Použitá dokumentace

V archívu geochemicko-laboratorního oddělení pobočky Ústředního ústavu geologického, Brno je od roku 1952 dokumentován chemismus všech hlubinných vod, plynů, rop a organických látek hornin analyzovaných ve vlastních laboratořích či Ústředních laboratořích Moravských naftových dolů, Hodonín. Při geochemickém zhodnocení ropo-plynoperspektivnosti oblasti vycházím z této dokumentace, ze zpráv o čerpacích zkouškách a získaných hydrodynamických údajích, z výsledků laboratorního výzkumu kolektorských vlastností hornin, prováděných v Ústředních laboratořích Moravských naftových dolů, Hodonín a z hydraulických parametrů kolektorů (propustnosti) určených Langem (1970–1974) podle měření nástupových křivek při čerpacích zkouškách.

Z použité geologické dokumentace je třeba uvést litostratigrafické členění vrtů podle Chmelíka et al. (1977), litologické charakteristiky hornin analyzovaných na obsah organické hmoty atd., karotážní diagramy vrtů závodu Karotáže Moravských naftových dolů, Hodonín.

Pro neúplnost dat o radioaktivitě hornin (údaje o obsahu U ekv., Th a K jsou omezeny pouze na jádrované intervaly — Uhmán 1973) opírá se řešení geochemie héliosních plynů o výsledky gama-karotážního měření. Zpracování dat a vyčlenění intervalů zvýšené radioaktivity oproti fonové provedl

M. Šelle (1977) ze závodu Karotáže Moravských naftových dolů, Hodonín. Vedle uvedené dokumentace jsem použil poznatky řady dalších specialistů. Jejich práce budou citovány při diskusi řešených problémů.

Použitá klasifikace

Kolektory podle hydraulických parametrů, tj. propustnosti hornin v μm^2 , určené na plynovém permeametu, či koeficient filtrace (k_f v m/s) a dále podle efektivní (průlinové) póravitosti vyhodnocené z nástupové křivky při čerpací zkoušce, jsou klasifikovány podle Channa (1964).

Poznámka: Puklinová propustnost a póravitost kolektorů, ať již psamitů flyšových příkrovů, nebo karbonátů paleozoika v oblasti není prakticky známa. Ojedinělá měření provedla B. Jandová z Ústředních laboratoří Moravských naftových dolů, Hodonín, a to především na jádřech z produktivních intervalů z vrtů ložiska Kostelany, Ždánice, Nitkovice, Dunajovice, Nikolčice.

Chemismus hlubinných vod je v praxi Moravských naftových dolů, Hodonín klasifikován od roku 1952 podle Palmera (1911). Používám rovněž při tomto zpracování tuto klasifikaci. Poněvadž síranová složka u naprosté většiny vod je zcela zanedbatelná, není rozlišována první a druhá salinita na chloridovou a síranovou. Stupeň mineralizace vody je vyjádřen podle Príklonského a Lapteva (1949). Výše chloridové salinity u vod NaCl typu ($S_1 \geq 75\%$, většinou 80–95 %) odpovídá přibližně celkové mineralizaci a je tříděna podle Remana (1958). Při hodnocení radioaktivity vod podle obsahu U, Ra užívám klasifikaci Tokareva a Ščerbaková (1956).

Zemní plyny, jejich chemismus, a to jak plynů rozpuštěných, tak volných, ložiskových, spontánních klasifikují podle Michalíčka (1974b); uhlovodíkové složky plynů podle Kofanova (1959) a héliosnost plynů hodnotí podle Jakucenoho (1968).

Použité zkratky litostратigrafie

N ₁ b	— baden
N ₁ k	— karpat
N ₁ eg	— eggenburg
N ₁ ot	— ottnang
MR	— račanská jednotka
MRz	— račanská jednotka, zlinské vrstvy z ₁ spodní, z ₂ svrchní
MRs	— račanská jednotka, solánské vrstvy s ₁ spodní, s ₂ svrchní
MRbv	— račanská jednotka, belovežské vrstvy
MBk	— bělokarpatská jednotka

Ž	— ždánická jednotka
Žž	— ždánická jednotka, ždánicko-hustopečské vrstvy
Žm	— ždánická jednotka, menilitové vrstvy
Žpm	— ždánická jednotka, podmenilitové vrstvy
Žf	— ždánická jednotka, svrchnokřídové vrstvy (frýdecký typ)
Žš	— ždánická jednotka, šitbořické vrstvy
Z	— zdounecká jednotka
P	— pouzdřanská jednotka
PG	— paleogén — autochton
J	— jura
J(bk)	— jura — bazální klastika
J(di)	— jura — divácké vrstvy
J(ni)	— jura — nikolčické vrstvy
J(vv+d)	— jura — vranovické vápence a dolomity
J(ms)	— jura — mikulovské slínovce
J(kv+d)	— jura — kurdějovské vápence a dolomity
J(kov+d)	— jura — kobylské vápence a dolomity
J(hr)	— jura — hrušovanské vrstvy
J(nov+d)	— jura — novosedelské vápence a dolomity
J(k)	— jura — karbonáty
C ₁ (k)	— spodní karbon (kulm)
Cna	— karbon — namur
Cv	— karbon — visé
Ctr	— karbon — turné
D	— devon
Dfm	— devon — famen
Dfr	— devon — frasn
Dgv	— devon — givet
D(vd)	— devon — (vápence, dolomity)
D(bk)	— devon — (bazální klastika)
D(or)	— devon — (bazální klastika „old red“)
Kr	— krystalinikum

Hydrogeochemie oblasti z hlediska prospekce na ropu a plyn

Postup řešení

Pro omezení faktografických popisů a rozborů hydrogeochemie a geochemie plynů oblasti na minimum jsem shrnul nejdůležitější ropně hydrogeochemické údaje a údaje o kolektorech v textové tabulce 1 a v kartogramu vrtů (příl. 1) se stručnými, ale vyčerpávajícími vysvětlivkami shrnujícími základní geologic-

ké, geochemické, ale i ložiskové údaje (litostratigrafické profily vrtů a výsledky čerpacích zkoušek).

Sestrojené korelační geologicko-geochemické řezy (příl. 2) pak vyjadřují dostatečně jak litologický a stratigrafický profil, tak složitost geologické stavby oblasti. Podávají přehled o výsledcích čerpacích zkoušek na vrtech i o chemismu vod, o tlakových projevech plynů (výlučně metanových). K vyjádření lithologie převážně peliticko-psamitických sedimentů v profilu vrtů jsem použil karotážní křivky spontánní polarizace PS a odporu, neboť jinak by bylo nezbytné celé lithostratigrafické komplexy pouze schematizovat. Propojení vrtů v řezech provedl E. Menčík — Ústřední ústav geologický, pobočka Brno.

Podrobný chemismus hlubinných vod oblasti je uveden charakteristickými celkovými rozbory vod jednotlivých lithostratigrafických komplexů — tabulka 2.

Rádiové vody s radioaktivitou nad 0,37 Bq/l jsou shrnuty v tabulce 3.

Chemismus plynů je uveden rovněž jen charakteristickými celkovými rozbory (tab. 4).

Základními faktory pro posouzení hydrogeologické uzavřenosti a živěnosti perspektivnosti struktur, které používám vedle hydrogeochemických nepřímých faktorů, jako jsou obsahy biogenních prvků, salinita vod ekvivalentní nebo blízká paleosalinitě, např. Bars 1957, Altovskij 1967, Collins 1975 aj., jsou to především:

- a) koeficient Gureviče et al. (1956), He/Ar, umožňující určení stupně hydrogeologické uzavřenosti zkoušeného intervalu,
- b) poměr tlak nasycení/tlak vodního sloupce = K_{nas} , který charakterizuje stupeň nasycení vrstevní vody plynem, a tím perspektivnost obzoru jako plynového.

Geochemický výzkum plynů se v úseku Střed omezuje na chemické a genetické hodnocení, na doplnění poznatků o výskytu héliosních plynů v této oblasti a o vztahu zvýšených koncentrací hélia k radioaktivitě hornin (Michalíček 1975).

Geologické podmínky pro vznik a uchování ložisekropy a plynu

Za hlavní fenomény, které ovládaly podmínky pro zachování nebo destrukci akumulace uhlovodíků za předpokladu jejich polyfázového vzniku i několikanásobné migrace, lze označit střídání období sedimentace, hiátu a orogenických fází formujících vývoj variscid Českého masivu, jejich modelaci do epivariské platformy, zakrytí neoidním strukturním patrem (neogenní výplní předhlubně) a nasunutím vněkarpatských příkrovů (Michalíček - Menčík 1981).

V tomto vývoji byly rozhodujícími regionálními činiteli: začátek sedimentace paleozoika na hranici eifel-givet; intraformační hiát a následná transgrese ve

svrchním visé (v části prostoru); asturská horotvorná fáze s finální konsolidací variského orogénu; vývoj epivariské platformy doprovázený denudací a peneplenizací povrchu; transgrese epiplatformního jurského moře; transgrese svrchnokřídového moře; založení dílčích bazénů oligomiocenní předhlubně; nasunutí vněkarpatských příkrovů; mladé pliocenní a kvartérní vertikální pohyby.

Transgrese jury a svrchní křídy i výplň oligocenních depresí a neogenní miočenní předhlubně nezasáhly celý prostor epivariské platformy, zakrytý za štýrských fázích nasunutými flyšovými příkrovky. Proto na značném prostoru jv. svahů Českého masívu mohly být variscidy Českého masívu po své konsolidaci až do nasunutí flyšových příkrovů obnaženou perzistentní souši. Z hlediska polyfázové geneze a migrace uhlovodíků (Simánek 1981) byla velmi důležitá tektonická neoidní reaktivace jv. svahů Českého masívu jak v období zakládání oligomiocenní předhlubně, tak při nasouvání vněkarpatských příkrovů, pod jejichž tlakem došlo k hlubokému ponoření Českého masívu pod vnější Karpaty a konečné vertikální pliocenní a kvartérní izostatické zdvihy a poklesy.

Geochemické podmínky geneze živic

Simánek (1976, 1977, 1981) podle geochemických kritérií ropoplynomaticnosti řadí v naší zájmové oblasti mezi ropoplynomatečné kulmské břidlice spodního karbonu, sedimenty peliticko-karbonátové facie jury ve vývoji mikulovských slínovců a peliticko-psamitická souvrství autochtonního paleogénu, neogénu čelní předhlubně Karpat stáří eggenburg–ottnang, karpat a spodní baden, z vnějších flyšových příkrovů Karpat sedimenty pouzdřanské jednotky, podmenilitové vrstvy ždánické jednotky. Z vnitřní (magurské) flyšové skupiny příkrovů je příznivě vyvinut komplex zlinských vrstev račanské jednotky. Určitý význam mohou mít i sedimenty bělokarpatské jednotky.

Podle kritérií RVHP doporučených k zhodnocení prognóz uhlovodíků lze mezi ropoplynomatečné zařadit celý vrstevní sled sedimentárních hornin s výjimkou karbonátů paleozoika, jury a bazálních klastických souvrství.

Z hlediska potenciální ropoplynomatečnosti v sedimentárním profilu oblasti je podle téhož autora toto pořadí zastoupení lithostratigrafických komplexů: autochtonní paleogén, mikulovské slínovce jury, podstatně menší význam mají spodnokarbonátové břidlice (kulm), karbonatický devon, ale i peliticko-psamitické sedimenty neogénu. Z flyšových příkrovů mají význam především zlinské vrstvy račanské jednotky, podřadně se uplatňují souvrství bělokarpatské jednotky a z vnějších flyšových příkrovů Karpat lze přičítat úlohu zvláště v j. části jv. svahů Českého masívu sedimentům pouzdřanské jednotky a podmenilitových vrstev ždánické jednotky.

Z hlediska produktivnosti uhlovodíkových plynů druhé generace podle měření reflexivity rozptýlené organické hmoty a s ohledem na objemy a absolutní

hmotnosti matečných souvrství se mohou na genezi metanových plynů uplatnit i horniny dalších litostratigrafických komplexů v příznivých geologických (termodynamických) podmínkách v hloubkách 6–7 km.

Genetická příslušnost plynů a rop akumulovaných v kolektorech autochtonního paleozoika a mezozoika Českého masívu není dosud při složitosti geologického vývoje a stavby oblasti jednoznačně dořešena. Propustná souvrství paleozoika i mezozoika představují dnes také kolektory uhlovodíků neogenního a paleogenního stáří. Většina hornin paleozoika a mezozoika odpovídá stupněm karbonifikace matečné organické substance nižší karbonifikační fázi metamorfózy — genezi kapalných uhlovodíků.

Matečným materiélem pro vznik ropných uhlovodíků byl smíšený sapropelohumusový materiál. Bimodální distribuce nasycených parafinických uhlovodíků v ropách svědčí o výrazném uplatnění terestrické fytogenetické složky. Tento předpoklad potvrzuje výzkum izoprenoidních uhlovodíků; výsledky studia polyaromatických uhlovodíků potvrzují genetickou samostatnost mezozoických, příp. paleozoických živců.

Emigrace uhlovodíků z matečných do nádržních hornin je u potenciálně nejvýznamnějších mikulovských slínovců poměrně nízká. Značná část generovaného množství uhlovodíků zůstává vázána v místě vzniku jako syngegetická složka. Na rozdíl od mladších souvrství, ve kterých lze předpokládat důvodně migraci na značné vzdálenosti (např. ložisko Kostelany), je podle výzkumu rop a horninových bitumenů v mezozoiku a paleozoiku migrace omezena a významně se uplatňuje jen v rozsahu jednotlivých struktur. Migrovanými bitumeny jsou nejvíce obohacený horniny karbonu, devonu a krystalinika. Podíl olejové frakce dosahuje až 40 %. Těžký asfalticko-smolný charakter bitumenů krystalinika a klastického terigenního devonu je důsledkem podzemního využívání lehkých frakcí. Největší množství epigenetických bitumenů obsahují svrchní části karbonatického devonu (Nítkovice, Žarošice aj.).

V autochtonním paleogénu je prokázán pokročilý stupeň vytěsnění vzníklých bitumenů do sběrných vrstev. Stupeň termického přepracování disperzně rozptýlené organické hmoty je méně pokročilý a větší část matečné hmoty by mohla podle autora poskytnout uhlovodíky druhé generace.

V neogénu je pokročilejší emigrace generovaných bitumenů do kolektorů v souvrství stáří eggenburg—ottang než v karpatu. Horniny obou těchto peliticko-psamitických souvrství představují dnes významný potenciální zdroj uhlovodíků druhé generace při jejich ponovení do hloubek 5–7 či více kilometrů.

Hydraulické vlastnosti hornin

Regionální litofaciální a paleogeografické zhodnocení jednotlivých komplexů v sedimentárním profilu j. části oblasti jv. svahů Českého masívu nebylo dosud

provedeno. První práce v tomto směru provedli Eliáš (1977, 1981) a Rehaňek (1978) pro mezozoikum — juru, příp. křídou.

Podle současných hydrogeologických poznatků mají vlastnosti kolektorů v jednotlivých lithostratigrafických komplexech v zájmové oblasti

- a) horniny zvětralého povrchu k r y s t a l i n i k a — smíšený typ puklinovo-průlínového kolektoru;
- b) v komplexu p a l e o z o i c k ý c h sedimentů hlavně bazální klastika facie „old red“, řazené do spodního až středního devonu. Jsou tvořena převážně křemennými pískovci a slepenci, méně arkózovými pískovci a písčitými jílovci. Představují kolektory s převážně průlínovou, ale i kombinovanou průlínovo-puklinovou pórositostí a propustností. Mocnost bazálních klastik je značně proměnlivá s maximem až 1500 m (Měnín-2). Nad klastickým bazálním souvrstvím leží komplex karbonátů devonu stáří givet—frasn, místy až spodní tournai, přičemž v jejich nadloží (tournai—visé) dochází lokálně k několika stratigrafickým hiátům a karbonátová sedimentace přechází postupně do nadloží do jílovité (břidlice), výše s vložkami drob kulmského vývoje. Rifové vápence vilémovické a lažánecké bývají ve spodní části místy značně dolomitizované. Zvláště dolomitizovaná část těchto rifových vápenců představuje charakteristický puklinový karbonatický typ kolektorů paleozoika. V centrální části nesvačilského příkopu a v s. části studované oblasti mocnost komplexu karbonátů dosahuje až 1000 m. Mocnosti generelně klesají směrem k JV.

Rifové vápence vystupují vždy těsně po transgresi středodevonského moře a ukončení sedimentace je z časového hlediska nerovnoměrné. Geneticky jsou vázány na období všeobecného klesání, transgrese moře. Rychlá subsidence byla kompenzována růstem rifotvorných organismů a sedimentací produkovaného vápeneového kalu, prakticky bez přínosu klastických materiálů z přilehlající pevniny.

Vyšší část paleozoika (svrchní visé—namur A) představuje v sz. části zájmového území mysljeovické souvrství, tvořené převážně hrubozrnnými slepenci, které k JV prstovitě přecházejí do drob a břidlic kulmského vývoje. Maximální mocnost mysljeovického souvrství činí 3000 m, v nesvačilském příkopu až 1000 m s maximem na vrchu Újezd-1 přes 1700 m. Mocnost kulmského vývoje k V podle poznatků z oblasti Uhřic se snižuje na 300—700 m. Psamity mysljeovického souvrství jsou z hlediska kolektorského prakticky bez podstatného významu.

Naproti tomu psamity — drobové a arkózové pískovce, slepence — nadložního terestrického svrchního karbonu zastiženého v j. a střední části oblasti jv. svahů Českého masívu pouze vrty Němčičky-1, -2, Žarošice-1 představují průlínové, příp. kombinované průlínovo-puklinové kolektory. Jsou ekvivalentem ostravského souvrství (namur A).

- c) Za kolektorské horniny v lithostratigrafickém profilu m e z o z o i k a j v .

s v a h ú Č e s k é h o m a s í v u možno za současných znalostí pokládat především psamitické polohy grestenských vrstev liasu — spodního doggeru a nikolčické vrstvy na bázi karbonátového a peliticko-karbonátového vývoje. Obě litofacie jsou spojeny s transgresní fází vývoje jurského sedimentačního bazénu. Vývoj grestenských vrstev v Rakousku je považován za deltové a protodeltové sedimenty ukládané na okrajích pánví a doprovázené uhelnou sedimentací facie marší. Jde o jedno z mála souvrství s předpokladem zachování podstatného podílu intergranulární pórositosti u klastických sedimentů. Nikolčické vrstvy ve facii písčitých dolomitů a dolomitických pískovců a křemenných pískovců (nikolčicko-kurdějovský hřbet) vyznačují celopánevní transgresi. Karbonátové horniny v karbonátovém a peliticko-karbonátovém vývoji malmu možno považovat za sedimentační prostředí náchylné k tvorbě smíšených a puklinových kolektorů v přímé závislosti ke zvyšujícímu se podílu klastických komponent a vzrůstající dolomitizaci. V okrajových částech pánve se na tvorbě pórů a dutin uplatňuje i sekundární krasovění hornin. U vranovických vápenců a je podestýlajících nikolčických vrstev (vranovický obzor s. l. Špička 1976) vzniká 50–120 m mocný pórositý komplex, v němž geneze pórositého prostředí je značně komplikovaná. Jeho báze je tvořena různě diageneticky zpevněnými klastiky, výše pak vápenci a dolomity.

Střední část lithostratigrafické sekvence peliticko-karbonátového vývoje jury skládají relativně nepropustné slíny.

- d) V profilu autochtonního paleogénu, miocénu představují písky a pískovce vždy více či méně vápnité, převážně průlínový typ kolektorů. Pískovce flyšových příkrovů Karpat jsou však vždy spíše smíšeným typem kolektoru s převahou propustnosti a pórositosti buď průlínové, nebo puklinové. Stupeň písčitosti, poměr zastoupení bazálních klastik, písčitých poloh k pelitickým v profilu autochtonního oligocénu, miocénu — eggenburgu-ottnangu a karpatu, ale i v profilu příkrovů ždánické a pouzdřanské jednotky podrobně zpracoval Těžký et al. (1971).

Klasifikace kolektorských hornin paleozoika a mezozoika

Výskyt dobrých kolektorů je obecně limitujícím faktorem pro existenci průmyslově významných ložisek ropy a plynu a tento faktor platí podle současných poznatků pro celou oblast jv. svahu Českého masívu.

Současné poznatky z laboratorně fyzikálního výzkumu kolektorských hornin vrtných jader (M. Koukolíček, Moravské naftové doly, Hodonín; J. Uhmann, Geofyzika, Brno) a hydrodynamického výzkumu na vrtech (Z. Lang, Výzkumný ústav geologického inženýrství, Brno), interpretace karotážního měření na vrtech s cílem vyčlenění kolektorů, určení jejich vlastností a druhu sycení, (A.

T a b u l k a 1
Ropné hydrogeochemická a kolektorská data

vrt hloubkový interval v m	nadmořská výška vrtu v m	počta vrtu. v m	klasifikace kolektoru (A. A. Chanin 1964)	přítok	chemické parametry hliniky, vod mineralizace chloridy g/l g/l			stupeň nasycení vod plyny M. S. Gurevič et al. (1956)
					mineralizace	chloridy g/l	g/l	
Blatnička-1 80—106	238/1457 — Rz	Bk	5	P	—	2,7	27,3	>1,0 —
119—149		Bk	5	V	—	—	—	>1,0 —
760—823		Rz	IV	P	—	—	—	—
Březa-1 938,5—949,5	182,69/1702 — Kr	Nieg-ot J(kv+d), J(vv+d)	V	V	12,3 3,0 2,8	7,3 1,6 1,6	10,2 2,5 1,8	0,67 0,22 —
1000—1615		Kr	IV	V				
1621—1635								
Březa-2 757—4125	192,54/2016 — J(vv+d)	Nik	V	V	18,7	10,9	44,4	0,27—0,99 0,51—0,90
1225—1288		Nieg-ot J(kv+d)	V	V	27,3	16,3	66,0	—
1343—1353		J(ms), J(vv+d)	V	V	26,8	16,0	67,3	0,50
1802—2016		J(ms), J(vv+d)	V	V	47,7	29,4	23,4	0,30
Břežanyky-1 230—248	306/1207 — Rz	Rbv	4	V	—	—	—	—
946,5—1207		Rz	5	R	1,3	0,69	0,0	—
Bučovice-1 187,5—388	230/1121 — Kr		IV	V	1,9	0,04	0,0	<0,1 0,72
592—1121		Dgv+fr(vd)+Kr	V	V	5,6	2,5	3,8	
Dražovice-2 233—1500	286/1500 — Kr	Gt+Dgv+fr, fm(vd+bk)+Kr	V—III	V	1,1	0,2	0,0	<0,1
Dunajovice-1 1097—1108	198,37/1810 — Kr	Nieg-ot J(kv+d), J(ms), J(vv+d)	III III IV—V	P P V	— 27,9 30,6 42,3	— 16,9 18,7 26,3	52,0 16,5 19,0	— 4,0 0,48 0,58
1128—1138		J(vv+d)	V	V				
1158—1690								
1710—1773,5								
Hluk Hw-2 320—391	—/702 — Rz	Bk	5	VP, V	8,9	4,6	52,6	—
422—502		Bk	5	P	—	—	—	—
687—702		Rz	5	P				—

Huk-3	—	235/842,6 — Rz	5	P	—	—	—	—
Huk-5	Bk+Rz	—/500 — Rz	5	P	—	—	—	—
386—390	Rz	—/500 — Rz	5	P	—	—	—	—
437,5—441,5	Bk	292/1050 — Kr	IV	V	4,8	2,2	2,5	0,39
Holšov-1	Nik	—	V	V	5,1	2,5	2,5	0,39
717—725	D(vd)	—	V	V	4,9	2,6	3,8	0,32
766—945	D(vd)+Kr	—	V	V	—	—	—	—
979—1047	Kr	195/1450 — Kr	5	pV, V	17,5	9,8	28,6	<0,4
Hulin-4	—	204/1420 — Kr	5	V	16,5	9,5	22,7	2,4/284+
1396—1450	Z	2+Nick	5	V	21,4	12,7	52,0	1,9/122+
Jarněvice-1	Kr	—	V	V	7,5	4,2	14,0	0,21
531—535	Z	—	V, pV	V	—	—	—	—
798—809	Z+Nick	—	V	V	—	—	—	—
(380—1417	Kr	332/5578 — Rst	5	RPV	15,2	7,8	19,0	>1,0
Jarošov-1	Rz1	—	VP	VP	17,0	7,9	15,2	0,26—0,94
1767,5—2954	Rz2	—	RPV	RPV	13,8	3,9	11,4	>1,0
3073—3274	Rz1	—	RPV	RPV	—	—	—	—
575—4595	Rz1	245/3897 — Zzz	4	V	2,4	0,9	4,4	—
Ježov-1	Nis	—	V	V	2,5	0,6	1,9	—
183—208	Nis	—	V	V	5,3	2,1	8,2	—
568—577	Nis	—	V	V	13,4	6,2	13,0	—
642—650	Nis	—	RPV	RPV	16,8	8,3	27,9	—
2760—2770	Rst	—	RP	RP	—	—	—	—
2966—2979	Rst	—	—	—	—	—	—	—
3444—3450	Zzz	—	—	—	—	—	—	—
Ježov-2	288,96/3000 — Kr	—	V	V	10,8	5,4	28,6	—
757—766	Rz2	—	V, P	P	17,6	9,6	24,6	—
1430—1453	Rz2	—	PV	PV	27,9	28,1	415,5	—
2514,3—2655	J(ms), J(ni)+D(bk)	IV	—	—	—	—	—	—
Kořenice-2	357,21/1900 — Dfr	—	V	P	—	—	—	—
4053—4065	Nik	—	V	V	15,2	—	—	<0,4
1079,5—1084,5	Nik	—	V	V	20,1	11,4	22,8	0,3
1094—1104	C1(K)	—	V	V	15,1	8,7	26,6	<0,1
1781—1789,5	C1(K)	—	V	V	23,9	14,1	11,4	<0,1
1865—1880	Dfr	—	V	V	—	—	20,3	<0,1
Kojetin-1	493/1004 — Kr	III	V	2,5	0,9	2,5	—	—
420—430	Nik	—	P	—	—	—	—	—
Koryčany-1	445/1800 — Kr	—	—	—	—	—	—	—
1733—4753	Kr	—	—	—	—	—	—	—

Tabuľka 1 (pokračovanie)

vrt hloubkový interval v m	nadmořská výška vrtu v m	počva vrtu v m litostatigrafie	klasifikace kolektoriu (A. A. Channin 1964)	prítok	chemické parametry hlb. vod			stupeň nasycení vod plyny M. S. Gurevič et al. (1956)
					mineralizace g/l	chloridy g/l	jodidy mg/l	
Kožušice-4 863—916	359/1303 — Kr	Zž	IV	V	18,6	9,9	0,0	<0,1
1175—1267	Nik	IV	V	8,6	4,5	20,3	0,95—1,45	
1272—1303	Nik+Kr	IV	V	—	—	5,7	0,29	
Kožušice-4 942—949	274/1085 — Kr	Nik	4	P	8,8	4,3	7,6	—
962—974	Nik	4	V	6,7	3,5	7,0	<0,1	
1027—1042	Nik+Kr	5	V	—	—	—	<0,1	
Kreměž-4 525—531	248/29/1448 — Kr	Nik	4	VP	14,8	8,2	38,1	—
562,5—574	Nik	4	VP	9,3	5,3	19,0	>1	
1075—1085	Nik+Kr	5	PV	8,5	4,8	16,5	>1	
1092—1114	Kr	5	PV	6,0	3,3	8,9	>1	
Lubná-4 1434—1559	347/1560 — Kr	Nik+Kr	IV	RPV	13,6	7,7	5,1	>1
Lubná-4 399,5—4048	387/1628 — Kr	Nik	4	P	—	—	—	—
1506,5—4513,5	Nik	4	V	12,8	6,5	24,4	1,5/163+	
1527,5—1628	Nik+Kr	4	V	45,4	27,7	18,5	0,82++	
Marefy-4 396—405	243/1084 — Kr	Zpm	4	V	—	—	—	—
480—4081	D(vd+bk)+Kr	D(vd+bk)	4	V	3,9	1,3	3,8	<0,1
Měnín-4 55—135	184,62/2100 — D(bk)	D(vd)	V	4,0	4,5	2,5	0,21	
197—250	D(vd)	V	V	—	—	—	—	
424,8—674	D(bk)	V	V	3,6	1,2	2,5	—	
1378,6—1817,4	D(bk)	V	V	19,9	11,1	11,4	—	
Morkovice-4 319,5—323,5	450/1051 — Kr	Nik	5	P	—	—	—	—
684—822	Nik	5	V	27,1	15,7	97,7	0,89	
Němčíky-4 2177—2189	321,54/5192 — Dr	P	RP	45,9	25,9	9,1	1	
2212—2344	J(kv+d), J(kv+d)	V	V	37,9	21,4	17,8	1	

		V	$\frac{pV}{pV_{VP}}$	$\frac{pV_{VP}}{VP}$			
J(ms)			50,0	27,3	46,3	1	
Cna			59,3	33,5	12,7	1	
Cfr, Dfr			21,8	12,4	24,1	1	
Němčičky-2	298,07/5493 — D(bk)						
P, J(k)		V	pV	14,4	7,9	75,8	
J(kv+d)			VP	—	—	—	
Cna		V	V	38,2	24,6	38,0	
Cv, Cfr, Dfm		V	P	—	—	—	
Dfr		V	RP	—	—	—	
Dir, Dgv, D(bk)		V	pV	37,4	24,3	25,4	
284,5—5493,5							
Nesvačilka-1	205/1589 — PG	IV	V	43,4	7,0	24,1	
230—240	Nieg-ot	IV	V	3,6	1,5	3,2	
357—440	Nieg-ot	V	V	21,7	11,6	18,5	
604—697	PG	V	V	35,6	24,4	15,2	
1462—1512	PG	V	V	46,4	28,1	22,8	
1535—1562	PG	V	V				
Nesvačilka-3	189/2484 — G(k)	V	V				
139—443	Nieg-ot	IV	V	2,9	0,8	1,1	
670—682	PG	V	V	12,8	7,2	4,7	
809—1120	PG	V	V	1,1	0,4	0,0	
1249—4345	PG	V	V	7,0	3,9	1,1	
1556—2483	G(k)	V	V	36,1	22,1	13,2	
Nikolicice-4	201,64/1665 — Kr	V	V				
365—375	Nik	V	V	4,8	1,8	6,3	
530—562	Nieg-ot	V	V	6,7	3,0	8,9	
584,5—810	J(nov+d), J(bk)	V	V	3,9	1,5	3,2	
851,5—1065	D(bk), Kr	V	V	4,7	2,1	1,3	
Nikolicice-5	180,44/1383 — Kr	V	V				
553—562	Nieg-ot	V	V	4,9	2,3	3,8	
599—1065	J(nov+d), J(ai), J(hr)	V	VP	5,4	2,4	3,7	
1134—1265	J(ai), J(di)	V	VP	—	—	—	
Nikolicice-6	339,27/1966 — D(bk)	V	pV, RV	20,0	11,6	11,4	
1076—1096	Nieg-ot, J(ms)		pV, VP	48,0	28,3	26,6	
1506—1966	J(kv+d), J(ai), J(di), D(bk)						
Nitkovice-2	546/1833 — Kr	4	P	—	—		
849—863	Dfm	4	VP	46,8	8,9	52,7	
938—1016	Dfr	V	V	5,7	2,2	4,7	
1200—1833	Dgv-fr(vd+bk)+Kr						

Tabulka 1 (pohledování)

hloubkový interval v m	vrt v m	nadmořská výška vrstu v m		klasifikace kolektoru (A. A. Chamin 1964)	průtok	chemické parametry hlub. vod			stupeň nasycení vod plyny M. S. Gurevič et al. (1956)
		pečva vrstu v m	litostatigrafie			mineralizace g/l	chloridy g/l	jodidy mg/l	
Osvětimany-1		260/2820 — Kr		4	pV	4,8	2,0	1,4	0,4—0,75
950—1380	R ₂₁	4		4	V	6,2	2,7	2,5	0,14
1410—1420	R _{2v}	4		4	VP	6,3	2,5	2,5	0,24
1555—1650	R _{s2}	5		5	RPV	4,9	1,5	3,2	>1,0
1674—2080	R _{s1}					—	—	—	>1,0
2518—2820	R _s +Kr	5							
Popice-1		254,88/2450 — Kr							0,82—4,03
1148—1480	Pkf	V		V	V	27,8	13,6	64,7	1,1
2130—2137,5	PG	V		V	V	56,1	33,3	29,2	0,89
2325—2340	Kr	V		V	V	55,8	33,3	20,3	
Rataje-1		284/1679 — Kr		4	V	9,8	5,2	20,9	0,51
582—590	N _{lk}	4		4	V	3,7	1,4	3,2	0,44
1311—1314	N _{lk}				V	4,7	2,4	4,4	0,20
1366—1479	Dgv(vd+bk)+Kr								
Roštín-1		323/1550 — Kr		5	V	31,0	18,8	37,7	0,71
715—733	Z ₂	5		5	V	18,7	10,6	53,9	3,9/70
957—967	N _{lk}	5		5	V	14,4	6,0	18,4	7,3/545+
1405—1461	N _{lk}								
Rousínov-4		316/1003 — C ₁ (k)							
324—663	N _{ib}	4			V	2,8	0,4	0,0	<0,1
703—752	N _{lk}	4			V	2,4	0,3	0,0	<0,1
785—1003	C ₁ (k)	5			V	5,9	3,3	6,3	<0,1
Slavkov-2		227/1440 — Kr							
843—1340	Dfr-gv(vd+bk)+Kr								
Strachotín-1		168,27/2600 — Kr		III	VP	2,9	1,1	2,5	0,4
1162,5—1278	P			IV	V	20,0	11,6	72,3	0,44
2221,6—2430	J(vv+d), J(ni)			V	V	50,7	30,9	26,8	0,40
2450—2518	Kr			V	V	53,5	32,5	26,6	0,93
Stupava-1		453/2500 — Kr		5	V	—	2,1	2,5	<0,1
560—1675	B ₂₁			IV	P	18,0	7,9	20,2	—
2156—2400	N _{lk}			5	V	—	19,1	36,8	
2425—2500	N _{lk} +Kr								

Tabuľka 1 (podkráčování)

vrt. hloubkový interval v m	nadmořská výška vrstu v m	počet vrstev v m	klasifikace kolektoriu (A. A. Chanin 1984)	prítok	chemické parametry hlub. vod			stupeň nasycení vod plyny M. S. Gurevič et al. (1956)
					mineralizace g/l	chloridy g/l	jodidy mg/l	
Zarožice-1 370—998 1143—1254 1907—1963	224/2867 — Dgv (bk) Zž Zž C1(vd)	V V V	V V V	V V pV, P VP V V	2,2 11,9 —	0,2 6,8 —	— 24,1 —	>1,0 1,15 —
Zarožice-2 394—662 785—795 1156—1180 1195—1375	388/1620 — Kr Zž+Zm Zpm Nieg Dgv-fr(vd+bk)	V V V V	V V V V	V V V V	3,6 21,7 20,1 19,7	4,5 12,8 11,0 11,3	7,0 37,0 35,4 38,5	>1,0 >1,0 1,04 >1,0
Zatěšany žit pole 39,9 —100	Žt 45-/ — Ník Ník Ník	II II II	V R	V R	2,0 —	0,7 —	0,0 —	<0,4 —
Zatěšany Sokolnice So 3 77—82 96,5—104	188,1/119 — Ník Ník Ník	II II II	R R	R R	— — —	— — —	— — —	— — —
Zerotín (Měnín) RH 40 57,6—67	103/62 — Níb Níb	II II	V R	V R	1,0 —	0,03 —	— —	<0,1 —
Zdánice-1 964—990	426/990 — Kr Kr	IV	R	12,6	7,4	11,4	1,0	
Zdánice-28 1020—1027 970—980	/1060 — Kr miocén	5 4	V pV, R	7,2 —	3,9 —	8,9 —	<0,4 —	

Výsvetlivky: litotraťgrafie — použité zkratky jsou uvedeny v úvodu. Klasifikace kolektoru — klasifikace kolektoru — nosceň, klasifikaci trídy 1—5 jsou odhadnutý. Prítok: P — plyn, R — voda, VP — voda a plyn, PV — proplynné vody, RP — ropu a plyn, RV — ropu a vody, RPV — ropu vody, plyn, SR — stopy ropy. Stupeň (koeficient) nasycení vod plyny Knas = tlak nasycení/tlak hydrostatický; jeho hodnoty > 1 a < 1 jsou odhadnutý; + tlak nasycení/sloupeč vody MPa/m; ++ hodnota stupně nasycení zkrášlena v důsledku deprese při vznikování věším než 25 % oproti tlaku hydrostatickému.

Těžký, Geofyzika, Brno; M. Šelle, Moravské naftové doly, Hodonín), poznatky mikroskopického výzkumu mikro- i makropuklinatosti hornin (B. Jandová, Moravské naftové doly, Hodonín) umožňují relativně reprezentativní třídění a klasifikaci průlínových kolektorů s primární póravitostí a propustností či kombinovaných průlínovo-puklinových kolektorů, u nichž sekundární puklinová póravitost a propustnost hraje podřadnou úlohu. K druhému typu, který je převažujícím typem psamitických kolektorů, můžeme zařadit v profilu paleozoika: bazální klastika facie „old red“ stáří spodní—střední devon a psamity terestrického uhlonosného svrchního karbonu — namur A.

V profilu mezozoika — jury sem patří bazální klastická souvrství stáří lias—spodní dogger (nikolčické vrstvy). Ve svrchní křídě jsou kolektory tohoto typu peliticko-psamitické sedimenty klementských vrstev.

Podle klasifikace kolektorů ropně hydrogeologické praxe (Channin 1964) patří psamitické kolektory paleozoika a mezozoika karpatské předhlubně a jv. svahů Českého masívu převážně do nejnižší klasifikační třídy kolektorů s nízkou propustností pod $1 \cdot 10^{-2} \mu\text{m}^2$ i póravitostí pod 8–12 %. Do IV. třídy kolektorů se sníženou propustností 10^{-2} – $10^{-1} \mu\text{m}^2$ a póravitostí 8–18 %, výjimečně i do III. třídy (středního typu) kolektorů byly podle výsledků čerpacích zkoušek zařazeny klastika a psamity na strukturách Ježov (Jni, Dbk), Mušov (Jni), Mikulov (Jni).

Karbonatické kolektory v profilu paleozoika a mezozoika představují kolektory puklinové a kolektory se smíšenou propustností a póravitostí buď puklinovo-průlínové nebo puklinovo-krasové. Jejich póravitost a propustnost je převážně sekundární.

Současné poznatky o tomto typu kolektorů neumožňují reprezentativní rozřídění a kvantitativní klasifikaci kolektorů a to ani podle petrofyzikálního, petrografického výzkumu vrtných jader, ani podle vyhodnocení karotáže či hydrodynamického výzkumu na vrtech.

Obeecně platí, že hydrodynamický výzkum, příp. karotážní hodnocení dává hodnoty podstatně bližší skutečnosti než výzkum laboratorní. Podle srovnání např. výsledků hydrodynamického vyhodnocení nástupových křivek a fyzikálního měření propustnosti na jádrech v úseku „Jih“ byly zjištěny hodnoty propustnosti z laboratorního měření o 1 až 2 řády nižší než vyhodnocené údaje z nástupových křivek. Přitom použitá metodika vyhodnocení nástupových křivek Z. Langem z Výzkumného ústavu geologického inženýrství, Brno (Lang 1970, 1971a,b, 1972, 1973, 1974) byla vypracována pro průlínové kolektory.

Karbonáty paleozoika a mezozoika podle fyzikálního a petrografického výzkumu jader a hydrodynamického výzkumu čerpacích zkoušek byly zařazeny převážně do nejnižší V. třídy kolektorů podle klasifikace Channina (1964). Zařazení bylo provedeno na základě srovnání hodnot propustností s přihlédnutím i k údajům zjištěných póravitostí karbonátů. Jejich póravitost je pod 8 %,

Tabuľka 2

Výběr charakteristických chemických rozborů

vrt interval m	litostratigraphie	mineralizace g/l	pH	Ca	Mg	Na	K	Li
Blatnička-1 119—149	Bk	5,4	9,0	36,0	25,5	1908,2	18,4	—
Březůvky-1 230—248	Rbv	1,3	10,0	8,0	10,2	535,9	2,7	—
Bučovice-1 813—797	Dgv+fr	5,6	7,5	52,1	41,3	1750,0	39,0	0,40
316—307								
292,5—284	Žž	1,9	9,5	10,0	7,3	568,0	17,6	0,16
269—263								
Dražovice-2 1160—1146	Dgv+fr	1,1	8,0	13,6	31,1	273,6	21,5	0,23
1093—1087								
1083—1062								
Hluk HW-2 320,5—325,5	Bk	8,9	8,5	42,4	46,6	3270,6*)	—	—
Holešov-1 980—1047	D(vd)+Kr	4,9	8,0	36,0	12,2	1772,5	16,7	—
766,5—785	D(vd)	5,1	7,8	43,2	18,9	1770,2	21,9	—
716,5—725	Nik	4,8	7,2	45,2	23,6	1641,5	23,8	—
Hulin-1 1398—1450	Kr	17,5	6,2	404,8	122,0	5821,1	96,0	—
Jarohněvice-1 1380—1385	Kr	7,5	9,2	92,8	25,0	2678,3	37,0	—
798—809	Ž+Nik	21,4	8,4	416,0	234,5	7394,3	91,0	—
535—531	Ž	16,5	11,5	415,2	2,9	5855,6	63,3	—
Jarošov-1 2038—2017	Rz2	15,2	8,65	51,2	6,8	5542,9	92,4	—
2051—2064	Rs2	17,0	8,1	48,0	17,0	6025,7	103,5	—
3073—3127	Rs1	13,8	9,2	160,0	9,7	4115,2	206,0	—
4575—4580								
Ježov-1 577—568	N1s	2,5	9,3	12,8	2,4	800,0	49,8	—
650—642	N1s	5,3	9,2	12,0	4,9	1882,9	13,4	—
2760—2770	Rs1	13,4	11,6	112,0	stopy	4772,7	199,2	—
2979—2966	Rs1	16,8	11,6	177,6	0,0	6007,3	203,0	—
Ježov-2 766—757	Rz2	10,8	11,3	389,6	0,0	3929,0	89,6	—
1453—1430	Rz2	17,6	10,1	25,6	0,0	6660,2	118,0	—
2569—2511,3	J(ms), J(ni) +D(bk)	27,9	7,1	436,0	116,6	9694,3	147,2	—
Koberice-2 1084,5—1079,5	Nik	15,2	8,4	141,6	82,2	5513,0	116,5	—
1104—1094	C1(k)	20,1	8,4	248,0	177,4	7028,0	108,4	—
1789,5—1781	C1(k)	15,1	7,4	328,0	80,7	5131,4	308,4	—
1880—1865	Dfr	23,9	6,3	2176,0	500,6	5793,5	208,9	—
Kojetín-1 430—420	Nik	2,5	7,7	35,2	16,3	795,5	19,5	—
Kožušice-1 1272,6—1293,7	Nik+Kr	8,6	8,0	24,0	13,6	3140,4	28,2	—
1214,5—1209,5	Nik	18,6	7,2	116,8	66,6	6724,6	92,5	—

*) Na+K

hlubinných vod

Tabuľka 2

NH ₄	Fe mg/l	HCO ₃	Cl	Br	J	SO ₄	H ₂ SiO ₃	HBO ₂	U	Ra Bq/l
3,6	stopy	541,4	2651,6	40,4	27,3	37,4	—	46,7	—	—
—	stopy	402,6	85,1	0,0	0,0	213,6	—	—	—	—
1,8	30,0	974,5	2499,7	14,9	3,8	15,2	14,0	136,0	0,0075	—
0,4	<0,5	317,3	39,4	0,0	0,0	704,9	14,0	39,1	—	—
7,2	0,0	488,0	195,0	0,0	0,0	105,8	4,0	0,0	0,0026	—
—	0,0	683,2	4621,0	—	52,6	22,9	7,8	—	—	—
5,5 12,8 14,2	stopy 0,4 stopy	427,0 707,6 707,6	2587,9 2446,0 2233,6	17,1 20,9 15,1	3,8 2,5 2,5	4,9 25,1 67,5	5,4 18,9 12,9	48,4 52,0 52,0	— — —	— — —
11,8	stopy	202,5	9784,2	85,7	28,6	265,5	3,9	108,0	0,0001	0,69
21,3 55,9 8,5	0,2 0,0 0,0	329,0 275,7 478,2	4183,2 12648,6 9472,2	36,9 122,8 21,0	14,0 52,0 22,7	8,2 35,0 51,8	10,8 4,0 11,8	56,0 28,0 20,0	0,0008 0,0008 0,0002	0,99 1,19 0,27
5,4 — —	stopy 0,7 —	1488,4 2690,1 4148,0	7799,0 7905,4 3899,5	29,0 24,5 16,3	19,0 15,2 11,4	82,3 127,1 709,4	32,5 — —	— — —	0,0002 0,0003 0,0130	0,12 0,09 <0,11
6,5 3,0 7,3 13,1	4,0 1,5 0,0 0,0	963,8 1146,8 1220,0 1342,0	595,6 2127,0 6168,3 8252,8	0,8 12,7 21,0 36,6	1,9 8,2 13,0 27,9	47,3 32,9 837,0 618,5	8,9 7,1 38,3 82,3	— — — —	0,0002 0,0001 — —	0,088 0,180 — —
9,7 — 24,3	stopy — 24,0	632,0 944,3 1403,0	5353,0 9572,0 15101,7	27,4 32,9 126,2	28,6 21,6 115,5	269,1 176,1 257,2	21,9 — 17,4	— — 388,0	0,0001 0,0001 —	0,180 0,077 —
17,4 24,4 12,5 163,0	stopy 0,0 0,8 143,0	244,0 822,3 244,0 366,0	8805,8 11436,2 8734,9 14137,5	50,2 66,6 42,0 63,3	22,8 26,6 11,4 20,3	165,8 60,1 149,8 59,7	10,1 10,8 5,3 —	56,0 40,0 0,0 36,0	0,0004 0,0001 0,0001 0,0001	0,350 1,200 0,190 1,510
4,4	stopy	674,7	935,9	6,2	2,5	35,4	12,4	8,4	—	—
12,1 10,4	stopy 6,6	793,2 1573,0	4466,7 9855,1	23,0 62,5	5,7 20,3	28,8 22,6	10,0 3,3	63,2 48,0	0,0001 0,0001	0,680 0,440

T a b u l k a 2 (pokračování)

vrt interval m	litostratigraphie	mineralizace g/l	pH	Ca	Mg	Na	K	Li
Kožušice-4								
1027—1042	N1k+Kr	6,7	—	8,0	0,0	2480,6	66,0	—
962—971	N1k	8,8	—	51,2	20,9	3110,5	42,0	—
Kroměříž-1								
531—525	N1k	14,8	7,9	254,8	152,4	5002,6	177,5	—
574—562,5	N1k	9,3	8,3	156,8	48,6	3248,5	90,0	—
1085—1075	N1k+Kr	8,5	8,1	134,0	52,0	2972,6	63,8	—
1092—1114	Kr	6,0	7,6	65,6	12,6	2156,5	47,7	—
Lubná-1								
1434—1436								
1559—1553	N1k+Kr	13,6	6,9	292,0	75,3	4715,2	85,2	—
Lubná-4								
1513,5—1506,5	N1k	12,8	7,3	162,3	49,2	4380,0	128,0	2,8
1628—1550	N1k+Kr	45,4	6,7	5732,6	235,9	10800,0	386,0	17,7
Marefy-1								
396—405	Zpm	3,9	9,1	14,4	3,9	1361,0	29,7	—
875—856								
842—823	D(vd)	4,0	8,4	32,0	26,2	1275,9	30,7	—
Měnín-1								
1378,6—1400	D(bk)	19,9	11,6	1052,0	0,0	6336,0	226,6	—
674—424,8	D(bk)	3,6	8,7	12,8	9,7	1193,2	37,9	—
197—250	D(vd)	1,8	8,3	46,4	66,6	319,6	40,2	—
125—135	D(vd)	2,0	10,7	26,8	6,8	567,9	68,0	—
Morkovice-1								
822,5—811	N1k	27,1	6,8	1026,8	133,2	8933,9	241,5	—
Němčičky-2								
5281,5—5493,5	Dfr+Dgv +D(bk)	37,4	7,4	2960,9	85,4	10920,3	246,5	—
3305—3290	Cna	38,2	7,7	1152,0	345,0	12490,5	451,6	—
1650—1642	P+J(k)	14,4	11,1	122,4	7,3	5375,0	151,0	—
Nesvačilka-1								
1562—1553	PG	46,4	—	2541,4	696,0	14365,0	180,0	9,0
1512—1505	PG	35,6	—	1617,0	401,8	11375,0	157,5	0,8
697—693	PG	21,7	—	132,0	157,2	8780,0*)	0,5	—
410—405	N1eg-ot	3,6	—	24,0	9,6	1225,0	21,3	0,0
240—230	N1eg-ot	13,1	—	205,3	191,0	4416,2*)	1,0	—
Nesvačilka-3								
2484—1556	C1(k)	36,1	5,2	1883,8	627,4	11050,0	80,0	0,4
1345—1308,5	PG	7,0	7,5	376,8	162,9	1940,0	52,0	0,9
1304—1299								
1120—1111	PG	1,1	—	12,0	7,3	284,0	8,8	0,1
682,5—678,5	PG	12,8	7,4	144,3	102,1	4300,0	31,0	0,6
143,5—139,5	N1eg-ot	2,9	8,5	30,1	25,5	840,0	24,8	0,5
Nítkovice-2								
1472—1351	Dfr	5,7	7,5	37,9	31,5	1860,0	27,0	—
1016—1000								
953—938	Dfr+Dfm	16,8	7,2	296,0	217,0	5503,8	114,6	—
863—849								
Osvětimany-1								
1678—1674	Rs1	4,9	8,2	20,8	0,0	1590,9	13,9	—
1650—1640	Rs2	6,3	9,2	11,2	9,2	2172,6	11,1	—
1420—1410	Rbv	6,2	8,8	16,0	2,4	2179,5	9,9	—
1320—1333	Rz1	4,8	8,6	10,8	7,3	1664,5	9,8	—

Tabuľka 2

NH ₄	Fe mg/l	HCO ₃	Cl	Br	J	SO ₄	H ₂ SiO ₃	HBO ₂	U	Ra Bq/l
10,7 13,3	0,5 0,4	300,0 1039,4	3537,9 4340,7	15,6 22,2	7,0 7,6	238,7 80,2	18,1 21,0	— 56,0	— —	— —
27,4 25,0 27,4 16,7	0,0 0,0 0,0 2,4	782,0 329,4 296,5 266,0	8232,0 5282,0 4828,2 3325,2	71,4 38,9 35,3 18,1	38,1 19,0 16,5 8,9	54,3 14,8 14,4 31,7	15,4 31,0 12,8 10,5	32,0 0,0 0,0 0,0	— — — —	— — — —
13,8	88,8	634,4	7692,6	37,6	5,1	7,8	40,5	45,3	<0,0010	—
55,0 —	26,0 485,0	1249,6 74,4	6543,9 27679,9	47,3 113,4	24,4 18,5	148,6 181,1	11,3 —	— 210,2	0,0046 stopy	0,33 65,34
stopy 8,5	stopy 0,0	1124,8 983,3	1254,9 1499,5	6,9 8,8	3,8 2,5	37,0 76,1	8,2 7,9	— —	0,0001 <0,0001	0,20 0,51
6,6 4,1 15,5 8,8	0,2 0,5 stopy 1,7	1000,4 1093,1 595,4 427,0	11166,8 1278,2 248,2 496,3	39,8 4,9 0,0 0,0	11,4 2,5 0,0 0,0	84,4 16,0 286,4 351,0	16,8 12,0 38,5 31,5	0,0 0,0 0,0 0,0	0,0002 — — —	0,19 — — —
9,2	17,4	719,8	15668,9	151,3	97,7	22,6	11,2	80,0	0,0000	0,33
—	—	976,0	21383,4	65,7	25,4	771,2	—	—	—	—
40,1 14,5	1,8 2,0	1305,4 634,4	21695,4 7976,2	84,6 46,9	38,0 75,8	287,2 30,4	— 24,9	— —	0,0020 —	0,12 —
54,2 47,3 51,8 6,8 19,3	16,1 22,0 — stopy 9,5	200,5 328,0 796,6 444,5 749,1	28087,2 21374,0 11617,0 1468,0 7000,0	— — — — —	22,8 15,2 18,5 3,2 24,1	32,1 112,7 111,1 337,4 445,5	94,1 16,8 12,8 19,5 16,4	60,8 125,5 stopy stopy 20,2	— — — — —	— — — — —
47,7 3,3	9,2 44,8	169,0 333,2	22061,8 3916,2	139,5 16,4	13,2 1,1	40,3 133,3	26,5 29,3	31,1 4,6	<0,0010 <0,0010	13,51 —
— 33,4 6,6	— 125,6 9,0	447,3 635,8 1086,8	112,0 7163,4 775,8	1,5 31,6 3,6	0,0 4,7 1,1	233,3 10,7 17,3	— 8,7 16,3	1,9 28,0 13,0	<0,0010 — —	— — —
3,8	—	1387,0	2215,0	8,6	4,7	29,2	28,6	22,8	<0,0020	—
38,0	92,4	1354,2	8862,5	87,3	52,7	64,6	24,2	52,8	—	—
0,0 0,3 3,7 0,0	0,3 3,3 0,5 0,9	1659,2 1500,6 1119,9 1002,8	1524,4 2517,0 2736,7 2020,7	6,5 5,5 1,9 3,1	3,2 2,5 2,5 1,4	13,2 23,0 30,0 17,7	38,8 14,4 22,1 11,4	— — — —	0,0002 <0,0001 0,0008 0,0001	0,11 0,18 0,17 0,10

Tabuľka 2 (pokračovanie)

vrt interval m	litostratigraphie	mineralizace g/l	pH	Ca	Mg	Na	K	Li
Rataje-1								
1481—1468	Dvd(gv)	4,7	8,5	63,7	15,7	1710,0	39,5	0,68
1314—1311	Nik	3,7	7,4	18,0	7,3	1224,0	19,5	0,70
590—582,5	Nik	9,8	7,9	85,8	78,7	3310,0	65,0	5,60
Roštín-1								
1405—1412	Nik	11,4	7,3	135,2	53,0	3958,9	68,5	—
957—967	Nik	18,7	7,5	392,0	209,4	6280,9	156,8	—
715—721	Zž	31,0	7,9	984,0	376,2	10407,6	73,0	—
728—733								
Rousínov-1								
1003—853,3	C1(k)	5,9	8,2	36,0	12,9	2149,6	57,0	—
853,3—794								
728—703	Nik	2,4	8,7	11,2	3,9	671,3	38,4	—
663—650	N1b	2,8	8,4	17,6	7,3	781,4	18,5	—
Slavkov-2								
1305—1291	D(bk)	2,9	7,5	28,7	27,2	883,3	27,1	0,60
Stupava-1								
2425—2500	Nik+Kr	32,8	8,4	51,6	23,8	12437,6	253,0	—
Stupava-3								
2267—2255								
2246—2238	Kr	6,9	9,3	66,4	0,0	2397,9	104,0	—
Svábenice-1								
2460—2407,2	Kr	2,8	10,3	14,0	1,7	323,0	113,4	—
2369—2376	C1-D(vd)	2,1	7,9	12,4	3,4	698,9	16,5	—
Těšany-1								
4126—4094,95	D(bk)	92,1	6,0	14440,0	1239,3	17927,6	605,3	—
3911,81—3960	D(gv)+D(fr)	67,6	6,3	6460,0	1142,1	17203,4	530,0	—
Plumačov-1								
2190,5—2204,5	Nik	34,3	8,8	11,2	11,9	12180,1	221,6	—
950—961	Zž	5,7	8,4	96,0	3,4	1708,2	79,1	—
Uhřice-2								
3195—3220	D(bk)	46,9	6,7	4440,0	549,2	11984,7	720,0	—
3065—3045	Dfr-gv	25,0	7,4	1038,0	165,2	7717,7	545,0	—
Uhřice-3								
2480—2470	Dfr-gv	33,7	6,6	3080,0	695,0	8244,0	300,0	—
2330—2310	Dfr-gv	23,3	8,0	363,2	170,1	7759,1	266,0	—
2075—2090	J(kl)	20,4	7,2	286,4	140,5	6685,5	295,6	—
1515—1507	Zpm	15,4	7,0	276,0	143,9	5004,9	181,0	—
1188—1210	Zž	8,5	8,3	64,0	19,9	2892,1	40,0	—
Uhřice-4								
1705—1685	J(ni)	20,4	7,2	1162,0	159,2	6308,5	202,0	—
1605—1592	J(vv+d)	12,7	7,6	256,0	83,1	4262,3	343,0	—
890—887,5								
884—880,5	Zž	3,8	10,0	12,8	1,0	1248,4*)		—
877,5—870								
Uhřice-5								
1944,64—1994	J(ni)+Kr	12,4	7,5	1099,2	51,0	3345,0	100,5	—
1890—1919	J(ni)	17,0	7,3	562,4	182,3	5444,0	189,3	—
1370—1362	Zž	16,2	7,7	108,0	51,0	6034,9	32,6	—

T a b u l k a 2

NH ₄	Fe mg/l	HCO ₃	Cl	Br	J	SO ₄	H ₂ SiO ₃	HBO ₂	U	Ra Bq/l
45,5	24,0	357,0	2429,2	16,3	4,4	4,9	16,6	21,0	<0,0010	0,73
11,6	6,0	886,0	1441,3	10,5	3,2	10,7	18,6	17,9	<0,0020	0,37
35,0	420,9	947,0	5160,1	45,4	26,9	19,3	15,0	29,1	0,0064	0,40
30,9	2,0	912,6	5991,0	46,2	18,4	27,6	13,0	79,6	0,0002	0,12
3,0	4,3	685,6	10635,0	105,0	53,9	51,4	7,4	37,8	0,0002	0,08
4,0	0,3	158,6	18788,5	123,3	37,7	16,0	11,6	21,0	0,0001	0,46
7,0	stopy	314,8	3261,0	19,4	6,3	24,7	1,4	0,0	0,0006	0,05
9,4	2,4	1315,2	301,3	0,0	0,0	54,3	11,2	16,8	0,0016	0,09
3,9	stopy	1534,8	382,8	0,0	0,0	6,6	15,6	0,0	0,0008	0,04
15,3	21,6	866,5	1053,5	3,8	2,5	6,2	16,0	35,8	0,0000	—
75,5	0,0	488,0	19143,0	116,7	36,8	110,3	1,6	56,0	—	—
13,6	stopy	561,2	3545,0	20,1	14,0	10,7	3,3	168,0	0,0002	0,06
2,1	14,5	761,3	815,4	0,0	0,0	193,0	7,9	20,0	0,0003	0,058
1,8	0,5	467,3	709,0	0,0	0,0	193,0	10,1	0,0	0,0009	0,140
0,0	125,4	268,4	56720,0	221,7	20,3	503,3	10,6	48,0	0,0003	16,280
—	48,8	412,0	41122,0	173,6	20,3	443,2	—	44,0	—	—
17,9	0,0	5941,4	15172,6	94,6	35,5	503,3	3,9	48,0	0,0000	<0,110
10,4	—	378,2	2587,8	6,6	3,2	775,3	3,1	0,0	0,0050	<0,110
114,9	50,5	610,0	27863,7	140,8	99,0	377,8	—	—	—	—
—	7,1	1498,4	13293,8	53,8	44,4	698,3	7,7	—	—	—
48,7	67,6	893,0	19213,9	106,9	58,3	904,0	50,3	96,0	0,0008	5,490
24,6	0,4	2440,0	11599,2	76,0	60,9	379,0	23,0	196,0	—	—
8,7	94,4	3069,5	8749,1	51,1	46,3	781,0	44,4	156,0	—	—
51,5	9,7	1661,6	7387,8	64,0	45,0	531,7	16,0	90,0	—	—
6,9	0,8	1610,4	3686,4	21,0	17,1	36,6	23,7	56,0	—	—
18,5	0,8	147,6	12272,8	88,2	55,8	30,8	4,4	—	0,0002	1,480
12,6	0,4	190,3	7302,7	53,1	33,6	182,7	2,0	—	0,0002	0,480
—	3,3	1866,6	616,9	0,0	0,0	54,7	—	—	0,0004	0,050
9,2	1,6	488,0	6707,1	36,0	24,1	448,5	22,2	28,0	—	—
12,4	53,3	529,5	9614,0	90,2	57,1	153,5	19,0	120,0	0,0004	1,380
7,2	0,1	534,4	9280,8	93,6	48,2	36,6	7,2	—	0,0014	0,490

Tabulka 2 (pokračování)

vrt interval m	litostrati- grafie	minerali- zace g/l	pH	Ca	Mg	Na	K	Li
Újezd-1								
2156—2096	C ₁ (k)	75,4	8,6	5652,0	887,0	21714,1	242,7	—
597—590	PG	3,9	12,6	99,2	1,0	1577,1	48,5	—
527—520	PG	5,1	11,9	67,2	0,5	1947,3	39,0	—
Vlkos-1								
506—510	N ₁ b	3,3	7,4	23,1	6,7	1001,6*)	—	—
Zarošice-1								
1161—1156								
1155—1152,5	Zž	11,9	8,0	32,0	28,7	4476,1	30,4	—
1151,5—1148								
1145,5—1143								
380—370	Zž	2,2	7,5	115,2	24,6	455,3	6,6	0,12
Zarošice-2								
1304—1282,5	D(bk)	19,7	6,4	619,2	117,5	6520,0	148,0	—
1180—1156	N ₁ eg	20,1	7,1	563,5	236,0	6530,0	134,0	2,20
795—785	Zpm	21,7	8,5	360,7	167,8	7850,0	46,0	—
642—633	Zm	3,6	6,9	32,1	19,5	1193,0	27,6	0,14
Zatčany-45								
39,9	N ₁ k	2,0	8,3	9,3	9,6	—	—	—
Ždánice-1								
990—964,35	Kr	12,6	6,5	204,8	159,4	4386,5	39,5	—
Ždánice-28								
1020—1027	Kr	7,2	9,6	67,2	2,7	2572,6	126,8	—

obvykle 2—4 %, propustnost pod $1 \cdot 10^{-2} \mu\text{m}^2$; petrofyzikální výzkum jader většinou neprokázel propustnost vůbec.

Vyšší třídě kolektorů, ekvivalentní IV. třídě klasifikace Chanina, odpovídají v j. části oblasti jv. svahů Českého masívu zkrasovatělé a vyluhované karbonáty promytého komplexu jury, z. od faciálního rozhraní peliticko-karbonatického komplexu jury. Patří sem karbonáty z vrtů Břeží-1, Dunajovice-1, Hrušovany-1, Novosedly-1, Mušov-1, Mikulov-1.

Klasifikace kolektorů terciéru

Písky, pískovce a psefity autochtonního paleogénu a miocénu představují kolektory IV.—III. třídy, zatímco psamity flyšových příkrovů Karpat jsou většinou velmi špatnými kolektory V. klasifikační třídy Chanina (1964).

Hydrogeochemie hydrogeologické strukturní jednotky karpatská předhlubň

Hodnocení živčné perspektivnosti je provedeno jednak pro platformní paleozoikum, jednak pro neogén karpatské předhlubně, které nejsou příkryty flyšovými příkrovovými Karpaty. — Tabulka 2.

Tabuľka 2

NH ₄	Fe mg/l	HCO ₃	Cl	Br	J	SO ₄	H ₂ SiO ₃	HBO ₂	U	Ra Bq/l
30,1	0,0	217,2	46050,0	190,6	16,5	27,6	—	56,0	0,0020	43,850
8,4	0,0	234,2	1701,6	5,4	stopy	142,8	33,9	—	—	—
13,4	stopy	200,0	2630,4	10,7	2,6	110,7	105,1	11,9	0,0002	0,140
—	—	1640,1	643,9	—	—	stopy	—	—	—	—
13,3	0,5	378,2	6806,0	38,6	24,1	30,4	6,3	63,0	—	—
3,7	stopy	1303,4	159,6	—	—	100,4	26,5	—	0,0044	<0,03
8,6	58,0	700,5	11281,7	71,0	38,5	3,7	15,6	80,6	—	1,53
9,8	98,9	1222,8	11031,0	67,2	35,4	9,4	23,8	83,2	0,0036	0,40
—	—	247,1	12822,0	85,1	37,2	79,0	—	—	—	0,44
5,8	9,2	598,0	1539,9	5,4	7,0	148,1	13,3	16,8	0,0031	—
—	stopy	—	687,9	0,0	0,0	36,6	18,2	—	—	—
—	—	371,2	7373,6	37,5	11,4	17,7	—	—	—	—
7,8	0,0	336,7	3899,6	18,6	8,9	108,2	3,2	—	—	—

Platformní paleozoikum

Spodní strukturní patro hydrogeologické struktury karpatské předhlubně — platformní paleozoikum — představují bazální klastika a slepence devonu, karbonáty — vápence a dolomity devonu a spodního karbonu, pískovce, břidlice spodního karbonu. Podle hydrogeochemických kritérií je tento litotra-tigrafický komplex ve studované oblasti živičně perspektivní, i když toto hodnocení neplatí pro celou hydrogeologickou strukturu karpatské předhlubně.

V nesvačilském příkopu byly prokázány ve spodním karbonu jak v kulmu, tak v souvrství karbonátů podle vrtu Nesvačilka-3 hydrogeologicky uzavřené podmínky. Ukažuje na to rozdílný chemismus vod pliohalinní salinity nadložních propustných poloh paleogénu a existence vod euhalinní salinity ve spodním karbonu (kulmu). Stupeň nasycení vod paleozoika na vrtu Nesvačilka-3 odpovídá asi 50% stupni nasycení vod za ložiskových podmínek, což v hodnocení podle Gureviče et al. (1956) je příznak možné plynosnosti. Kolektorské vlastnosti zkoušených propustných poloh jsou však špatné (V. třída kolektorů).

Dnešní hydrogeologická uzavřenost souvrství devonu je doložena na struktuře Hradisko (Nítkovice). Zde na kontaktu nejvyšších poloh vilémovických vápenců devonu a nadložních bazálních klastik karpatu bylo odkryto ložisko metanového plynu (Adámek - Petr 1975). Jak uvádí dálé, plyny ložiska Hradisko patří k plynům se zvýšeným obsahem hélia; jeho koncentrace se pohybuje kolem 0,15 obj. %. Tím patří plyny tohoto ložiska ke strategické surovině vhodné pro výrobu hélia, obdobně jako plyn ložiska Kostelany-západ. Podestýlající voda polyhalinné salinity o velmi vysokém obsahu jodidů 52 mg/l geneticky přísluší obdobně jako plyn karpatu.

Uvedené skutečnosti jsou z hlediska perspektivnosti souvrství devonu jako kolektoru metanového plynu velmi příznivé.

Živičná perspektivnost paleozoika v nesvačilském příkope, plynoproduktivnost nejvyšších poloh vápenců devonu na struktuře Hradisko ukazuje, že rozhodujícím faktorem pro hydrogeologickou uzavřenost, a tím vytvoření podmínek pro vznik pasti (akumulaci) je vzdálenost struktury od okraje Českého masívu a existence a nárůst mocnosti krycích, ale i matečných souvrství kulmu, paleogénu a neogénu, v oblasti ždánického příkrovu i krycí funkce tohoto souvrství.

Ve značné části naší zájmové oblasti úseku Střed je však platformní paleozoikum hydrogeologické strukturní jednotky karpatské předhlubně (podle výsledků vrtů Měnín-1, Rataje-1, Švábenice-1, Rousínov-1, Dražovice-2, Slavkov-2) neperspektivní z hlediska možností vzniku, ale i uchování ložisek ropy a plynu. Toto negativní hodnocení je založeno na průkazném promytí, vyslazení propustných souvrství v období hiátu (do transgrese moře stáří eggenburg—baden). Spolu se synsedimentárními marinními vodami došlo i k emigraci primárních živic. Propustná souvrství paleozoika na výše uvedených strukturách přísluší i dnes do hydrogeologické zóny volné až omezené výměny. Vykazují minimální sycení vod uhlovodíkovými nebo metanovo-dusíkovými plyny. Vody vrtu Dražovice-2 a Švábenice-1 jsou pak velmi slabě zaplněny plyny dusíkovými. Hodnoty K_{nas} 0,1—0,2 odpovídají regionálnímu fonu pro hluboké artéské vody a jsou negativním kritériem perspektivnosti. Ani po překrytí paleozoických souvrství sedimenty neogénu nevznikly zde tudíž podmínky pro akumulaci ropy či plynu. Vmigrovaná či infiltrovaná fluida po transgresi neogenního moře a překrytí paleozoika neogenními sedimenty byla v dalším geologickém vývoji vymyta.

Vyslazené a hydrogeologicky otevřené jsou vápence a dolomity devonu — givet až spodní frasn? (50—250 m), ale i svrchní zóna bazálních klastik devonu (400—ca 700 m) na vrtu Měnín-1. Docílené přítoky emulze ropy s vodou nemají průmyslový význam. Poslední dva zkoušené propustné intervaly bazálních klastik devonu 1378—1400 m a 1814—1817 m jsou zvodněny vodami polybrachyhalinními. Hlubší část bazálních klastik je nepropustná.

Přítok slabě mineralizované vody se stopami (emulzí) ropy v intervalech 50—135 m na vrtu Měnín-1 je určitým analogem hydrogeologické situace mělké uložených miocenních ložisek rop Žatčany - Měnín.

Ve směru na SZ, příp. SSZ od vrtu Dražovice-2 a Švábenice-1, které nepřinesly z hlediska živičné perspektivnosti žádné pozitivní informace (celý lithostratigrafický profil vrtů je hydrodynamicky propojený — patří do zóny otevřené výměny vod), nemáme v oblasti Drahanské vrchoviny žádné informace. K otázce existence uzavřených pastí s vhodnými kolektorskými vlastnostmi hornin v devonu Drahanské vrchoviny lze dnes pouze říci, že hydrogeologická uzavřenosť devonských karbonátů i bazálních klastik je podmíněna existencí dostatečně mocného souvrství kulmských břidlic, které mohou a jistě plní stejnou funkci krycího i matečného souvrství živic jako sedimenty karpatu (Nítkovice-2, Choryně-9, Kozlovice-SV1) s akumulacemi plynu na těchto strukturách v karpatu. V oblasti odkrytých karbonátů a nedostatečně mocných krycích vrstev kulmu (Říčky-V3, Dražovice-2) dochází i dnes k infiltraci meteorických vod.

Jako matečné přicházejí v úvahu peliticé sedimenty devonu, jejichž existenci v profilu sedimentů Drahanské vrchoviny je prokázána. Pokud primární živice devonu unikly, mohou být zde uloženy vody i živice infiltrované a přimigrované z nadložních souvrství devonu a především ze spodního karbonu — kulmu. Dosah vlivu denudace, infiltrace a vylazování a tudíž degradace ložisek živic nelze bez poznatků z hlubinných vrtů objasnit. Tyto vlivy v oblasti Drahanské vrchoviny trvají od spodního karbonu dodnes.

Propustná souvrství paleozoika na výše uvedených vrtech s výjimkou vrtu Rousinov-1, kde kulmské břidlice jsou téměř nepropustné, vykazují jen sníženou propustnost a efektivní pórovitost (IV. stupeň klasifikace Chanina 1964). Bazální klastika a karbonáty devonu vrtu Slavkov-2 přísluší dokonce III. třídě kolektorů. Převažující je puklinová pórovitost a propustnost, u karbonátů lokálně krasová. Jen bazální klastika a slepence, příp. pískovce, mohou být charakterizovány jako směsné kolektory puklinové a průlínové.

Neogén karpatské předhlubně

Hodnocení živičné perspektivnosti svrchního strukturního patra — neogénu karpatské předhlubně — je relativně kladné. Kolektory souvrství stáří eggenburg—ottnang, karpat i spodní baden, zastoupené psamity, patří většinou k relativně dobrým kolektorům převážně IV. třídy, výjimečně např. bazální klastika lanzendorfské série i do III. třídy (struktura Lobodice). U těchto kolektorů převažuje průlínová pórovitost a propustnost.

Produktivnost neogénu karpatské předhlubně je prokázána ložisky silně viskózní, asfaltické, normálními metodami nevytížitelné ropy ložisek Žatčany a Žerotín - Tály. První je vázáno na písky žatčanských vrstev stáří eggenburg—ottnang (v hl. 65–100 m), další na bazální klastika spodního badenu (brněnské písky) v hloubce ca 60 m. Výpočet zásob provedl Juránek a Novotný (1969).

Podle Homoly (1961) vznikly ve spodním badenu v širší oblasti Nesvačilky syngenетicky ložiskové pasti při zlomu, který odděluje baden od karpatu. Měnínské a žerotínské ložisko v oblasti Měnínské hory je podle něho patrně důsledkem migrace jednak primární spodnobadeneské ropy ze z. deprese, jednak reemigrované ropy ze žatčanských vrstev na V od zlomu. Dává určitou naději na místní akumulaci podél celého zlomu, zvláště v oblasti mezi Telnicí a Sokolnicemi (Dlabač 1949) a na JZ od Přínostic a Vranovic.

Ložiska Žatčany a Žerotín dokazují, že hydrogeologicky degradované struktury s vodami vysloveně sladkými (pod 1 g/l mineralizace) nemusí být negativní. Otevření pouze infiltrační větve kolektoru nemůže vyvolat emigraci ropy. hlediska.

Vyvolává jen aktivní režim hydrodynamický příznivý z těžebního

Při hodnocení paleozoika — nejvyšší souvrství devonu a báze karpatu struktury Nitkovice, nejvíce vzdálené od okraje Českého masívu, se tato ukázala hydrogeologicky uzavřená, plynonošná. Obdobně je možno konstatovat, že vrt Morkovice-1 vykazuje v karpatu ještě vyšší uchování primární salinity vod karpatu (mineralizace až 27,1 g/l) a zcela anomální obsah jodidů 98 mg/l. Vysoká biogenní aktivita odpovídá ropoplynoproduktivnosti karpatu. Stupeň nasycení vod metanem i přes nepřesné údaje, dosahuje u spodnějšího obzoru téměř 90 %. Ve vyšší strukturní pozici směrem na V až J by měly existovat podmínky příznivé pro akumulaci metanového plynu.

Poznámka: Nárůst tlaku nasycení ve směru na V od okraje Českého masívu je patrný i podle výsledků čerpacích zkoušek v karpatu na vrtu Rataje-1 (K_{nas} 0,5).

Různý, většinou vysoký stupeň vyslazení primárních synsedimentárních vod a tím i emigrace vzniklých živic (odrazem je vysoký stupeň nedosycení vod metanem) byl prokázán v neogénu na vrtech Nesvačilka-3, Rousínov-1, Dražovice-2 a Rataje-1, ale i na ropných ložiskách Žerotín - Žatčany. Při mělkém uložení kolektorů (např. Rousínov-1, Žerotín - Žatčany) jsou vody zaplněny již plymem s převahou dusíku (75 %) a stupeň vyslazení a přeměny primárních marinálních vod je úměrný intenzitě infiltračních pochodů v geologické minulosti i dnes. Neperspektivnost neogenních souvrství těchto struktur pro uchování ložisek živic je třeba brát s ohledem na analogii existence ložisek Žerotín - Žatčany s určitou rezervou.

Hydrogeochemie hydrogeologické strukturní jednotky flyšového pásma Karpat

Ropně hydrogeochemické hodnocení této hydrogeologické strukturní jednotky provádí opět podle dílčích strukturálních pater — krystalinika, paleozoika, paleogénu autochtonu, neogénu pod příkrovu flyšových Karpat, flyšového pásma Karpat.

Krystalinikum

Zvětralý povrch krystalinika má funkci nádržní horniny ropy a zemního plynu na struktuře Kostelany, Rusava, Ždánice, ale i na dalších strukturách Uhřice, Koryčany.

Geologické zásoby ropy a plynu ložiska Kostelany byly vyhodnoceny Koselíkem (1976).

Kolektorské vlastnosti krystatinika jsou velmi proměnlivé a většinou nepříznivé. Vzhledem k převážně puklinovému charakteru kolektorů laboratorní metoda určená pro výzkum průlínové póravitosti a propustnosti nedává reprezentativní výsledky. Za reprezentativní je možno považovat pouze výsledky čerpacích zkoušek a jejich vyhodnocení. Zvětralé granodiority a žuly, příp. žuly a pararuly patří průkazně do poslední V. skupiny kolektorů. Pouze zvětralá žula na struktuře Kostelany, a to jen na některých vrtech (Lubná-1, -7, -9, -10), má charakter kolektoru IV. třídy, příp. až III. třídy, což jsou již kolektory se střední propustností a jímavostí. Nejvyšší hodnota koeficientu filtrace byla zjištěna ca $1.3 \cdot 10^{-6}$ m/s, což odpovídá propustnosti přibližně $1.10^{-1} \mu\text{m}^2$ při póravitosti ca 11–12 % (Lubná-7, 1520–1507 m — kolektor ropy).

Ropa a plyn i NaCl vody v krystaliniku ložiska Kostelany jsou alochtonní, infiltrované či přimigrované po transgresi karpatu, nasunutí oligomiocénu pouzdřanské, příp. ždánské a zdounické jednotky.

Geochemicky je prokázána genetická i hydrodynamická spojitost kolektorů krystalinika a karpatu i oligomiocénu pouzdřanské jednotky struktury Kostelany. Dnes jsou tyto obzory hydrogeologicky uzavřeny. Snížená mineralizace podestýlajících či okrajových vod (6,5–14 g/l) je patrně důsledkem smísení uložených prostých vod ve zvětralém povrchu krystalinika z období před transgresí s marinními vodami karpatu, příp. brachyhalinními vodami oligomiocénu. Není vyloučeno dnešní otevření pouze infiltraci větve, kterou by představoval zvětralý povrch krystalinika. Euhalinní salinitu vykázaly vody v krystaliniku na vrtech Lubná-4, -8, -11, -25. Genetickou spojitost ropy v krystaliniku a horninových bitumenů oligocénu prokázal Simánek (1977).

Hydrogeologicky samostatný celek představuje krystalinikum na struktuře Ždánice. Na vrchu Ždánice-1, -5, -6 a dalších byl dosažen z krystalinika průmyslový přítok ropy, která, obdobně jako ložisková voda pliohalinní salinity, je přesycena metanem. Výpočet geologických zásob ropy ložiska Ždánice vázaných na krystalinikum provedli Krejčí a Brzobohatý (1984).

Z krystalinika na vrchu Uhřice-2 byl dosažen neprůmyslový přítok metanového plynu.

Přítok gazolinického plynu byl dosažen ze zkoušeného intervalu krystalinika 1753–1733 m na vrchu Koryčany-1. Tlak na ústí dosáhl 13 MPa, kapacita sondy 66 300 m³/d.

Infiltraci marinných vod euhalinní salinity z karpatu do zvětralého povrchu

krystalinika můžeme doložit podle chemismu vod i na vrtech Stupava-1, Tlumačov-1. Z hlediska ropně hydrogeochemického kromě hydrogeologické uzavřenosti a vysoké živící aktivity — ropomatečnosti — karpatu podle obsahu jodidů nedal vrt Stupava-1 průkazně pozitivní poznatky. Vysoký stupeň sycení vod karpatu CH_4 plyny vyplývá jen z popisu čerpacích zkoušek.

Velmi vysoké je sycení až přesycení vod prvního kolektoru karpatu a zkoušeného intervalu krystalinika a báze karpatu na vrtu Tlumačov-1.

Hydrogeochemická spojitost krystalinika, devonu i karpatu je prokázána na vrtu Holešov-1. Stupeň vyslazení, vymytí infiltrovaných vod z karpatu a uložených v krystaliniku na vrtu Hulín-1 není tak vysoké. Při nízkém nasycení vod plyny je však hodnocení perspektivnosti krystalinika na tomto vrtu negativní. Hodnocení ropné perspektivnosti vrtu Holešov-1 pro vysoký stupeň vyslazení vod a nízké sycení metanem je negativní.

Paleozoikum

Ropně hydrogeochemické poznatky z paleozoika — devonu až spodního karbonu pod flyšovými příkrovovými vrstvami v naší zájmové oblasti jsou kladné.

Z oblasti Žarošic jsou podle výsledku vrtu Žarošice-2 příznivé hydrogeologické poznatky z devonských vrstev, a to jak z bazálních klastik, tak vápenců a dolomitů. Propustné polohy (bohužel opět kolektory V. klasifikační skupiny) jsou zvodeněny pliohalinnými vodami, jejichž tlaky nasycení metanem (9,0—11,1 MPa) se blíží či převyšují tlak hydrostatický (10—11,6 MPa). Souvrství jsou hydrogeologicky uzavřena, ale propojena podle chemismu vod, plynů i podle stupně nasycení s nadložními souvrstvími až eggenburgu—ottnangu a podmenilitových vrstev ždánické jednotky. Zvodené vrstvy devonu, eggenburgu—ottnangu a podmenilitových vrstev struktury Žarošice představují samostatný hydrogeologický komplex. Vody zde zjištěné přisuzujeme eggenburgu.

V minimálně propustném souvrství karbonu na vrtu Žarošice-1 (1976—1907 m) bylo zjištěno stopové sycení hornin ropou.

Podestýlající vodu akumulace metanového slabě gazolinického plynu na vrtu Němčičky-1 (4997—5026 m) stáří devon (frasn) až karbon (tourna) lze podle mineralizace i chloridové salinity korelovat s brachyhalinnými vodami z bazálních klastik a karbonátů devonu na vrtu Žarošice-2.

V karbonu — namuru i v juře bylo na vrtu Němčičky-1 při čerpacích zkouškách provedených testerováním použito solanky, a to jak pro přípravu výplachu, tak jako předlohy. Průkazná je technická změna chemismu zkoušených vrstevních vod v profilu vrtu Němčičky-1 a to podle koeficientu $r\text{Cl}/r\text{Br}$ (ale i $r\text{Cl}/r\text{J}$), které dosahují hodnot několika tisíců. Tyto údaje dokumentují formování chemismu vody rozpuštěním pevného halitu. Reálná geochemická interpretace původu a prospekčního významu zjištěných solanek, relativně bohatých

jodidy, není možná. Vysoké obsahy vodíku v rozpuštěných plynech ze zkoušených obzorů karbonu — namuru na vrtu Němčičky-1 mají pravděpodobně původ právě v použití solanky.

Na vrtu Němčičky-2 byla z devonských bazálních klastik a nadložních vápenecu famenu (5493—4900 m) zjištěna voda euhalinní salinity podestýlající plynovou akumulaci v nejvyšší poloze 4900—5004 m, příp. i ropu (5072—5138 m). Ekvivalentní salinitu vykazují vody propustné polohy karbonu — namuru. To dokazuje propojení celého komplexu paleozoika, zkoušeného vrtem Němčičky-2. Potenciální produkce plynu či reálná těžbaropy nebyla na struktuře Němčičky prokázána.

V karbonu — namuru v intervalu 3728—3760 m na vrtu Němčičky-4 byly zjištěny solanky primární geneze ($r\text{Cl}/r\text{Br}$ 442—494 — Valjaško 1956, Rittenhouse 1967). Tyto solanky nedosáhly stupně mineralizace (zasolení) podmiňující sedimentaci primárních chemogenních sedimentů sádrovce a halitu. Jsou zcela výjimečné vysokým obsahem bromidů (127—148 mg Br/l) a jodidů (102—107 mg J/l). Výklad jejich autochtonního či allochtonního původu je však otevřený. Komplex je hydrogeologicky uzavřen. Podle koeficientu $r\text{Cl}/r\text{Br}$ a $r\text{Cl}/r\text{J}$ by tyto hypersalinní vody neměly být ovlivněny technickou solankou. Analytická chyba nebyla prokázána.

Jediným negativním faktorem celé struktury Němčičky jsou špatné kolektorské vlastnosti jak karbonátů, tak bazálních klastik devonu a karbonu (V. klasifikační stupeň).

Bazální klastika a karbonáty devonu, zkoušené na vrtu Těšany-1 jsou zvodněny solankami podle hodnot koeficientu geneze $K \frac{r\text{Cl}}{r\text{Br}}$ 535—778 opět primární

geneze ve smyslu Valjaška (1956), Rittenhouse (1967). Jejich chemismus i silné proplynutí metanovým plynem dokazuje hydrogeologickou uzavřenosť a tím i živčnou perspektivnost. K autochtonitě téhoto primárních solanek, jejich chemický analog byl prokázán i v bazálních klastikách autochtonního paleogénu na tomto vrtu, se nelze jednoznačně vyjádřit. Pro primární možnost vzniku a zachování solanek v celém geologickém vývoji zde existují celkem příznivé předpoklady.

Solančka, zjištěná z jediného ze sedmi zkoušených intervalů ve spodním karbonu (kulmu) na vrtu Újezd-1, ukazuje na špatnou propustnost komplexu a na uzavřené hydrogeologické poměry. Její slabé metanové zaplynění není však z prospekčního hlediska příznivé.

Rada negativních čerpacích zkoušek v karbonu na vrtu Újezd-1, Těšany-1, ale i Nesvačilka-3 a nízká propustnost i bazálních klastik a karbonátů devonu jsou opět základním negativním hydrogeologickým faktorem hodnocení živčné perspektivnosti při jinak kladných prospekčních hydrogeochemických kritériích.

Průzkum struktury Uhřice neprokázal příznivý vývoj kolektorů bazálních klastik a karbonátů devonu (frasnu a givetu). Zpracovány byly výsledky vrtů Uhřice-1 až -6. Korelace byla provedena mezi vrty Uhřice-1, -2 a Žarošice-1 s přihlédnutím k výsledkům na vrtu Uhřice-3 a -6. Kolektory patří opět do poslední V. klasifikační třídy. Výjimkou je ropoplynoproduktivní obzor karbonátů devonu a spodního karbonu 2483–2505 m zkoušený na vrtu Uhřice-2, který podle těžební zkoušky má vlastnosti kolektoru III. třídy.

P o z n á m k a : Obdobné dobré kolektorské vlastnosti má ropoplynoproduktivní obzor v devonu (givet—frasn) na vrtu Uhřice-17 (3245–3229 m).

Velmi málo propustné polohy bazálních klastik, zkoušených na vrtech Uhřice-1, -3, jsou zvodený vodami euhalinní salinity, na vrtu Uhřice-2 slabou solankou. Vysoké jsou obsahy jodidů v těchto vodách (Uhřice-1 a -3 55 až 56 mg/l, v solance Uhřice-2 dokonce 99 mg/l). Jsou velmi silně nasyceny metanovým plynem, který na vrtu Uhřice-2 dosáhl na ústí přetlak 1,2 MPa — neprůmyslová akumulace plynu.

Shodný chemismus vody na vrtu Uhřice-3 z nadložního obzoru devonských karbonátů 2470–2480 m dokazuje propojení komplexu bazálních klastik s první propustnou polohou karbonátů. Ve vyšší poloze karbonátů devonu na tomto vrtu (2310–2330 m) je prokázána voda polybrachyhalinní, svým chemismem i silným nasycením metanovým plynem blízká vodám nikolčických vrstev a paraautochtonních klentnických vrstev. Voda je rovněž alespoň salinitou a mineralizací podobná vodám v propustných polohách devonských karbonátů (frasn a givet) na vrtu Uhřice-2. Zde byl zjištěn neprůmyslový přítok plynu (2725–2745, 2670–2690, 2635–2655 m).

Průmyslový přítok ropy a plynu byl docílen z obzoru 2583–2505 m na vrtu Uhřice-2 (devon — givet až frasn, karbon — tournai — Thon a Kostelníček 1980). **Pokusná těžba parafinické ropy silně proplyněné** (poměr plyn : ropa 4,5 : 8,8) ve výši 18 t/d prokázala ložiskový význam akumulace ropy, příp. akumulace ropoplynové. Změřená potenciální produkce plynu po kyselinování činí 835 000 m³/d. Ložiskový tlak 25,7 MPa je ca o 10 % vyšší než hydrostatický. V souladu s charakterem doprovodného plynu je zastoupení vyšších uhlovodíků velmi vysoké; ještě hexan dosahuje koncentraci 0,28 %. Průmyslový přítok ropy byl dosažen také na vrtu Uhřice-17 (3245–3229 m) z devonu (givet—frasn), a to až 50 t/d. Plyn těžený spolu s ropou v poměru ca 1 : 1 má stejný charakter jako plyn z plynoproduktivního obzoru vrtu Uhřice-2.

P o z n á m k a : 1. Poměr iC_4/nC_4 0,7–1,0 odpovídá podle Aleksejeva (1970) hodnotám plynokondenzátních ložisek. 2. Podle genetického koeficientu $rChJ$ (Michalíček 1980) vod nižších poloh devonu na vrtu Uhřice-2 je rovněž o směsnou ropoplynovou akumulaci. 3. Podle koeficientu Kozlova (1950) je stáří akumulace přibližně 16 mil. let (neogén), podle koeficientu Dadaševa a Salajeva (1965) je stáří 25 mil. let (střední miocén až oligocén).

Projev plynu, ale i se stopami ropy, byl zjištěn i na vrtu Uhřice-1 z obzoru 3284–3440 m z devonských vápenců (famen). Přítok plynu byl zjištěn i z bazálních klastik devonu na vrtu Uhřice-6 (1200–1206 m) — kapacita 17 200 m³/d, maximální tlak na ústí 9,5 MPa. Spolu s plynem byl docílen malý přítok ropy (vytěženo 100 l). Pliohalinná voda bazálních klastik na vrtu Uhřice-6 vykazuje vyšší stupeň vyslazení v souladu s jejich geologickou pozicí.

Devon nesvačilského příkopu struktury Uhřice je tedy podle hydrogeologických kritérií živěně perspektivní a je prokázána i jeho ropoplynoproduktivnost. První orientační výpočet zásob ropy a plynu vyhodnotil Kostelníček (1983).

Na vrtu Ježov-2 jsou jak bazální klastika devonu, tak propustné polohy jury nikolčických vrstev až mikulovských slínovců (kolektory IV. třídy) zvodněny polybrachyhalinuální vodami s anomálním obsahem jodidů 115–117 mg/l, bromidů 109–115 mg/l. Rovněž obsah bóru je výjimečný 95–96 mg/l, nejvyšší z celé zájmové oblasti. Voda byla proplyněna metanovým plynem; mimořádné syneční, významné z hlediska prospekce, není prokázáno. Při hydrogeologické uzavřenosti jsou uvedená nepřímá prospekční kritéria spolu s dobrými kolektorskými vlastnostmi příznivá z hlediska možné jak geneze, tak i akumulace živic v širším okolí struktury.

Jediným, ale velmi významným negativním zjištěním z hlediska živěně perspektivnosti paleozoika ve studované střední části oblasti jv. svahů Českého masívu jsou špatné kolektorské vlastnosti hornin devonu i spodního karbonu, a to jak klastik, tak karbonátů a kulmských břidlic (V. klasifikační stupeň). Tato skutečnost je limitujícím faktorem perspektivnosti paleozoika jak v podloží karpatské předhůlbě, tak v podloží příkrovů.

Mezozoikum — jura

V naší zájmové oblasti byly sedimenty jury pod flyšovými karpatskými příkrovovými zjištěny na struktuře Uhřice, Kobylí a Němčičky.

V roce 1981 byly přehodnoceny hydrogeologické poznatky o živěně perspektivnosti j. části oblasti jv. svahů Českého masívu z roku 1971 na základě nových výsledků (Michalíček 1981).

Jako živěně perspektivní je hodnocena peliticko-karbonatická facie jury definovaná Eliášem (1980).

Hodnocení perspektivnosti je podloženo hydrogeologickou uzavřeností komplexu, nasycením až přesycením uložených solanek metanem a projevy ropy a plynu na řadě struktur. Pelitická souvrství komplexu jury, zastoupená nejen mikulovskými slínovci, ale přítomná v různém poměru ke karbonátům v liasu, nikolčických vrstvách, vranovických vápencích a dolomitech, v klentnických vrstvách, kobylských vápencích a dolomitech, plní nejen funkci izolační, ale i ropoplynoformační.

Západně od rozmezí facie peliticko-karbonatické a facie karbonátů jury byly ve vápencích a dolomitech na všech vrtech (Březí-1, Mušov-1, Nikolčice-4, -5, -6, Novosedly-1) prokázány přítoky vod meiomezohalinní salinity až prostých. Jejich metanové zaplynění je nízké (K_{nas} pod 0,3). Mineralizace, blízká prostým vodám, nízké zaplynění metanem i artéský přetlak vod na vrtech Březí-1, Mušov-1, Hrušovany-1, Novosedly-1 dokazují dnešní hydrogeologickou otevřenosť, současné probíhající stadium vymývání a vyslazování komplexu mariánských karbonátů jury. Michalíček (1981) předpokládá převážně boční infiltraci od okraje Českého masívu. Podle hydrodynamického a hydrochemického propojení jurských karbonátů s nadložními kolektory spodního miocénu a Karpatu (Mušov-1, Novosedly-1, Pouzdřany-1) musíme při nedostatečném močeném neogenním pokryvu jury uvažovat i o vertikální infiltraci a vyslazování.

Možnost odkrytí významné akumulace ropy a plynu v této oblasti je tudíž velmi omezená. Pouze skutečnosti, že vody mají ve svém složení ještě biogenní složky a že v rozpuštěných plynech převládá metan, jsou z hlediska perspektivnosti příznivé.

Poznámka: Se současným stavem vymývání patrně souvisí i dobré kolektorské vlastnosti karbonátů (IV. třída kolektorů). Původ sirovodíků 3,1–27,3 mg/l ve vodě z intervalů 1070–1019, 1250–1260, 1084–1100 m jury na vrchu Březí-1 nelze objasnit. Jeho geneze může být druhotná (Kveč 1973).

Hydrogeologicky uzavřené podmínky, zvodnění málo propustných poloh v profilu peliticko-karbonatického souvrství jury solankami primární geneze, jejich vysoké sycení až přesycení metanem a plynové projevy jsou kladnými ropoplynoprospekčními hydrogeologickými faktory. Dohrě kolektory zatím nebyly odkryty.

Auto- či alochtonita solanek není jednoznačná. Na cykly primární dolomitizace, spojené s hypersalinním vývojem sedimentů, nejsou podle Eliáše (1981) s výjimkou struktury Nikolčice (vrch Nikolčice-4) žádné příznaky. Totéž platí i o paleontologických závěrech.

Rovněž sedimenty nadložních souvrství autochtonního paleogénu a neogénu předhlubně Karpat, ale ani sedimenty flyšových příkrovů se neusazovaly v hypersalinních podmírkách.

Větší možnost mělkovodní a hypersalinní sedimentace je odvozována z vývoje sedimentace devonských karbonátů, zvláště dolomitů. Sedimentace devonských karbonátů probíhala ve velmi mělkovodním prostředí. Skoček (1978) předpokládá, že karbonáty s hojnou faunou sedimentovaly v mořské vodě o normální salinitě. Rozsáhlou dolomitizaci givetských karbonátů pak vysvětluje tím, že byly vystaveny působení hypersalinních vod v litorálním prostředí v období diageneze. Vznik hypersalinních vod mohl souvisej s izolací sedimentačního prostoru vyvolanou např. oscilacemi mořské hladiny. Problematické stopy hypersalinního prostředí při sedimentaci karbonátů nevylučoval ve vrchu Měnín-1 v hloubce 73–78 m (u karbonátů franského stáří). V nejvyšším frasu až spod-

ním famenu začala postupná rozsáhlá regrese moře, při níž došlo k vynoření okrajových částí pánve. Vápence, které sedimentovaly v tomto období, jsou téměř bez fosilií nebo na fosilní zbytky velmi chudé. Kalvoda (1980) předpokládá i hypersalinní prostředí při sedimentaci těchto vápenců (např. ve vrtu Němčičky-2 v hloubce 4884–4889 m). Hypersalinní prostředí mohlo být jedním z nepříznivých činitelů pro existenci organismů.

Určitá chemická analogie solanek v souvrství karbonu (Němčičky-1, Újezd-1), devonu (Těšany-1, Nikolčice-6) a solanek jury je prokazatelná. Korelovatelnost chemismu solanek devonu i se solankami autochtonního paleogénu nesvačilského příkopu (Nesvačilka-1 1535–1540, 1553–1562 m, Těšany-1 1807–1803 m) a vranovického příkopu (Popice-1 2130–2137,5 m) při jeho průkazně marinním vývoji ukazuje na možnost devonského původu solanek v sedimentárním profilu celé oblasti. Hydrogeologicky uzavřený komplex jury v peliticko-barbonatickém vývoji by tudíž představoval migrační a sběrné souvrství nejen pro uhlovodíky primární a sekundární geneze ze souvrství jury, ale i pro uhlovodíky druhé generace z paleozoika.

Je ovšem skutečností, že solanky známe i ze slovenské části centrálně karpatského mezozoického podloží vídeňské pánve, kde je prokázán jejich autochtonní původ (Michalík 1971). Směr migrace fluid od jurkské transgrese probíhal sice zřejmě převážně ve směru Z až SZ a Špička (1976) předpokládá spojení jury s centrálně karpatským mezozoickým podložím ve vídeňské pánvi, ale migrace z centrálně karpatského mezozoického podloží do naší oblasti není zatím něčím doložena.

Prvky vyslazování a mísení s vodami propustných poloh mladších souvrství či vyslazovaných komplexů boční infiltrací vadovních vod jsou patrný v nejvyšších polohách peliticko-karbonatické facie jury na některých vrtech: Březi-2 (1343–1353 m) — shoda s chemismem vod nadložného obzoru Eggenburgu a Otnangu; Dunajovice-1 (1546–1585 m) — shoda s chemismem vod nejvyšších poloh jury a Eggenburgu-Otnangu na vrtu Mušov-2, příp. i s chemismem vod celého sedimentárního profilu z oblasti od faciálního rozhraní. Na vrtu Mušov-2 je patrný v juře vzestup mineralizace v závislosti na hloubce a tím i hydrogeologické uzavřenosť: 3,1 (1027,5–1037,5 m), 5,3 (1518–1537 m), 28,4 (1645,8–1703 m), 40,4 (1849,2–1886 m) g/l. Shodný chemismus vody zjištěné na vrtu Nikolčice-6 (1076–1096 m) na struktuře neexistuje. Voda vznikla patrně mísením slabě až středně mineralizovaných vod (Nikolčice-4, -5) a solanek z hlubších, více hydrogeologicky uzavřených souvrství jury (Nikolčice-6). — Vliv mísení a vyslazování je patrný i v chemismu vody dosahující jen euhalinní salinity z peliticko-karbonátového souvrství jury (Vranovice-1 1276–12750 m) a v chemismu vody pouze polybrachyhalinní salinity (Strachotín-1 1952–1968 m). Oba vrtu leží při faciálním rozhraní karbonátů.

Sporná je genetická i kolektorská příslušnost vody Kobylí-1 3350–3112,5 m (mikulovské slinovce, pouzdřanská jednotka, podmenilitové vrstvy) o minerali-

zaci 20,5 g/l. Mimořádně vysoký je obsah jodidů 106,0 mg/l pro tuto mineralizaci. Pelity prvních dvou lithostratigrafických komplexů současně otevřených jsou vysoce matečnou horninou ropy a plynu svým obsahem i charakterem organických látek. Na vrtu bylo prokázáno v celém profilu vrtu nasycení hornin ropou. Vysoká biogenní aktivita je v souladu s tímto zjištěním.

Zvláštní postavení a hydrogeologické poměry má podle chemismu vod plio- a polybrachyhalinné salinity jura na struktuře Uhřice (vrtu Uhřice-3, -4, -5) větňě paraautochtonní jury typu klentnických vrstev, zjištěných vrtem Uhřice-3. Svou mineralizací a salinitou, ale i obsahem jodidů a bromidů, jsou tyto vody srovnatelné. Proměnlivost mineralizace a salinity je dána různým stupněm porušení, především mísením vod z nadložních souvrství ždánské jednotky. Tato dosahuje nejvyšší vyslazení na vrtu Uhřice-4.

Poznámka : Vyšší obsah síranů 1902 mg/l ve vodách byl zjištěn na vrtu Němčičky-1 4102–4115 m — z mikulovských slínovců. Se zvýšeným obsahem síranů solanek v celém profilu jury na tomto vrtu souvisí anomální výskyt sirovodíku, rozpuštěného ve vodách — až 208 mg/l. Toto maximum je dosaženo právě ze solanky s maximálním obsahem síranů.

Vysoký stupeň nasycení hydrogeologicky uzavřených vod jury na vrtech Uhřice-3, -4, -5 metanem je spolu s neprůmyslovými přítoky ropy dalším příznivým prospekčním zjištěním na této struktuře.

Paleogén — autochton

Z autochtonního paleogénu máme v úseku Střed velmi málo informací, a to pouze z vrtu Nesvačilka-1 a Nesvačilka-3. Proto při hydrogeochemickém hodnocení přihlédneme i k výsledkům průzkumu přilehlé j. části oblasti jv. svahu Českého masívu z vrtu Nikolčice -2A, Kobylí-1.

Marinní sedimenty autochtonního paleogénu představují bazální klastika a psamiticko-pelitické souvrství s četnými polohami psamitů. Velmi nízká propustnost až nepropustnost psamitů je v rozporu s relativně značnou póravitostí v průměru kolem 15 % i četnými přítoky docílenými při zkoušení. Psamity i bazální klastika řadíme do V. klasifikačního stupně kolektorů, v ojedinělých případech patří zřejmě do IV. stupně.

Z bazálních klastik oligocénu zkoušených vrtem Nikolčice-2A byly zjištěny v silně mineralizované chloridosodné vodě luminiscentně stopy ropy a voda byla nasycena až přesycena uhlovodíkovými plyny s vysokým podílem vyšších uhlovodíků ($K_{\text{nas}} \sim 1$). Kolektor je dnes hydrogeologicky uzavřen; je propojen s nadložním kolektorem, kde při jeho zkoušení byl docílen přeliv lehké parafinické ropy se slanou ložiskovou vodou ekvivalentního chemismu. Na tomto vrtu (struktuře) byla prokázána i průmyslová akumulace plynu v járe.

Velmi kladné hodnocení živícé perspektivnosti platí pro tektonickou šupinu

oligomiocénu na vrstu Kobyli-1. Zde byly zjištěny v souvrství jury a v podmennitových vrstvách ždánického příkrovu také významné, i když podle výsledků nereprezentativních čerpacích zkoušek průmyslově netěžitelné akumulace ropy a plynu. Se slanou vodou chemismu shodného s vodou na vrstu Nikolčice-2A nastoupila do těžebních trubek při čerpací zkoušce i ropa. Voda i ropa byly nasyceny metanovým plynem s vysokým podílem homologů metanu. Zcela mimořádný byl v uvedené vodě obsah jodidů 143,4 mg/l, což je vůbec nejvyšší hodnota jodidů zjištěná v hlubinné ropné vodě v ČSSR.

Kladné hodnocení živičné perspektivnosti podle hydrogeochemických kritérií platí také pro hlubší část bazálních klastik oligocénu (1562–1462 m) na vrstu Nesvačilka-1.

H o m o l a (1961) první hodnotil ropoplynoperspektivnost vrstu Nesvačilka-1 a jeho okolí. Jeho závěry jsou kladné. Jsou založeny na průkazné hydrogeologické uzavřenosti autochtonního oligocénu v celém geologickém vývoji, zvodněného slabými solankami až vodami euhalinné mineralizace (interval 1562–1462 m). Vody jsou silně nasyceny metanovými plyny, obsah jodidů je vysoký. Perspektivnost vyšších obzorů oligocénu na vrstu Nesvačilka-1 při projevech vyslazování a při menším nasycení vod metanovými plyny je sporná.

Oligocén, zkoušený vrtem Nesvačilka-3, je v celém intervalu 678–1315 m silně vyslazený až na úroveň prostých vod. Je živičně neperspektivní. V nejvyšším zkoušeném intervalu 678–682 m chemismus vod relativně vysoké salinita a mineralizace ukazuje na čočkovitý charakter kolektoru.

Solanka, odkrytá vrtem Těšany-1 v nesvačilském příkopu v bazálních klastických paleogénu – oligocénu, je zde alochtonní. Její zvýšené nasycení metanovým plynem spolu s hydrogeologickou uzavřeností kolektoru jsou kladným prospekčním faktorem. Hydraulické vlastnosti kolektoru nejsou dobré (V. třída).

P o z n á m k a : Na vrstu Uhřice-4 byly v bazálních klastikách oligocénu zjištěny neprůmyslové přítoky CH₄ plynu a plynu se stopami ropy.

Neogén pod příkrovu flyšových Karpat

Zivičná perspektivnost neogénu předhlubně pod flyšovými příkrovovými Karpaty naší zájmové oblasti je vyšší než v hydrogeologické strukturní jednotce karpat-ská předhlubeň, i když zde zatím nebyla odkryta průmyslově těžitelná ložiska ropy nebo plynu.

V důsledku vyšší hydrogeologické uzavřenosti způsobené krycím účinkem příkrovů a v důsledku větší vzdálenosti od okraje Českého masívu zde uložené hlubinné vody patří mineralizaci a NaCl salinitou k silně mineralizovaným. Vysoká ropoplynomatečnost neogenních sedimentů, zvláště karpatu, se odráží v obsahu biogenických prvků. Vody jsou velmi silně nasyceny až přesyceny metanem. To platí především o kolektorech eggenburgu–ottnangu na vrstu Žaroši-

ce-2, karpatu na vrtech Kožušice-1 až Kožušice-4, Jarohněvice-1, Roštín-1, Kroměříž-1, karpatu na struktuře Kostelany (Lubná).

Akumulace metanového héliónosného plynu v karpatu byla zjištěna na struktuře Kostelany (Lubná) a Hradisko (Nítkovice); prokázána je akumulace metanového plynu též slabě héliónosného i v rtem Kožušice-4 (949–942 m) – kapacita před intenzifikačními pokusy 25,5 tisíc m³/d. Obsah hélia v metanovém plynu z tohoto vrtu je 0,14 obj. %, což je stejná koncentrace jako v plynu ložiska Hradisko.

Slabá produkce metanového plynu byla docílena z kolektorů 1065–1063, 1058–1053 m na vrtu Kobeřice-2. Tlak na ústí dosáhl ca 5,7 MPa, kapacita sondy 4864 m³/d.

V rtem Ždánice-28 při průzkumu ložiska ropy Ždánice vázaného na zvětralý povrch krystalinika byla zjištěna ropenosnost i karpatu (interval 980–976,5; 974,5–970 m). Zkušební těžba silně proplyněné ropy dosáhla max. 4,4–4,8 t/d, těžba plynu 411 m³/d. Maximální tlak na ústí těžebních trubek 2,65, na ústí mezikruží 3,33 MPa. Ropoplynoproduktivnost miocénu naleziště Ždánice byla prokázána i dalšími vrtami – Krejčí a Brzobohatý (1984).

V s. části jv. svahu Českého masívu v psamitech karpatu jsou známa ložiska metanového plynu Choryně a Přibor - Klokočov.

Na vrtech Tlumačov-1, Stupava-1 odpovídají vody karpatu svým chemismem paleosalinitě. Ještě dnes odpovídají parametrům marinních vod euhalinní salinity. Jak již bylo řečeno, z uvedených vrtů pouze vody karpatu na vrtu Tlumačov-1 vykazují vysoký stupeň zaplynění metanovým plynem, ale i tyto údaje jsou sporné.

Negativní hodnocení podle velmi vysokého stupně vyslazení a slabého sycení vod karpatu metanem platí pro vody na vrtu Holešov-1. Při mělkém uložení souvrství karpatu a malé mocnosti krycího souvrství ždánicko-hustopečských vrstev jsou neperspektivní obzory eggenburgu—ottnangu na vrtu Nesvačilka-1.

Z hlediska kolektorů jsou psamity (písky a pískovce) a bazální klastika spodního badenu a karpatu relativně dobrými kolektory. Patří do IV. třídy kolektorů a bazální klastika spodního badenu např. na struktuře Lobodice i do II. třídy.

Flyšové pásmo Karpat

Flyšové pásmo Karpat ve střední části jv. svahu Českého masívu obdobně jako v j. části zůstává z hlediska živčné perspektivnosti podle hydrogeochemických kritérií otevřeným problémem (Michaliček 1978). To platí především o magurském příkrovu.

Vnější pásmo flyšových příkrovů

Z vnějšího pásmá flyšových příkrovů Karpat máme nedostatek či minimum jakýchkoliv hydrogeochemických informací z dilčích hydrogeologických struk-

turních jednotek: pouzdřanské, zdounecké a z karpatu paraautochtonu. Pokud byly navrženy nějaké vybrané psamitické intervaly podle karotáže ke zkoušení, zůstaly bez přítoku.

Při převážně pelitickém vývoji jsou pelity pouzdřanské a zdounecké jednotky i peliticko-psamitické sedimenty karpatu — paraautochtonu vysoce ropoplynogennatice souvrství (Simánek 1977). Z hlediska ropné hydrogeochemie či hydrogeologie opravňují absence kolektorů nebo negativní kolektorské vlastnosti psamitů (minimální až nulová primární průlinová i druhotná puklinová pro-
pustnost a pórovitost) negativní hodnocení perspektivnosti těchto strukturních jednotek pro průmyslovou akumulaci ropy a plynu.

Maximální živičný projev, přítok ropy a plynu, byl nebyl prokázán jeho průmyslový význam, byl v pouzdřanské jednotce na vrtu Kobyli-1. Zde z intervalu 3350–3112 m (zkoušeny společně sedimenty pouzdřanské jednotky, ždánické jednotky a mikulovských slínovců) byl dosažen přítok metanového plynu, dosahujícího na ústí až 11,5 MPa. Spolu s plynem byla těžena i ropa; její celkové vytěžené množství je ca 25 t.

V dalším zkoušeném intervalu 3129–3112 m byl dosažen opět přítok plynu i ropy (ropy vytěženo 630 l). Změřená potenciální produkce plynu činí pouze 100 m³/d. V intervalu 3123–3129 m byl docílen bezvýznamný přítok ropy a plynu s vodou polybrachyhalinní salinity s anomálním obsahem jodidů 143 mg/l.

Rovněž na struktuře Němčičky byl na vrtu Němčičky-1 dosažen přítok ropy a plynu z obzoru 2189–2177 m pouzdřanské jednotky. Celkem bylo vytěženo 23 t ropy a 10 t olejové emulze. Slabší projev ropy a plynu byl i na vrtu Němčičky-4 (2259–2247 m).

P o z n á m k a : Velmi slabý přítok metanového plynu byl dosažen při zkoušení intervalu zdounecké jednotky 1902–1906 m na vrtu Stupava-3. Tlak na ústí mezikruží dosáhl 1,05 MPa, na ústí těžebních trubek 0,92 MPa.

V podslezsko-ždánickém příkrovu bylo situováno v naší zájmové oblasti relativně mnoho vrtů (příl. 1). Známe jej i z podloží magurského příkrovu, např. ze struktury Kostelany, Ježov. Chceme-li však hodnotit jeho živičnou perspektivnost, ukazuje se tento úkol značně složitý.

Z hlediska kolektorů jsou písky a pískovce ždánicko-podslezské jednotky převážně kolektory V. třídy. Do IV. třídy klasifikace jsem zařadil nehluboko uložený a značně promytý psamitický interval podmenilitových vrstev na vrtu Marefy-1 (396–405 m) a hydrogeologicky zcela otevřený interval ždánicko-hustopečských vrstev se sladkou vodou na vrtu Kožušice-1 (863–916 m). Bez kolektorů jsou podmenilitové vrstvy, které představují monotónní pelitické souvrství. Menilitové vrstvy jsou pak písčitéjší, a to více i než ždánicko-hustopečské vrstvy, s velmi proměnlivým poměrem pelitů a psamitů. Nejvíce přítoků, a tím i hydrogeochemických informací, je však ze ždánicko-hustopečských vrstev.

Negativní hodnocení z hlediska živičné perspektivnosti si zaslouží pouze zmíněné kolektory na vrstu Kožušice-1 a Marefy-1 a zkoušené psamity ždánicko-hustopečských vrstev na vrstu Tlumačov-1. Vyslazení vod těchto kolektorů je velmi vysoké; vody nejsou zaplyněny metanem.

Ropně hydrogeochemické hodnocení zkoušených obzorů ždánicko-podslezské jednotky na dalších vrtech je však relativně kladné s výjimkou již diskutovaných kolektorských vlastností. Na vrstu Cf 600 Kobyli-1, ležícím ca 2 km na S od již zmíněného hlubinného vrstu Kobyli-1, bylo při provrtávání čočkovitých pískovcových těles čejšsko-zaječické série zaznamenáno několik plynových erupcí. Nejvýznamnější byla v hloubce 245 m (Hromec 1970). Na vrstu Kobyli-1 pak byly zjištěny slabé přítoky proplyněné ropy z propustných poloh podmenilitových vrstev 2753–2748, 2731,5–2727 m. Vyšší zkoušené intervaly ždánicko-hustopečských vrstev (2320–1017 m) jsou zvodeněny středně mineralizovanými vodami miomezohalinné salinity. Vykazují tedy vysoký stupeň vyslazení. Slabé výrony plynu připisuje Plíčka (1956) na vrtech Bojanovice-1 a Kudlèjov-3, kde byly zjištěny i stopy ropy. Vrty dosáhly hloubek 415 a 717 m.

Plynoproduktivními, i když bez průmyslového významu, se ukázaly kolektory ždánicko-hustopečských a podmenilitových vrstev na vrstu Žarošice-2. Potenciální kapacita zkoušených intervalů je však velmi nízká (450–882 m³/d). Ložisková voda nejhlubšího intervalu 785–795 m podmenilitových vrstev je polyhalinné salinity s vysokým obsahem jodidů. To ukazuje na vysokou ropomatečnost hornin, které dotovaly kolektor živičnými složkami. Při hydrodynamickém propojení devonu, eggenburgu a podmenilitových vrstev a příslušnosti zvláště vrstev eggenburgu a podmenilitových k matečným horninám, není jednoznačně řešitelná genetická příslušnost živic. Spíše však lze předpokládat, že ložisková (podestýlájící) voda představuje do určité míry přeměněnou synsedimentární vodu, a tudíž i živice přísluší podmenilitovým vrstvám.

I na vrstu Žarošice-1 (1254–1143 m) zkoušené obzory ždánicko-hustopečských vrstev jsem označil za hydrogeologicky uzavřené, nadějně, a to pro přesycení či až 100% nasycení vod za ložiskových podmínek metanovými plyny. Vody jsou pliohalinné salinity, chloridosodné a opět s vysokým obsahem jodidů.

Na struktuře Uhřice z podmenilitových vrstev v hloubce 1507–1518 m na vrstu Uhřice-3 byl docílen přítok plynu se stopami ropy. Na vrstu Uhřice-5 je nasycena až přesycena metanovým plynem vrstevní voda pliohalinné salinity ze ždánicko-hustopečských vrstev obzoru 1362–1370 m.

Voda uložená v obzoru 715–733 m ve ždánicko-hustopečských vrstvách na vrstu Roštín-1 má euhalinnou salinitu a obsah jodidů 38 mg/l. Je silně nasycena metanovým pylem (K_{nas} 0,7). To ukazuje na hydrogeologickou uzavřenosť kolektoru. Ze srovnání chemismu vod podložních kolektorů karpatu a diskuto-

vané vody, považuji vodu i plyn za přimigrovaný z karpatu po přesunutí ždánicko-podslezské jednotky.

I zkoušené kolektory ždánicko-podslezské jednotky na vrtu Jarohněvice-1 patří k hydrogeologicky uzavřeným. Při relativně vysokém sycení vod polyhalinné salinity nelze ani výsledky tohoto vrtu hodnotit zcela negativně.

Z podloží magurského příkrovu byl ve ždánické jednotce intervalu 3414–3450 m na vrtu Ježov-1 docílen přítok ropy a metanového plynu (těžba ropy 2,09 t/d, plynu 189 m³/d).

Z uvedeného rozboru vyplývá, že ždánicko-podslezská jednotka je dnes svým litologickým charakterem nepropustným, krycím souvrstvím. Pelity zvláště podmenilitových vrstev představují ropomatečné horniny. Propustné psamity ojedinělé v podmenilitových vrstvách, více četné v ždánicko-hustopečských a menilitových vrstvách, jsou však špatnými kolektory. Vysoké sycení vod metanem dokazuje spolu s pozitivními výsledky na vrtu Žarošice-2 jejich možnou produktivnost. K akumulaci živic však došlo přimigrováním jen ze souvrství matečných hornin z bezprostředního okolí pasti. Při špatných kolektorských vlastnostech je nepravděpodobná existence a odkrytí ložisek většího průmyslového významu.

Vnitřní (magurské) pásmo flyšových příkrovů

První ropně hydrogeochemické hodnocení magurského příkrovu je založeno na výsledcích průzkumných vrtů ze svrchního, více než 5500 m mocného, pro-vrásněného komplexu magurského příkrovu. Spodní komplex magurského flyše budovaný mezozoickými (svrchní trias? až alb) sedimenty, zjištěný vrtem Jarošov-1 (Špička et al. 1976), nelze vůbec reálně hodnotit. Rovněž chybějí podklady pro posouzení významu bělokarpatské jednotky, příp. bystrické jako krycího komplexu, v němž však současně by mohly být zastoupeny významnější kolektory (zvláště ve spodním komplexu bělokarpatské jednotky).

Svrchní komplex račanské jednotky za současného stavu poznatků — (přes přítoky ropy a metanového plynu z psamitických propustných poloh spodních a svrchních solánských vrstev a spodních zlinských vrstev vrtu Jarošov-1, ropy ze svrchních zlinských vrstev na vrtu Březůvky-1, projevy plynu se stopami ropy ve spodních solánských vrstvách na vrtu Osvětimany-1, Stupava-3, Ježov-1 a metanového plynu ze zlinských vrstev račanské jednotky na vrtu Blatnička-1) — považuji za málo nadějný pro objevení průmyslově významných ložisek ropy a plynu. Zatím nebyla žádným vrtem prokázána existence příznivě vyvinutých a více mocných, plošně stálých kolektorů. Na vrtu Jarošov-1 byly za kolektory IV. třídy s rezervou označeny pouze pískovce spodních zlinských vrstev. Totéž platí o psamitech zlinských vrstev na vrtu Blatnička-1. Na vrtu Osvětimany-1 jsou zařazeny do IV. třídy kolektorů i propustné zvodněné pís-

kovce belovežských a svrchních solánských vrstev. Ovšem poznatky o kolektorských vlastnostech četných (podle karotáže „propustných“) pískovců až slepenců spodních solánských vrstev jsou nedostatečné. K jejich vyzkoušení na vrtu Jarošov-1 nedošlo z technických důvodů. Laboratorní měření propustnosti vykazuje hodnoty pod $1.10^{-2} \mu\text{m}^2$. V daných hloubkách a při stupni zpevnění pískovců spodních solánských vrstev je třeba uvažovat spíše puklinovou propustnost než průlinovou.

Vedle nedostatku dobrých kolektorů, regionálně stále vyvinutých a dostatečně mocných, je negativním zjištěním více než 50% vyslazení celého svrchního provrásněného komplexu račanské jednotky, tj. do hloubky ca 5000 m (podle vrtu Jarošov-1). Na vrtu Osvětimany-1 je vyslazení mimořádně vysoké, zbytkový obsah chloridů ve vodách je pouze 1–3 g/l. Přibližně totéž platí o vrtu Vizovice-1 a o všech dalších dosud vyzkoušených vrtech v magurském příkrovu.

Není možné extrapolovat hydrogeochemické poznatky vrtu Blatnička-1 pro hodnocení bělokarpatské jednotky či celého magurského příkrovu s předpokládaným krycím komplexem, který mohou představovat sedimenty bělokarpatské jednotky.

Shodný chemismus vod v celém profilu magurského příkrovu, nezávislost chemismu (a chloridonosné salinity) na hloubce uložení a lithostratigrafické příslušnosti ukazují, že k vyslazení (vymytí) došlo ještě před dosažením současného velmi vysokého stavu diageneze.

Spolu s vymýtím primárních vod v geologické minulosti muselo dojít k úplnému, příp. k částečnému emigrování a vymytí živic. Dnešní živiční obsah v kolektorech představují jednak zbytkové primární živice, jednak uhlovodíky druhotné geneze. Tento závěr je podložen vývody Šimánka (1976) o sycení kolektorů magurského příkrovu (podle vrtů Jarošov-1 a Vizovice-1) z bezprostředního okolí vrtů epigenetickými bitumeny z matečných hornin a zjištěním miocenního stáří plynů volných i spontánních, uvolňujících se z vody i ropy.

Četnost živičných projevů ať již povrchových (Plíčka 1967, Květ - Michalíček 1966) nebo hlubinných v magurském příkrovu, a zvláště v račanské jednotce, není v souladu s jeho nepatrnou průmyslovou ropoplynonošností (těžba ložisek ropy pouze v podloží vídeňské pánve, plynu z akumulací u Iluku). Tuto negativní skutečnost objasňují relativně nízká ropomatečnost flyšových sedimentů (Šimánek 1977), obecně vysoký stupeň vyslazení a vymýtí kolektorů (Květ 1963, Michalíček - Dlabač 1965), a tím emigrace či vymýtí primárních živic.

Tyto závěry mají omezenou platnost, ale extrapolaci současných poznatků z dosud odvrstaných vrtů pro celý svrchní zvrásněný komplex magurského flyše bez krycího účinku bělokarpatské jednotky považují za nezbytnou pro ucelené zhodnocení živičné perspektivnosti zájmové oblasti.

Poznámka: Ropné hydrogeochemické problémy magurského příkrovu v podloži sedimentů vídeňské pánve nebyly řešeny.

Obdobně jako v závěru hodnocení ždánicko-podslezské jednotky je možno na základě současných znalostí vyvodit, že ve svrchním zvrásněném komplexu magurského příkrovu existují akumulace uhlovodíků plynných i kapalných. Nejsou však zatím známy žádné reálné faktory, které by opravňovaly k předpokladu objevení v tomto komplexu velkých ložisek, zvláště ložisek ropy. S větší pravděpodobností lze očekávat existenci ložisek plynu spíše druhotného původu, která při možném velmi hlubokém uložení, a tím i tlacích, přes malou půrovitost kolektorů by mohla být velmi významná.

Pro objevení velkých ložisek uhlovodíků, a opět především plynů, považuji za více nadějný spodní komplex magurského flyše pro jeho malé provrásnění a subhorizontální úklon vrstev. Nadložní provrásněný komplex mohl by plnit v geologické historii jak krycí, tak dotující funkci. Kolektory zde mohly být syceny i plyny druhotné generace: tyto vznikly nebo lépe byly uvolněny z matečných hornin v důsledku silného zvrásnění flyšových hornin ponořených do velkých hloubek. Vedle uvolnění bitumienů a metanových plynů dříve vázaných sorpčními a kapilárními silami je za daných podmínek třeba předpokládat i vznik metanových plynů tepelnou destrukcí zbytkové organické hmoty hornin.

Příkladem současné migrace plynů patrně z velké hloubky magurského příkrovu je plynová akumulace u Hluku (Plička 1958, Dlabač 1946). Plyny jsou kombinovaného chemismu — metan 50—70 %, oxid uhličitý 15—30 %, dusík ca 15 %. Společný migrační proud nebo výsledná akumulace je ze dvou rozdílných zdrojů. Poněvadž v metanových plynech jsou bohatě zastoupeny vyšší uhlovodíky, je plyn dnes vytěšňován patrně z matečných hornin ze značných hloubek a sytí kolektory, kterými jsou psamity bělokarpatské a račanské jednotky v hloubkách např. na vrchu Hluk-5 386—390 m a 437,5—441,5 m. Na vrtech u illuku uvádí Plička i akumulaci ropy. Její původ lze odvodit ze zlínských vrstev račanské jednotky. Totéž může platit i o původu metanových plynů. Přívodovou cestou oxidu uhličitého postvulkanického původu je podle Kvetta (1970) hlucký zlom.

Poznámka: Při nepatrné produktivitě jednotlivých vrtů (průměrná těžba za 1 měsíc z jednoho vrta při přetlaku na ústí 0,1 až 0,2 MPa pod 1000 m³) je pozorovatelná závislost vydatnosti sond na počasí. Za velkého sucha klesá vydatnost (patrně v důsledku zvětšené emigrace plynů do atmosféry — Kvet 1970).

Výklad funkce násunové plochy bělokarpatské jednotky pro usměrnění migračního proudu metanu (Janák 1956) není jednoznačný. Vrtem Blatnička-1 i vrtu u Hluku byly prokázány plynové obzory jak v propustných psamitech račanské jednotky, tak v bělokarpatské jednotce.

Geochemie plynů

Plyny ve střední části oblasti jv. svahů Českého masívu rozpuštěné v hlubinných vodách, ropách, ale i ložiskové, patří bez ohledu na stáří a litologii kole-

T a b u l k a 3

Rádiové vody oblasti o radioaktivitě nad 0,37 Bq/litr

vrtba	interval m	litostra- tigrafie	Ra Bq/l	U mg/l	autor analýzy
Dražovice-2	514—485 450—418	D(vd)	0,37	0,001 (0,0014) UD (ČÚG)	
Hulín-1	nezap. 1450—1398,4	Kr	0,69	0,0001	SG
Jarohněvice-1	1385—1380 809—798	Kr Nik+Ž	0,99 1,19	0,0008 0,0008	SG SG
Jarošov-1	3274—3264 3251—3237 3215—3208	MR _{S2}	0,34	0,0010	SG
Ježov-2	2655—2635	D(bk)	9,11	0,0002	SG
Koberice-2	1880—1865 1104—1094 1084,5—1079,5	C ₁ (k) C ₁ (k) Nik (?)	1,51 1,20 0,35	0,0001 0,0001 0,0004	SG SG SG
Kožušice-1	nezap.+perf. kol. 1303—1272,03 1214,5—1209,5 1188—1181,5 1178,5—1175	Kr+Nik Nik Nik+Žpm	0,68 0,44 0,44; 0,37	0,000 0,002 0,000	UD UD UD
Kožušice-2	970—960 639—633 574—561	Kr+Žpm Zž Zž	0,30 0,38 0,42	<0,0001 0,0006 0,0005	SG SG SG
Kožušice-3	848—838 714—706 278,5—272,5	Kr Nik Zpm	0,30 0,43 1,09	0,0002 0,0004 0,0015	SG SG SG
Lubná-2	perf. kol. 1925—1856,4 1865—1858	Kr+Nik Nik	26,28 30,30	0,001 stopy	ČÚG ČÚG
Lubná-3	nezap.+perf. kol. 1658—1565,5 perf. kol. 1600,9—1565,5 772,5—756	Kr+Nik Kr+Nik MRz	3,07 5,69 1,01	0,0015 0,0014 0,0023	ČÚG ČÚG ČÚG
Lubná-4	nezap.+perf. kol. 1628—1550,42 1585—1556,37 1533,5—1527,5 1513,5—1506,5	Kr Kr Nik Nik	65,34 0,47 0,33 0,33	stopy 0,0036 0,0011 0,0046	ČÚG ČÚG ČÚG ČÚG
Lubná-9	1382—1372,8	Kr	1,10; 2,74	0,000 (stopy) UD (PM)	
Lubná-11	1437—1433	P	0,91	0,010	UD
Lubná-14	1445—1436	Kr	5,04	0,002	UD
Lubná-16	1616—1598	Kr	3,50	0,000	UD
Lubná-19	1640—1576	Kr	4,60	0,006	UD
Marefy-1	nezap. 1081—1017,45 875—856 842—823 535—480	Kr + D(bk + vd) D(vd) D(vd)	0,37 0,51 0,32	<0,0001 <0,0001 0,0002	SG SG SG
Morkovice-1	703—697 692—684	Nik	0,40	0,014	UD
Němčičky-2	3252—3224 3214—3169,5	Cna Cna	0,61 3,06	0,0002 0,0001	SG SG

Tabuľka 3 (pokračovanie)

vrtba	interval m	litostra-tigrafie	Ra Bq/l	U mg/l	autor analýzy
Němčičky-2	1875—1745	J(kv+d)	7,15	0,0004	SG
	1686—1679	P+J(k)	1,41	0,0012	SG
Nesvačilka-3	nezap.	C1(k)	13,51	<0,001	ÚÚG
	2483,5—1556,4				
Nítkovice-3	nezap.	Dfr	0,55	0,001	PM
	1500—1250,13	Dfr	0,34	0,001	PM
	1220—1210	Dfm	1,46	stopy	PM
	899—888				
Nítkovice-5	854—849	D	0,42; 0,49	0,0008	SG
Nítkovice-6	719—700	N1k	0,37	0,003	UD
Nítkovice-8	804—799	D	0,95	0,022	UD
Osvětimany-1	959—950	MRz1	0,46	0,0002;	SG
Rataje-1	nezap.+perf. kol.			0,0001	
	1481—1468	Dgv	0,73	0,001	ÚÚG
	1314—1311	N1k	0,37	<0,002	ÚÚG
	590—582,5	N1k	0,40	0,0064	ÚÚG
Rataje-2	1333—1328	D(vd)	0,41	<0,0001	SG
Roštín-1	1511—1506	Kr	0,37; 0,38	0,0002	SG
	733—728				
	721,5—715	Zpm	0,46	0,0001	SG
Slavkov-2	1305—1291	D(bk)	0,44	0,000	UD
Svábenice-1	2070—2055	C1—D	2,33; 2,28	0,0004	SG
	1930—1914	C1—D	0,82; 0,85	0,0002	SG
Těšany-1	4102,5—4094,95	D(or)	16,28	0,0003	SG
	4093—4082	D(or)	16,32; 16,76	0,0014	SG
	1807—1808	PG(bk)	7,67	0,0004	SG
Tlumačov-1	nezap.+perf. kol.				
	2315—2245	Kr+N1k	3,29; 3,47	0,000	UD
Uhřice-3	2480—2470	Dfr-gv	5,49	0,0008	SG
Uhřice-4	1705—1685	J(ni)	1,48	0,0002	SG
	1605—1592	J(vv+d)	0,48	0,0002	SG
	1490—1478	J(vv+d)	0,77	0,0001	SG
	1341—1332	PG(bk)	3,91	0,0001	SG
Uhřice-5	1919—1880	J(ni)	1,38	0,0004	SG
	1370—1362	Zž	0,49	0,0014	SG
Újezd-1	2096—2094	C1(k)	43,85; 41,16	0,002	SG
	1911,5	C1(k)	25,43; 25,84	0,0014	SG
Zarošice-1	1242—1234	Zž	0,34	0,0011	ÚÚG
Zarošice-2	1375—1360	D(bk)	27,38	<0,001	ÚÚG
	1325—1310	D(bk)	1,42	—	ÚÚG
	1304—1282,5	D(bk)	1,53	—	ÚÚG
	1230—1195	Dgv-fr	2,44	—	ÚÚG
	1180—1156	Nieg	0,40	0,0036	ÚÚG
	795—785	Zpm	0,44	0,0036	ÚÚG
	602—592	Zm+Zž	9,86	—	ÚÚG
	403—394	Zž	0,37	—	ÚÚG

Vysvetlivky: ÚÚG — Ústřední ústav geologický
 SG — Stavební geologie
 UD — Uranové doly
 PM — Povodí Moravy, Brno

toru či souvisejí, ke kterému i geneticky přísluší, k plynům převážně metanovým, podle klasifikace uhlovodíkových plynů Kofanova (1959) etan-propanovým. Z genetického hlediska jsou to typické plyny ropné (živícé), charakteristické zastoupením vyšších plynných alkánů v uhlovodíkovém spektru, i když někdy velmi nízkým. Zcela bez obsahu vyšších alkánů jsou rozpuštěné plyny ve vodách krystalinika, devonu a karpatu vrtu Holešov-1, krystalinika a devonu vrtu Marefy-1. Obsahy vyšších uhlovodíků v řádu 10^{-2} až 10^{-3} obj. % byly zjištěny v plynech rozpuštěných ve vodách, ale i volných z vrtů Nitkovice-2, Rataje-1 (z krystalinika a devonu), Roštín-1 (ze spodního karbonu, karpatu a badenu) a z vrtu Žarošice-2 (z devonu a eggenburgu).

Naopak – i ve srovnání s metanovými plyny ložisekropy a plynu ve výdeňské pánvi – vysoké obsahy vyšších uhlovodíků (etan nad 2,5–3,0 %) a s obsahy n- a izo- butanů a n- a izo- pentanů byly zjištěny v rozpuštěných volných plynech v rámci Jarošov-1 ze spodních a vrchních solánských a spodních zlinských vrstev, v rámci Osvětimany-1 z krystalinika a spodních solánských vrstev, v rámci Stupava-1 z karpatu a v rámci Ždánice-5 z krystalinika.

Výjimkou je chemismus plynů rozpuštěných ve vodách devonu na vrtu Dražovice-2, Svábenice-1 a Rataje-2, které při příslušnosti kolektorů do hydrogeologické zóny otevřené výměny vod (někdy do určité míry omezené) patří k plynům typu dusíkového (dusík nad 75 obj. %) nebo dusíkovo-metanového (Rataje-2). Z vyšších uhlovodíků bývá v těchto plynech přítomen pouze etan ve stopách.

Zvýšené proměnné obsahy dusíku byly zjištěny na řadě vrtů v rozmezí 10–20 obj. %: Marefy-1, Nesvačilka-1, -3, Nitkovice-2, -5, Osvětimany-1, Rataje-1, Stupava-1, Tlumačov-1. Zvýšená koncentrace dusíku je většinou v souvislosti se zvýšením héliosnosti, příp. je vyvolána anomálním podílem biogenního dusíku, ale i atmosférického dusíku zaneseného do vody (vzorku) technickými nedostatky při vzorkování. Kyslík, který v těchto případech rovněž kontaminuje vzorek, bývá spotřebován oxidačně redukčními pochody, probíhajícími již ve vodě v sondě, ale také v odebraném vzorku vody ve vzorkovnici. V některých rozpuštěných plynech vod je zvýšený obsah dusíku atmosférického původu přirozeným důsledkem většinou současné hydrogeologické otevřenosti mělce uloženého obzoru. V případech hydrogeologické otevřenosti kolektorů v geologické minulosti, ale dnešní příslušnosti kolektoru do zóny omezené výměny vod či bez výměny, pak většinou vedle zvýšeného obsahu dusíku chybí v rozpuštěném metanovém plynu ve vodě i podíl vyšších uhlovodíků. Příkladem jsou plyny devonu na vrtu Slavkov-2, karpatu na vrtu Rousínov-1, karpatu, devonu a krystalinika na vrtu Holešov-1.

V rozpuštěných plynech ve vodách a ropách i volných (spontánních a ložiskových) plynech nebyly zjištěny anomálně zvýšené obsahy CO₂ (nad 25 obj. %) a rovněž výskyt sirovodíku v hlubinných vodách či volných plynech je zcela

výjimečný (Rataje-2 1900–1587 m, devon, 44,3 mg H₂S/l, 558–551 m, karpat, 34,1 mg H₂S/l a 2283–2273,5 m, karpat, 173,8 mg H₂S/l).

Slabě zvýšené obsahy CO₂ ca 1,5–4 obj. % byly zjištěny v rozpuštěných plynech v hlubinných vodách karpatu až ždánicko-podslezské jednotky na vrtu Kožušice-1.

Větší výskyty obsahu CO₂ při zkoušení intervalů 1136–1420 m v magurském příkrovu jsou v plynech rozpuštěných ve vodách, ale i ve volných plynech, odebraných na ústí na vrtu Osvětimany-1 (rozptyl 1,0–14 obj. %). Přitom i v plynu na ústí byl zjištěn obsah až 7,3 obj. %.

Také na vrtu Stupava-1 byl zjištěn v metanovo-dusíkovém plynu odebraném na ústí při zkoušení intervalu karpatu 2175–2171 m vysoký obsah CO₂ 9,3 obj. %. Podobné koncentrace CO₂ dosahují metanové plyny i na vrtu Žarošice-2 z devonu (1195–1304 m). **Velmi proměnlivý obsah CO₂ je v plynech metanovo-dusíkovo-uhličitých či metanovo-uhličito-dusíkových plynové struktury Hluk.** Obsah CO₂ v těženém plynu dosahuje až 30 obj. %, dusíku ca 15 obj. %. Ale již na vrtu Hluk HW-2 situovaném ca 4 km z. od plynových vrtů Hluk-1 až -9 není oxid uhličitý v ryze metanovém plynu přítomen.

Způsob vzorkování vyvolal časté zavzdoušnění vzorků plynů i plynů z hlubinných vzorkovačů. Tyto vzorky nelze pak považovat za reprezentativní pro určení relativního stáří akumulací plynů hélium-argonovou metodou (Kozlov 1950). Tyto údaje nám proto chybějí nebo je nemůžeme reálně použít.

Zkreslení chemismu se odráží, ale daleko méně, i ve vyhodnocených tlacích vod plyny za ložiskových (vrstevních) podmínek (Krajča 1960). Výsledky vyhodnocených tlaků nasycení jsou shrnutý v tabulce 1. Tyto hodnoty byly použity jako základní ropoprospekční hydrochemický faktor.

Pokus o využití poměru n-butan : i-butan pro určení stáří akumulace plynu byl neúspěšný patrně pro složitý geologický vývoj a původ plynů a malý počet reprezentativních údajů (Dadašev - Salajev 1965, Reznikova 1969). Podle Dadaševa a Salajeva (1965) plyny eocenního stáří mají poměr

$\frac{n-C_4}{i-C_4}$ a $\frac{n-C_5}{i-C_5}$ 3,24/1,58, oligocenního stáří 2,01/1,05, miocenního stáří 1,1/0,87, středně pliocenního stáří 0,67/0,58, svrchně pliocenního stáří 0,3/0,2. Hodnoty $\frac{n-C_4}{i-C_4}$, zjištěné v plynech naší zájmové oblasti, kolísají v rozmezí 0,3 až 2,45,

hodnoty $\frac{n-C_5}{i-C_5}$ pak od 0,25 do 1,19.

To je celkem v souladu s rozptylem stáří kolektorů, a především pravděpodobné doby akumulace plynů (stáří pastí). Hodnoty však nemají dostatečnou přesnost nebo lépe rozlišovací schopnost.

Údaje stáří zjištěné hélium-argonovou metodou kolísají od 1 do 40 mil. let. Anomální hodnoty Lubná-4 78 mil., Osvětimany-1 170 mil. let (67 mil.) lze

objasnit zvýšenou hélionosností při zvýšené radioaktivitě hornin v profilu vrtu (M i c h a l í č e k 1975).

Hélionosné plyny v úseku Střed

Výklad původu a prognózu možné existence akumulací hélionosných metanových a metanovo-dusíkových plynů v úseku Střed jsem již vyslovil (M i - c h a l í č e k 1972, 1975). Proto zde v krátkosti jen shrnu současné poznatky.

Akumulaci hélionosných metanových plynů představuje nejen ložisko plynu Kostelany - západ, ale i Hradisko (Nítkovice). Plyny ložiska Kostelany obsahují hélium v koncentracích 0,3–0,4 obj. % (Lubná-6 1352–1236 m, Lubná-3 1403–1398 m, Lubná-14 1445,5–1436, Lubná-16 1616–1598,7 m). Vyšší obsahy na této struktuře byly zjištěny v plynech uvolněných ze vzorků hlubinných vod. V ložiskových volných plynech, odebraných na ústí vrtů ložiska Hradisko, jsou obsahy hélia nižší – ca 0,15 obj. % (Nítkovice-3 899–888 m, Nítkovice-3 850–838 m, Nítkovice-5 854–849 m). Posledním objeveným ložiskem slabě hélionosného metanového plynu (obsah He ca 0,14 obj. %) je akumulace v karpatu (949–942 m) na vrtu Kožušice-4. Ložiskové zásoby tohoto plynu nejsou zatím vyhodnoceny. Technologickým principem separace hélia z těchto plynů je kondenzace a absorpcie všech složek plynu mimo hélia při -182°C .

V socialistických státech byly zjištěny zatím hélionosné plyny jen v PLR. V SSSR přes mimořádné úsilí a speciální prospekční práce na zjištění hélionosných plynů nebyla zatím ložiska těchto plynů odkryta. Proto má mimořádný význam objevení byť zatím velmi malých zásob hélionosných plynů a zvláště předpoklad zjištění dalších ekvivalentních ložisek ve studované oblasti.

Zvýšené obsahy hélia nad 0,05 a mnohdy nad 0,1 obj. % byly zjištěny v řadě plynů z hlubinných vzorků vod či plynů odebraných na ústí mimo výše uvedené struktury Kostelany, Hradisko, Kožušice (tab. 4).

Přítomnost hélia v koncentraci 0,17–0,19 obj. % v odplynu z devonských až spodnokarbonických vod vrtu Švábenice-1, v dusíkovo-metanovém plynu (dusík 60–78 obj. %, metan 20–40 obj. %), je velmi překvapující až sporný. Kolektory přísluší do hydrogeologické zóny otevřené výměny vod. Totéž platí i o hélionosném dusíkovém plynu (dusík 80,6 obj. %) z vrtu Dražovice-2 (krystalinikum až devon). Při velmi nízkém stupni nasycení vod plyny (K_{nas} pod 0,1) může být vysvětlením v současné době probíhající proces zaplňování vod migrujících metanovým plynem se zvýšeným obsahem hélia.

Genetická souvislost zvýšených koncentrací hélia a zvýšených anomálních koncentrací radioaktivních prvků, především uranu, ale i toria v horninách krystalinického fundamentu oblasti, ale i uranu v sedimentech a vodách podloží, byla prokázána (M i c h a l í č e k 1975).

Na všech vrtech s výskytem hélionosných plynů byly zjištěny intervaly zvý-

šené radioaktivity, a to buď hornin krystalinického fundamentu nebo sedimentů v nadloží. Jednoznačná shoda intervalů zvýšené radioaktivity a propustných intervalů s proplynčnými vodami se zvýšeným obsahem hélia či s hélionosnými plyny neexistuje. Při mimořádné pohyblivosti a migrační schopnosti hélia však již existence zvýšené radioaktivity na všech vrtech či strukturách s výskytem plynů se zvýšeným obsahem hélia je dostatečným důkazem pro výše uvedenou genetickou souvislost.

Poznámka: Na vrchu Jarošov-1 je pouze mírně zvýšená radioaktivita intervalově v celém profilu račanské jednotky (viz tab. 2). Zvýšený obsah hélia 0,13 obj. % byl v plynu rozpuštěném v hlubinné vodě svrchních soláňských vrstev 3445—3438 m. Vody v profilu Jarošov-1 nejsou rádiové, zato zde byly zjištěny anomální — zatím jinde nepotvrzené — zvýšené obsahy uranu.

Obsah uranu a rádia v analyzovaných hlubinných vodách je shrnut v tabulce 3. Za rádiové se považují vody s obsahem rádia nad 10^{-11} až 10^{-10} g/l — nad 0,37 Bq/l a za uranové s obsahem uranu nad $3 \cdot 10^{-5}$ g/l.

Geochemie uhličitých vod

Výskyt oxidu uhličitého v plynech a hlubinných vodách studované oblasti je velmi omezen. V plynech volných i rozpuštěných nedosahuje více než ca 30 obj. % (Hluk). Jiná je ovšem situace v rozpuštěných plynech minerálních vod (Kvet - Michalíček 1966).

Kyselky vystupují v širokém pásmu směru JV-SZ jdoucím z bradlového pásmá napříč bělokarpatskou jednotkou, račanskou jednotkou až do karpatské předhlubně. Přívodovou cestou oxidu uhličitého jsou hlubinné zlomy směru SZ-JV zóny Hornomoravského úvalu. Tato poruchová zóna, charakterizovaná nejen výrony kyselek atd., pokračuje na Slovensko. Při sv. okraji Podunajské nížiny vyvěrají kyselky Santovka, Dudince, Malinovec a zóna pokračuje dále do Maďarska. Na druhou stranu na jejím pokračování jsou známy např. silné kyselky v širší oblasti Podčbrad atd.

V naší oblasti vystupují v této zóně slabé až velmi silné kyselky: Horná a Dolná Súča (bradlové pásmo); Predpoloma, Březová, Suchá Loz, Bánov, Záhorovice, Hluk (bělokarpatská jednotka); Rudice, Luhačovice, Pradlisko, Bohuslavice, Březnice, Malenovice, Gottwaldov - Louky, Kostelec u Gottwaldova (račanská jednotka); Kostelec u Holešova, Horní Mostěnice, Bochoř, Prusy, Tučín, Domaželice, Předmostí u Přerova (karpatská předhlubň — Hornomoravský úval).

Rozsah sycení propustných poloh v profilu uvedené zóny oxidem uhličitým původu hlubinného, postvulkanického v širším smyslu (Kvet - Michalíček 1966) není znám. Je třeba však vzít tento faktor v úvahu při oceňování perspektiv oblasti z hlediska výskytu uhlovodíků. Vzhledem k sycení kyselek

Tabuľka 4

Charakteristický chemismus

interval m	litostratigrafie	přítok	způsob odběru	odběr dne	autor	He	H ₂
Blatnička-1 823—820	MRz	plyn	z ústí	23. 8. 65	MND	0,007	0,0
Bučovice-1 813—797	Dgv-fr	vody	hl. vz.	15. 10. 65	ÚÚG	0,073	0,090
Dražovice-1 1500—1183	Kr+D(bk) Dgv+Dfr Dfr-Dfm +D(vd)	vody	pístov.	23. 10. 70	ÚÚG	0,093	0,20
738—672	D(vd)	vody	pístov.	25. 11. 71	ÚÚG	0,04	0,01
514—485	D(vd)	vody	pístov.	3. 12. 71	ÚÚG	0,008	0,016
450—418							
271—233	D(vd)	vody	pístov.	10. 12. 71	ÚÚG	0,003	1,21
Holešov-1 945—925	D	vody	hl. vz.	14. 7. 72	MND	—	stopy
Hulin-1 1450—1398	Kr	vody	na ústí	15. 11. 75	MND	—	stopy
Jarohněvice-1 1385—1380	Kr	vody	hl. vz.	20. 8. 76	ÚÚG	0,103	0,01
535—531	Ž	vody	hl. vz.	30. 8. 76	ÚÚG	0,008	0,006
Jarošov-1 4380—4575	MRz1	vody	na ústí	19. 6. 74	ÚÚG	0,015	0,094
3445—3438	MRz2	únik plynů	na ústí	6. 10. 74	ÚÚG	0,15	0,08
Koryčany-1 1753—1733	Kr	plyn	na ústí	4. 9. 78	MND	—	0,0
Kožušice-1 1233—1221	Nik	vody	na ústí	27. 8. 73	ÚÚG	0,168	0,055
Lubná-1 1559—1434	Kr+Nik	samotok vody s plynem a ropou	na ústí	12. 6. 68	ÚÚG	0,053	0,006
Lubná-3 1402—1385	P MRz	vody vody	hl. vz. hl. vz.	13. 1. 70 9. 2. 70	ÚÚG ÚÚG	0,051 0,07	0,014 0,008
772,5—756							
Lubná-4 1628—1650	Kr	vody	hl. vz.	2. 6. 70	ÚÚG	0,69	0,21
1585—1556	Nik	vody	hl. vz.	10. 6. 70	ÚÚG	0,51	0,39
Marefy-1 875—856	D(vd)	vody	hl. vz.	14. 4. 76	ÚÚG	0,092	0,028
842—823							
Morkovice-1 703—697	Nik	vody	hl. vz.	5. 2. 74	ÚÚG	0,013	0,003
692—684							
Nesvačilka-1 1512—1505	PG	vody	hl. vz.	—, 10. 55	VÚN	—	0,0
Nesvačilka-3 2483—1556	C ₁	vody	hl. vz.	3. 7. 65	ÚÚG	0,19	0,04
Nítkovice-5 854—849	D	vody s plynem	na ústí	11. 12. 74	ÚÚG	0,154	0,007

Tabuľka 4

plynú oblasti		Ar	N ₂	CO ₂	CH ₄ v obj. %	C ₂	C ₃	nC ₄	iC ₄	nC ₅	iC ₅
0,093	0,55	0	98,05	1,2	0,2	stopy	stopy	0	0		
0,049	5,94	0,022	93,58	0,001	0,001		0,0005		0	0	
0	80,66	—	19,03	0,015	0,001	—	—	—	—	—	
0	92,45	—	7,46	0,049	0,01		0,009			0,007	
0	90,05	—	9,90	0,018	0,003		0,0027			—	—
0	84,15	—	14,39	0,18	0,035		0,016			0,0009	
—	17,7	0,4	81,9	stopy	0	—	—	—	—	—	
—	11,0	0,25	88,10	0,65	stopy	—	—	—	—	—	
0	5,9	0,054	93,75	0,159	0,014	0,002	0,004	—	—		
0	3,68	0	95,98	0,234	0,072	0,005	0,014	0	—	0,002	
0	2,25	0,03	96,0	5,3	47,2*	27,9*	23,7*	32,5*	41,5*		
0	3,24	0,15	93,08	3,32	—	—	—	—	—		
—	3,4	0,2	91,8	3,4	0,8	0,2	0,15	stopy	0,05		
0	7,444	0,459	91,76	0,096	0,007		0,0006	—	—		
0,038	6,08	1,64	88,54	1,97	0,88		0,552			0,222	
0,031	1,0	—	98,5	0,3	0,031		0,014			0,006	
0,08	7,1	0,2	92,0	0,53	0,049		0,018			0,0035	
0,22	27,5	—	70,0	0,82	0,13	0,070	0,070			0,028	
0,40	12,0	0	85	0,76	0,136	0,092				0,045	
0,269	9,9	1,5	87,0	0,0003	—	—	—	—	—	—	
0,053	3,6	0,23	95,8	0,24	—	—	—	—	—	—	
—	11,6	0,3	87,3	0,8	—	—	—	—	—	—	
0,2	11,69	0	87,52	0,21	0,05		0,080			—	—
0	17,39	0,399	82,03	0,014	—	—	—	—	—	—	

* mg/l

T a b u l k a 4 (pokračování)

interval m	litostra-tigrafie	přítok	způsob odběru	odběr dne	autor	He	H ₂
Osvětimany-1							
2553—2511	Kr+MRz1	únik plynu na ústí		3. 12. 74	MND	—	0,0
2668—2635	Kr	plyn + ropa	na ústí	23. 12. 74	MND	—	0,0
2080—2070	MRz1	vody	hl. vz.	4. 4. 75	ÚÚG	0,044	0,044
2035—2029							
1650—1640	MRz2	samotok vody a plynu	hl. vz.	2. 3. 76	ÚÚG	0,04	0,1
1420—1410	MRbv	vody	hl. vz.	15. 3. 76	ÚÚG	0,047	4,32
959—950	MRz1	vody	hl. vz.	22. 4. 76	ÚÚG	0,118	0,066
Rataje-1							
1385—1366	Dgv	vody	hl. vz.	1. 7. 69	ÚÚG	0,054	—
1314—1311	N1k	vody	hl. vz.	26. 2. 69	MND	—	0,4
Rataje-2							
1900—1587	D	vody	hl. vz.	11. 6. 76	MND	—	—
Roštín-1							
1412—1405	N1k	vody	hl. vz.	20. 5. 75	ÚÚG	0,068	0,001
Rousínov-1							
1003—853	C1(k)	vody	hl. vz.	26. 5. 75	ÚÚG	0,088	0,5
853—794							
728—703	N1k	vody	hl. vz.	18. 3. 75	MND	0,082	0,22
663—650	N1b	vody	hl. vz.	25. 3. 75	ÚÚG	0,033	0,059
Slavkov-2							
1305—1291	D(bk)	vody	hl. vz.	14. 12. 64	VÚN	0,024	0,002
Stupava-1							
2240—2226	N1k	vody	na ústí proplyněné	7. 7. 72	MND	—	0,2
Švábenice-1							
2263—2245	C1—D	vody	hl. vz.	12. 12. 74	ÚÚG	0,19	0,19
607—597	C1—D	vody	hl. vz.	5. 2. 75	ÚÚG	0,077	0,13
Tlumačov-1							
2180—2169	N1k	vody	hl. vz.	22. 5. 73	MND	—	stopy
Uhřice-17							
3245—3229	gv—fr	ropy	na ústí	25. 7. 83	MND	—	0,0
Zarošice-2							
1304—1282	D(bk)	vody	hl. vz.	30. 11. 67	ÚÚG	0,004	0,066
1180—1156	N1eg	vody	hl. vz.	15. 12. 67	ÚÚG	0,002	0,309
795—785	Žpm	vody s plyinem	z ústí	21. 12. 67	MND	0,024	0,001
642—633	Žm	vody s plyinem	z ústí	5. 1. 68	MND	0,021	0,024
403—394	Žž	vody	hl. vz.	8. 2. 68	ÚÚG	0,013	0,12
Zdánice-1							
990—964	Kr	ropy	na ústí	29. 3. 74	MND	—	0,0
Hluk HW-2							
371,5—355	MBk	plynu	na ústí	1957	MND	—	stopy
Hluk-5							
441,5—386	MBk+MRz	plynu	na ústí	28. 6. 62	VÚN	0,007	stopy

Tabuľka 4

Ar	N ₂	CO ₂	CH ₄	C ₂ v obj. %	C ₃	nC ₄	iC ₄	nC ₅	iC ₅
—	4,6	0,6	85,75	5,8	2,0	0,55	0,45	0,250	
—	8,3	0,1	87,5	3,5	0,5	0,05	0,05	stopy	stopy
0,058	1,0	0,19	97,0	1,3	0,33	0,125	0,075	0,037	0,031
0	6,48	0,40	92,36	0,6	0,001	stopy	stopy	stopy	stopy
0,26 0,044	14,24 2,90	1,68 14,16	78,0 80,5	0,008 0,141	0,0001 stopy	— stopy	— stopy	— stopy	— stopy
—	25,8	—	73,2	—	—	—	—	—	—
—	12,7	—	86,9	—	—	—	—	—	—
—	66,36	—	33,64	—	—	—	—	—	—
0,043	5,3	0,90	93,0	0,21	0,049	0,008	0,016	0,002	0,003
0	28,09	—	71,31	0,01	—	—	—	—	—
—	12,83	—	86,96	0 0,012	—	—	—	—	—
0	20,98	—	78,91	—	—	—	—	—	—
0	14,12	stopy	85,58	—	—	—	—	—	—
—	18,7	1,4	78,0	1,4	0,3	stopy	stopy	—	—
0 0	76,50 60,04	—	23,0 39,75	0,12 0,01	—	—	—	—	—
—	14,51	—	84,82	0,68	stopy	—	—	—	—
—	1,50	0,40	88,05	6,40	2,40	0,55	0,40	0,15	0,15
0,044 0,017 0,01	1,288 1,1 2,043	0,40 4,849 0,2	97,93 93,53 97,38	0,038 0,049 0,256	0,006 0,006 0,106	0,0005 0,005 0,032	0,0005 0,005 0,032	0,0005 0,005 0,008	
0,047	2,298	0,146	96,29	0,229	0,017	0,003	0,003	0,001	
0,210	5,115	0,533	93,37	0,142	0,015	0,0049		0,00036	
—	1,4	0,0	97,4	0,7	0,4	0,10	—	—	
—	0,6	0,0	98,5	0,6	0,2	0,1	—	—	
0,02	12,8	29,5	56,45	1,10	0,30	0,15	—	—	

i uhlovodíkovými plyny, především metanem, není třeba přítomnost oxidu uhličitého považovat za vysloveně negativní faktor.

Již při rozboru situace plynové struktury Hluk jsem uvedl, že přívodové pásmo a pásmo sycení oxidem uhličitým je velmi úzké. Při malé propustnosti flyšových psamitů je zřejmě migrace oxidu uhličitého hlubinného původu vázána pouze na vlastní propustné poruchové pásmo. Tuto situaci na struktuře Hluk je možno brát za analogickou pro celou zónu oxidu uhličitého v plynech.

Na druhé straně však skutečnost stále probíhající migrace oxidu uhličitého i metanu (kyselky jsou silně zaplyněny metanem, který dosahuje až 80 obj. % nekyselých plynů), je negativním projevem z hlediska živěné perspektivnosti, neboť je důkazem probíhajícího odplynování kolektorů i matečných souvrství a nedostatečné hydrogeologické uzavřenosti.

Sirovodíkové a metanové vody přirozených vývěrů a studní

Výskyt četných sirovodíkových metanových minerálních vod nebo jen vod zaplyněných metanem, a to jak přirozených výronů či studničních vod, je ve studované oblasti mimo oblast vídeňské pánve mimořádně vysoký (Květ - Michalíček 1966). Sirovodíkové metanové a metanové vody jsou nejvíce zastoupeny v račanské jednotce, zatímco v bělokarpatské, bystrické i ždánické jednotce jsou výjimečné. Jejich výstup je vázán na poruchová pásma a násuvové plochy příkrovů. Výčet lokalit a vztah těchto vod ke geologické pozici vývěru, resp. studny uvádí Květ - Michalíček (1966).

I tento fakt potvrzuje spolu s četnými živěnými projevy v račanské jednotce (Plička 1958), že zde chybí krycí souvrství. Rozptýlené četné živěné projevy včetně výstupu metanových vod se zvýšeným obsahem chloridů ukazují na nedostatečnou hermetičnost a stále probíhající vylazování vod a emigraci živic z hornin profilu magurského příkrovu račanské jednotky bez krycího komplexu. Tímto krycím souvrstvím může snad být bělokarpatská a bystrická jednotka — některé faktory tento předpoklad umožňují. Význam a efekt krycího komplexu těchto jednotek pro vznik pastí v magurském příkrovu a uchování ložisek uhlovodíků, především plynů primární, ale i druhotné geneze, je však třeba ověřit hlubinnými vrty.

Litostratigrafické profily vrtů a výsledky čerpacích zkoušek

Litostratigrafické profily použitých vrtů ke studii jsou doplněny výsledky čerpacích zkoušek. Chemismus vod je uveden formou Kurlovova vzorce, kde M — mineralizace v g/l, Cl — chloridy v g/l, J — jodidy v mg/l, Br — bromidy v mg/l, B — kyselina boritá

v mg/l. Klasifikace chemismu vod podle Palmera (1941), založená na jednotkách mval %, je zde nahrazena údaji mmol . z_i %, z_i — náboj aniontu či kationtu. Uvedené symboly S₁ a S₂ odpovídají hodnotám 1. a 2. salinity, A₁ a A₂ hodnotám 1. a 2. alkalinity. Chemismus plynu je vyjádřen v obj. %, stupeň nasycení vod plyny za vrstevních podmínek koeficientem nasycení K_{nas} podle Gurevič et al. (1956).

Blatnicka-1

- 402,0 m spodní oddíl paleogénu bělokarpatské jednotky (paleocén—spodní eocén)
- 537,0 m svrchní oddíl paleogénu bělokarpatské jednotky (střední—svrchní eocén)
- 602,0 m spodní oddíl paleogénu bělokarpatské jednotky (paleocén—spodní eocén)
- 1457,0 m zlinské vrstvy račanské jednotky (střední—svrchní eocén)

Výsledky čerpacích zkoušek (pístováním):

Produkce metanového plynu z intervalu 823—820 m; kapacita 2160 m³/d, tlak na ústí 6,6 MPa, z intervalu 791—786, 775—771,5, 770—760 m; kapacita 3240 m³/d, tlak na ústí 8,1 MPa, z intervalu 106—90, 84—80 m; kapacita 384 m³/d, tlak na ústí 0,36 MPa.

Přítok vody	M 5,3 Cl 2,7	S ₁ 87,4 S ₂ 0	J 27 Br 40 B 47
		A ₁ 8,2 A ₂ 4,4	

zaplyněné metanovým plynem z intervalu 149—136, 133—119 m.

S výsledkem „bez přítoku“ byly ukončeny čerpací zkoušky z intervalů 1368,5—2364; 1220,5—1215,5; 1153,5—1148,5 m; 964—961, 947—944, 937—928,5 m; 632,5—630, 593,5 až 591 m; 249—241 m; 221,5—215, 211,5—206,5 m; 63—52.

Březůvky-1

- 101,0 m belovežské vrstvy — pestré jílovce (střední eocén)
- 299,0 m belovežské vrstvy — pestré jílovce a pískovce (spodní eocén—paleocén)
- 588,0 m svrchní solánské vrstvy — převážně pískovce (paleocén)
- 1207,0 m svrchní zlinské vrstvy — (svrchní eocén)

Výsledky čerpacích zkoušek (pístováním):

Produkce gazolinické ropy z nezapařeného intervalu vrtu 1207—946,5 m; těžba 0,2 až 0,3 m³/d.

Přeliv vody z intervalů 587—579 m; 423—409 m; 248—230 m

M 1,3 Cl 0,1	S ₁ 27,6 S ₂ 0	J 0 Br 0 B 24;
	A ₁ 67,6 A ₂ 4,8	

přítok vody z intervalu 350—330 m.

S výsledkem „bez přítoku“ byly ukončeny čerpací zkoušky intervalů 930—921 m; 896 až 889 m; 747—742 m; 645—630 m.

Bučovice-1

- 440,0 m ždánicko-hustopečské vrstvy
- 490,0 m menilitové vrstvy
- 591,5 m podmenilitové vrstvy
- 1027,0 m vápence — dolomity (givet—frasn)
- 1057,0 m tmavé jílovité vápence (givet—frasn)
- 1121,5 m krystalinikum — amfibolicko-biotitický granodiorit

Výsledky čerpacích zkoušek (pístováním):

Z nezapařeného intervalu vrtu 1121—848,9 m silný přítok vody

M 5,5 Cl 2,5	S ₁ 82,8 S ₂ 0	J 4 Br 14 B 32; z intervalu 813—797 m slabý přítok vody
	A ₁ 8,2 A ₂ 9,0	

$$M\ 5,5\ Cl\ 2,5 \quad \frac{A_1\ 12,0\ A_2\ 7,0}{S_1\ 81,4\ S_2\ 0} \quad J\ 4\ Br\ 15\ B\ 136$$

téměř nasycené metanovým plynem — K_{nas} 0,72. Z intervalu 627—606, 602—599 m slabý přítok vody M 5,3 Cl 2,4 $\frac{S_1\ 80,4\ S_2\ 0}{A_1\ 16,6\ A_2\ 3,0}$ J 9 Br 13 B 68

silně nasycené metanovým plynem. Z intervalů 388—383, 351,5—338 m; 316—307, 292,5 až 284, 269—263 m; 201—187,5 m přítoky vod o

$$M\ 1,7—2,2\ Cl\ 0,02—0,2 \quad \frac{S_1\ 40,0—61,0\ S_2\ 0}{A_1\ 31,2—55,8\ A_2\ 4,2—7,8} \quad J\ 0\ Br\ 0\ B\ 39—120.$$

S výsledkem „bez přítoku“ byly ukončeny čerpací zkoušky z intervalů 754—725,5 m; 555—551 m; 490—479, 476—471 m; 128—124 m.

Dražovice - 2

- 144,0 m pelity lanzendorfské série (baden)
- 175,0 m bazální klastika spodního badenu
- 232,5 m spodní karbon (kulmská facie) — tmavé břidlice (myslejovické souvrství)
- 730,0 m říčské vápence (hádská facie) — v intervalu 445,0—474,0 m kvarcity
- 785,0 m křtinské vápence (frasn—famen) — v intervalu 730,0—741,5 m kvarcity
- 1025,0 m vápence a dolomity (frasn)
- 1347,5 m vápence a dolomity (givet—frasn)
- 1380,5 m bazální klastika devonu
- 1500,0 m krystalinikum — diority

Výsledky čerpacích zkoušek (pístováním):

Z nezapaženého intervalu 1500—1183 m a ze všech dalších zkoušených intervalů 1160 až 1146, 1093—1087, 1083—1062 m; 980—955 m; 738—719, 707—672 m; 514—485, 450—418 m; 271—233 m; 175—147 m mimo největší interval 175—147 m přítok vod chemismu

$$M\ 1,1—1,6\ Cl\ 0,1—0,3 \quad \frac{S_1\ 26,2—49,0\ S_2\ 0}{A_1\ 20,8—59,0\ A_2\ 14,8—35,6} \quad J\ 0\ Br\ 0\ B\ 0—52,8.$$

$$\text{Voda intervalu 175—147 m: } M\ 1,2\ Cl\ 0,2 \quad \frac{S_1\ 54,6\ S_2\ 7,0}{A_1\ 0\ A_2\ 38,4} \quad J\ 0\ Br\ 0\ B\ 6,4.$$

Vody jsou slabě syceny dusíkovými plyny (N_2 59,12—92,45 %).

Holešov - 1

- 272,0 m podmenilitové vrstvy
- 728,0 m karpat
- 907,0 m vápence a dolomity devonu
- 924,0 m krystalinikum (diority)
- 995,0 m vápence a dolomity devonu
- 1050,0 m krystalinikum (diority)

Výsledky čerpacích zkoušek (pístováním):

Zkoušené intervaly 1047—979 m; 945—925 m; 844—824 m; 785—766,5 m; 725—716,5 m jsou zvodněny vodami o

$$M\ 4,3—5,2\ Cl\ 2,1—2,6 \quad \frac{S_1\ 84,8—91,2\ S_2\ 0}{A_1\ 5,4—9,8\ A_2\ 2,6—5,4} \quad J\ 3—4\ Br\ 12—21\ B\ 33,6—52,0$$

značně nasycené metanovými plyny (K_{nas} 0,24—0,39).

S výsledkem „bez přítoku“ byly skončeny čerpací zkoušky intervalů 900—885 m; 269 až 250,5 m.

Hulín - 1

- 186,0 m pleisto-pliocén
- 840,0 m ždánicko-hustopečské vrstvy
- 870,0 m podmenilitové vrstvy
- 1105,0 m oligomiocenní vrstvy pouzdřanské jednotky
- 1390,0 m karpat
- 1450,0 m krystalinikum — metamorfity

Výsledky čerpacích zkoušek (tyčovým testerem):

Z nezapaženého intervalu vrtu 1450—1398,4 m přítok vody o

M 17,5 Cl 9,8 S₁ 89,6 S₂ 9,2
 A₁ 0 A₂ 1,2 J 29 Br 86 B 108

zaplyněné metanovým plynem, z intervalu 1422—1398,6 m přítok vody o

M 12,4 Cl 6,8 S₁ 91,4 S₂ 3,2
 A₁ 0 A₂ 5,4 J 18 Br 46 B 176 zaplyněné metanovým plynem.

Jarohněvice - 1

- 800,0 m ždánická jednotka
- 1379,0 m karpat
- 1420,0 m krystalinikum (metamorfity)

Výsledky čerpacích zkoušek:

Z nezapaženého vrtu 1417—1384 m zkoušeného tyčovým testerem přítok vody proplyněné

metanovým pylem M 6,9 Cl 3,7 S₁ 92,6 S₂ 0
 A₁ 1,6 A₂ 5,8 J 11 Br 29 B 32.

Přistováním byly zkoušeny další tři intervaly a byly vždy docíleny přítoky vod nevysoko sycených metanovým pylem. Voda intervalu 1385—1380 m má

M 7,5 Cl 4,2 S₁ 94,6 S₂ 1,0
 A₁ 0 A₂ 4,4 J 14 Br 37 B 56,

intervalu 809—798 m M 21,4 Cl 12,7 S₁ 89,0 S₂ 9,8
 A₁ 0 A₂ 1,2 J 52 Br 123 B 28.

Voda intervalu 535—531 m M 16,5 Cl 9,5 S₁ 92,6 S₂ 4,6
 A₁ 0 A₂ 2,8 J 23 Br 21 B 20.

Jarošov - 1

- 703,0 m spodní zlínské vrstvy (střední eocén)
- 917,0 m belověžské vrstvy (spodní eocén)
- 2700,0 m svrchní zlínské vrstvy (svrchní eocén—spodní oligocén)
- 2975,0 m spodní zlínské vrstvy (střední eocén)
- 3070,0 m belověžské vrstvy (spodní—střední eocén)
- 3604,0 m svrchní soláňské vrstvy (paleocén—spodní eocén)
- 5533,0 m spodní soláňské vrstvy (cenoman—maastricht)
- 5578,0 m spodní soláňské vrstvy (spodní flyšový komplex) (svrchní alb)

Výsledky čerpacích zkoušek:

Interval 5021,5—4600 m zkoušen testerem — bez přítoku. Interval 4595—4590, 4580 až 4575 m zkoušen testerem — slabý únik metanového plynu, přítok vody o

M 13,8 Cl 3,9 S₁ 64,8 S₂ 0
 A₁ 30,6 A₂ 4,6 J 11 Br 16 B —,

proplyněného výplachu, ropy. Interval 4595—4590, 4580—4575, 4571—4545 m zkoušen testerem — přítok proplyněného výplachu s ropou. Interval 3445—3438 m zkoušen testerem — slabý únik metanového plynu s vysokým obsahem vyšších homologů metanu. Inter-

val 3320—3308, 3274—3264 m zkoušen testerem — přítok výplachu. Interval 3274—3264, 3251—3237, 3215—3208 m zkoušen testerem — přítok vody silně nasycené metanovým plyinem s vysokým obsahem vyšších homologů metanu; chemismus vody

M 16,5 Cl 7,3 $\frac{S_1 81,2 S_2 0}{A_1 16,2 A_2 2,6}$ J 11 Br 17 B —,

Pokus opakován — přítok vody s výplachem o

M 14,6 Cl 7,4 $\frac{S_1 89,4 S_2 0}{A_1 7,6 A_2 2,8}$ J 14 Br 20 B —.

Interval 3127—3073 m zkoušen testerem — přítok vody silně proplyněné metanovým plyinem (K_{nas} 0,94) o M 17,1 Cl 7,2 $\frac{S_1 79,0 S_2 0}{A_1 17,4 A_2 3,6}$ J 14 Br 16 B —.

Interval 2954—2948, 2927—2923, 2919—2916, 2905—2897 m zkoušen testerem — přítok vody proplyněné metanovým plyinem (K_{nas} 0,60). Stejný interval zkoušen těžebními trubkami s pakrem pístováním — přítok vody s metanovým plyinem, tlak na ústí 0,45 MPa, chemismus vody M 18,5 Cl 8,2 $\frac{S_1 84,8 S_2 0}{A_1 13,4 A_2 1,8}$ J 16 Br 31 B —.

přechodně přetok. Interval 2640—2597 m zkoušen testerem — slabý únik metanového plynu s vysokým obsahem vyšších homologů metanu. Interval 2640—2597 m zkoušen těžebními trubkami s pakrem — slabý únik metanového plynu s vysokým obsahem vyšších homologů metanu, stopy ropy, tlak na ústí 0,38 MPa. Interval 2461—2456, 2426—2417, 2356 až 2349 m zkoušen těžebními trubkami pístováním — intervalový přetok vody s emulzí ropy a plyinem; tlak na ústí mezikruží 1,8, na ústí těžebních trubek 0,6 MPa; kapacita 10 160 m³/d; chemismus vody M 35,4 Cl 19,3 $\frac{S_1 69,0 S_2 27,8}{A_1 0 A_2 3,2}$ J 22,8 Br 32,1 B 108.

Interval 2356—2349 m zkoušen pístováním — slabý únik metanového plynu s mimořádně vysokými obsahy vyšších homologů metanu (CH_4 83,4; C_2H_6 6,4; C_3H_8 4,2; n-C₄H₁₀ 1,1; i-C₄H₁₀ 0,88; n-C₅H₁₂ 0,29; i-C₅H₁₂ 0,44), v technické vodě stopy ropy, tlak na ústí mezikruží 1,6, na ústí těžebních trubek 1,55 MPa. Interval 2157—2150 zkoušen pístováním — slabý přítok výplachu s pěnou ropy, slabý únik metanového plynu; tlak na ústí mezikruží 1,9, na ústí těžebních trubek 1,4 MPa. Interval 2134—2126 zkoušen pístováním — přítok vody se stopami ropy, slabý únik metanového plynu; tlak na ústí mezikruží 8,0, na ústí těžebních trubek 7,8 MPa. Po přestavce přetok ropy a pak plynu, po odpuštění plynu přítok vody s ropou přesycenou metanovým plyinem (K_{nas} 2,6—ca 9,4); tlak na ústí 0,8 MPa, kapacita 680 m³/d, chemismus vody M 14,3 Cl 6,8 $\frac{S_1 86,0 S_2 0}{A_1 12,8 A_2 1,2}$ J 16,6 Br 30 B —.

Interval 2051—2044, 2038—2017 m zkoušen pístováním — přítok vody přesycené metanovým plyinem (K_{nas} 2,0) se stopami ropy o

M 15,2 Cl 7,8 $\frac{S_1 90,2 S_2 0}{A_1 8,6 A_2 1,2}$ J 19 Br 29 B —.

Interval 1785—1777, 1746—1723, 5, 1714—1707 m zkoušen pístováním — přítok vody značně nasycené metanovým plyinem s vysokým obsahem vyšším homologů metanu; chemismus vody M 16,6 Cl 9,2 $\frac{S_1 95,4 S_2 0}{A_1 4,2 A_2 0,4}$ J 27 Br 51 B 84.

Interval 1542—1535, 1505—1497 m zkoušen pístováním — přítok vody s výplachem bez stop ropy. Interval 1392—1386 m zkoušen pístováním — bez přítoku. Interval 936—927 m zkoušen pístováním — bez přítoku.

J e ž o v - 1

— 87,0 m panon

- 330,0 m svrchní sarmat
- 692,0 m střední (?) a spodní (?) sarmat
- 1650,0 m zlinské souvrství
- 1810,0 m belovežské vrstvy
- 1935,0 m svrchní solánské vrstvy
- 3223,0 m spodní solánské vrstvy
- 3897,0 m čejčsko-zaječická série
- 3404,0 m střední—svrchní eocén?
- 2740,0 m střední—svrchní oligocén?
- 3897,0 m paleocén

Výsledek čerpacích zkoušek:

Testerem prováděně čerpací zkoušky intervalů v hloubce 3450—1202 m poskytly přítoky ropy nebo metanového plynu: z intervalu 3450—3437, 3424—3414 m přítok ropy s plynum: kapacita 189 m³ plynu/d; těžba ropy 2,09 m³/d, z intervalů 3378—3366 m, 2979 až

2966 m M 16,8 S₁ 89,4 S₂ 0 J 28 Br 37 B 37,
 A₁ 7,4 A₂ 3,2

2884—2874 m přítok vody s plynum,

z intervalu 2770—2760 přítok vody s ropou a plynum; kapacita 52,8 m³ plynu/d; voda o
 M 13,4 S₁ 87,8 S₂ 0 J 13 Br 21 B —,
 A₁ 9,6 A₂ 2,6

z intervalů 2530—2515, 2289—2272, 1212—1202 m přítok proplyněného výplachu. Přítok vody byl docílen při čerpacích zkouškách pístováním z intervalů: 650—642 m — voda o

M 5,3 S₁ 73,4 S₂ 0 J 8 Br 13 B —;
 A₁ 25,4 A₂ 1,2

577—568 m — voda o M 2,5 S₁ 48,2 S₂ 0 J 2 Br 1 B —;
 A₁ 49,6 A₂ 2,2

208—183 m — voda o M 2,4 S₁ 69,2 S₂ 0 J 4 Br 4 B —;
 A₁ 28,4 A₂ 2,4

„Bez přítoku“ skončila čerpací zkouška intervalu 1599—1584 m.

Jezov - 2

- 370,0 m panon
- 1700,0 m račanská jednotka — svrchní zlinské vrstvy
- 2015,0 m spodní komplex račanské jednotky, v intervalech 1884,0—1889,0 m valangin—barrem (hlucký typ), 1968,0—1972,0 m nejvyšší jura—berrias, sešupnatělá s eze
- 2148,0 m ždánická jednotka — podmenilitové vrstvy (e2)
- 2240,0 m autochtonní paleogén
- 2558,0 m jura—peliticko-karbonátový vývoj
 - 2240,0—2515,0 m mikulovské slínovce
 - 2515,0—2558,0 m nikolčické vrstvy
- 2775,0 m devon — bazální klastika (netypický vývoj)
- 2825,0 m krystalinikum — metamorfika, biotitické pararuly
- 3000,0 m krystalinikum — biotiticko-amfibolické křemenné diority

Výsledek čerpacích zkoušek (tyčovým testerem):

Interval 3000—2918 m (nezapažená část vrtu) — bez přítoku. Interval 2569—2511,3 m (nezapažená část vrtu) — přítok vody proplyněné metanovým plynem o

M 27,9 S₁ 93,0 S₂ 3,0 J 115 Br 126 B 96.
 A₁ 0 A₂ 5,0

Interval 2810—2780 m — velmi slabý únik metanového plynu.

K o b e ř i c e - 2

- 635,0 m ždáňsko-hustopečské vrstvy (eger)
- 638,0 m menilitové vrstvy (spodní oligocén)
- 1024,0 m podmenilitové vrstvy (střední až svrchní eocén)
- 1091,0 m spodní miocén (karpat ?)
- 1865,0 m karbon, kulmský vývoj (svrchní visé—namur A?)
- 1900,0 m devon, karbonátý (frasn)

V ý s l e d k y č e r p a c í c h z k o u š e k (pístováním):

Produkce metanového plynu z intervalů 1065—1063, 1058—1053 m (kapacita 4864 m³/d); slabý až velmi slabý přítok vody zaplyněné metanovým plynem při čerpacích zkouškách z intervalů: 1880—1865 m — voda o M 23,9 $\frac{S_1 63,4 \ S_2 35,2}{A_1 0 \ A_2 1,4}$ J 20 Br 63 B 36,

1789,5—1781 m — voda o M 15,1 $\frac{S_1 91,0 \ S_2 7,4}{A_1 0 \ A_2 1,6}$ J 11 Br 42 B 0,

1084,5—1079,5 m — voda o M 15,2 $\frac{S_1 94,6 \ S_2 3,8}{A_1 0 \ A_2 1,6}$ J 23 Br 50 B 56.

Silný přítok vody o M 20,1 $\frac{S_1 92,0 \ S_2 4,0}{A_1 0 \ A_2 4,0}$ J 27 Br 67 B 40

sycené metanem z intervalu 1104—1094 m.

K o b y l i - 1

- 702,0 m čejšsko-zaječická zóna
- 1444,0 m ždáňsko-hustopečské vrstvy
- 1504,0 m menilitové vrstvy
- 2897,0 m ždáňsko-hustopečské vrstvy
- 3113,0 m podmenilitové vrstvy
- 3131,0 m pouzdřanská jednotka (oligomiocén)
- 3135,0 m podmenilitové vrstvy
- 4351,0 m jura — peliticko-karbonátový vývoj, mikulovské slínovce

V ý s l e d k y č e r p a c í c h z k o u š e k (tyčovým testerem):

Přítoky ropy a metanového plynu s anomálně vysokým podílem vyšších homologů metanu (neměřitelné produkce) byly zjištěny při zkoušení intervalů 4351—4324 (nezapažená část vrtu), 4324—4273,4 (perforovaná kolona); 3932—3916; 3459—3436,5; 3350—3346,5; 3342,5 až 3332,5; 3305—3290; 3212,5—3201; 3152,5—3138; 2779—2761 (pístování); 2753—2748, 2731,5 až 2727 m. Z intervalu 3129—3112,5 m přítok ložiskové vody o

M 27,6 $\frac{S_1 90,2 \ S_2 0}{A_1 4,0 \ A_2 5,8}$ J 143 Br 97 B —,

s emulzí ropy a plynu; tlak na ústí 0,9 MPa, kapacita ca 100 m³/d.

Přítoky vod proplyněných metanovým plynem z intervalů 2320—2310 m — voda o

M 6,5 $\frac{S_1 85,8 \ S_2 0}{A_1 11,0 \ A_2 3,2}$ J 8 Br 9 B —,

1992,5—1986 m — voda o M 7,7 $\frac{S_1 88,8 \ S_2 0}{A_1 9,2 \ A_2 2,0}$ J 11 Br 17 B —.

Přítoky vod byly zjištěny dále z intervalů zkoušených pístováním: 1647—1637, 1634 až

1626 m — voda o M 6,6 $\frac{S_1 77,2 \ S_2 0}{A_1 18,4 \ A_2 4,4}$ J 9 Br 13 B —,

1313—1304 m — voda o M 5,2 $\frac{S_1 73,2 \ S_2 0}{A_1 19,4 \ A_2 7,4}$ J 6 Br 6 B —,

1093—1075 m — voda o	M 5,7	$\frac{S_1 \ 81,4 \ S_2 \ 0}{A_1 \ 16,0 \ A_2 \ 2,6}$	J 9 Br 7 B —,
1023—1017,5 m — voda o	M 5,7	$\frac{S_1 \ 84,2 \ S_2 \ 0}{A_1 \ 13,6 \ A_2 \ 2,2}$	J 8 Br 7 B —.

Voda byla proplyněna metanovým plynem; tlak na ústí 2,4 MPa.

S výsledkem „bez přítoku“ byla ukončena čerpací zkouška intervalu 2955—2930 m.

Koryčany - 1

- 120,0 m svrchní soláňské vrstvy
- 1123,0 m spodní soláňské vrstvy
- 1484,0 m ždánicko-hustopečské vrstvy
- 1675,0 m menilitové vrstvy
- 1729,0 m podmenilitové vrstvy
- 1800,0 m krystalinikum

Výsledky čerpací zkoušky (pístováním):

Z intervalu 1753—1733 m přítok metanového gazolinického plynu; tlak na ústí 13,0 MPa, kapacita 66 300 m³/d.

Kožušice - 1

- 1015,0 m ždánicko-hustopečské vrstvy
- 1028,0 m menilitové vrstvy (?)
- 1176,0 m podmenilitové vrstvy
- 1287,0 m karpat — ojediněle s polohami slepenců
- 1303,0 m krystalinikum — biotitický granodiorit

Interval nezapažené části vrtu 1303—1293,73 a perforované kolony 1293,73—1272,63 m zkoušen pístováním — přítok vody o M 8,6 Cl 4,5 $\frac{S_1 \ 90,6 \ S_2 \ 0}{A_1 \ 7,8 \ A_2 \ 1,6}$ J 6 Br 23 B 63

nevysoce nasycené metanovým plynem ($K_{nas} 0,29$).

Interval 1267—1256 m zkoušen pístováním — přítok vody o

M 12,4 Cl 6,3 $\frac{S_1 \ 88,6 \ S_2 \ 0}{A_1 \ 9,0 \ A_2 \ 2,4}$ J 13 Br 40 B 30

značně nasycené ($K_{nas} 8,0$ /sloupec vody 800 m) metanovým plynem téměř bez obsahu vyšších homologů metanu. Interval 1233—1221 m zkoušen pístováním — přítok vody o

M 18,2 Cl 9,6 $\frac{S_1 \ 91,6 \ S_2 \ 0}{A_1 \ 4,8 \ A_2 \ 3,6}$ J 20 Br 62 B 45

nasycené metanovým plynem ($K_{nas} 0,95$). Interval 1214,5—1209,5 m zkoušen pístováním

— přítok vody o M 18,6 Cl 9,9 $\frac{S_1 \ 91,6 \ S_2 \ 0}{A_1 \ 5,0 \ A_2 \ 3,4}$ J 20 Br 63 B 48

nasycené metanovým plynem. Interval 1188—1184,5, 1178,5—1175 m zkoušen pístováním

— přítok vody o M 18,7 Cl 10 $\frac{S_1 \ 92,0 \ S_2 \ 0}{A_1 \ 4,4 \ A_2 \ 3,6}$ J 24 Br 65 B 70

přesycené metanovým plynem ($K_{nas} 1,15$). Interval 916,5—901 m zkoušen pístováním — přítok vody. Interval 881—874, 870—863 m zkoušen pístováním — přítok vody.

Kožušice - 3

- 254,0 m ždánicko-hustopečské vrstvy
- 353,0 m podmenilitové vrstvy
- 838,0 m karpat
- 870,0 m krystalinikum — granodiority

Výsledky čerpacích zkoušek:

Přetok vody (nereprezentativního chemismu) s metanovým plynem (tlak na ústí 0,6 MPa) při zkoušení intervalu 324–319 m pístováním. Interval 848–838 m zkoušený pístováním

— slabý přítok vody o M 20,0 Cl 11,6 S₁ 92,2 S₂ 5,8 J 53 Br 85 B 20.
A₁ 0 A₂ 2,0

Interval 714–706 m zkoušený pístováním — přítok vody o

M 22,1 Cl 13,0 S₁ 90,2 S₂ 8,0 J 60 Br 96 B 28.
A₁ 0 A₂ 1,8

Interval 278,5–272,5 m zkoušený pístováním — slabý přítok vody o

M 21,7 Cl 12,9 S₁ 88,0 S₂ 10,4 J 29 Br 79 B —.
A₁ 0 A₂ 1,6

S výsledkem „bez přítoku“ byly ukončeny čerpací zkoušky testerem z nezapažené části vrtu — intervaly 860–846,5, 864–841,35 m.

Kožušice - 4

- 588,0 m ždánicko-hustopečské vrstvy
- 697,0 m menilitové vrstvy
- 693,0 m podmenilitové vrstvy
- 960,0 m karpat
- 1032,0 m karpat — bazální klastika
- 1085,0 m krystalinikum

Výsledky čerpacích zkoušek (pístováním):

Produkce metanového plynu z intervalu 949–942 m; tlak na ústí 8,2 MPa, kapacita 25 300 m³/d. Z intervalu 971–962 m přetok vody o

M 8,8 S₁ 88,0 S₂ 0 J 7 Br 22 B 56,
A₁ 9,0 A₂ 3,0

z intervalu 1042–1027 m slabý přítok vody o

M 6,7 S₁ 95,6 S₂ 0 J 7 Br 16 B —.
A₁ 4,0 A₂ 0,4

Vody jsou syceny metanovým plynem.

S výsledkem „bez přítoku“ byly ukončeny čerpací zkoušky intervalu 1010–998 m a 1047 až 1006,5 m (zkoušeno v průběhu vrtání testerem).

Kroměříž - 1

- 65,0 m pliocén
- 1080,0 m karpat
- 1148,0 m krystalinikum

Výsledky čerpacích zkoušek (pístováním):

Silný přítok vody proplyněné metanovým plynem z intervalů 531–525 m — voda o

M 14,8 S₁ 89,8 S₂ 5,0 J 38 Br 71 B 32;
A₁ 0 A₂ 5,2

Tlak na ústí 2 MPa, kapacita max. 447 m³/d, 574–562,5 — voda o

M 9,3 S₁ 92,4 S₂ 4,2 J 19 Br 39 B 0,
A₁ 0 A₂ 3,4

1085–1075 m — voda o M 8,5 S₁ 93,0 S₂ 3,6 J 16 Br 35 B 0.
A₁ 0 A₂ 3,4

Přítok vody slabě proplyněné metanem o M 6,0 S₁ 95,6 S₂ 0,2 J 9 Br 18 B 0.
A₁ 0 A₂ 4,2

v průběhu vrtání při zkoušce intervalu 1114–1092 m testerem.

L u b n á - 1

- 102,0 m svrchní soláňské vrstvy
- 220,0 m zlinské vrstvy okrajového synklinálního pásma
- 661,0 m spodní soláňské vrstvy
- 718,0 m svrchnokřídové vrstvy (frýdecký typ)
- 1043,0 m ždánicko-hustopečské vrstvy
- 1070,0 m podmenilitové vrstvy (střední—svrchní eocén)
- 1400,0 m oligomiocenní převážně jílovcové vrstvy s vložkami a polohami pevných a polozpevnělých pískovců (flyšový vývoj — pouzdřanská jednotka)
- 1450,0 m karpat
- 1560,0 m krystalinikum — růžová až červená žula (Český masív)

Výsledky čerpacích zkoušek :

Z intervalu 1559,5—1434,76 m přetok emulze ropy s metanovým plynem. Tlak na ústí těžebních trubek 7,5, na ústí mezikruží 11,0 MPa. Těžba ropy 59,5 m³/d. Voda o

M 13,6 Cl 7,7 $\frac{S_1 \ 91,0 \ S_2 \ 4,4}{A_1 \ 0 \ \ A_2 \ 4,6}$ J 5 Br 38 B 45.

L u b n á - 2

- 80,0 m svrchní soláňské vrstvy
- 350,0 m spodní soláňské vrstvy
- 426,0 m svrchní křída (maastricht)
- 972,0 m ždánicko-hustopečské vrstvy
- 1077,0 m podmenilitové vrstvy
- 1140,0 m svrchní křída tmavošedá (kampán—maastricht)
- 1439,0 m oligomiocenní vrstvy převážně jílovcové (pouzdřanská jednotka)
- 1870,0 m karpat
- 1928,0 m krystalinikum — růžová až červená žula

Výsledky čerpacích zkoušek (pístováním) :

Interval 1925—1856,43 m — přítok vody značně nasycené metanovým plynem ($K_{nas} 0,44$) o

M 13,1 Cl 7,6 $\frac{S_1 \ 91,0 \ S_2 \ 6,2}{A_1 \ 0 \ \ A_2 \ 2,8}$ J 4 Br 38 B 36.

Interval 1865—1858 m — přítok vody značně nasycené metanovým plynem ($K_{nas} 0,46$) o

M 14,2 Cl 8,1 $\frac{S_1 \ 90,6 \ S_2 \ 6,4}{A_1 \ 0 \ \ A_2 \ 3,0}$ J 4 Br 42 B 56.

Interval 1845—1840 m — přítok vody c M 15,1 Cl 8,3 $\frac{S_1 \ 94,6 \ S_2 \ 0}{A_1 \ 1,6 \ \ A_2 \ 3,8}$ J 6 Br 36 B 56.

Interval 866,5—859 m — přítok vody slabě sycené metanovým plynem o

M 7,4 Cl 3,7 $\frac{S_1 \ 89,2 \ S_2 \ 0}{A_1 \ 8,6 \ \ A_2 \ 2,2}$ J 6 Br 13 B —.

Interval 844,5—838,5 m — přítok vody slabě sycené metanovým plynem o

M 5,6 Cl 2,8 $\frac{S_1 \ 91,0 \ S_2 \ 0}{A_1 \ 6,4 \ \ A_2 \ 2,6}$ J 6 Br 17 B 52.

Interval 751—742 m — přítok vody slabě sycené metanovým plynem o

M 9,5 Cl 4,8 $\frac{S_1 \ 89,2 \ S_2 \ 0}{A_1 \ 8,4 \ \ A_2 \ 2,4}$ J 6 Br 24 B —.

S výsledkem „bez přítoku“ byly ukončeny čerpací zkoušky intervalů 1835—1830; 1054,5 až 1042,5; 806—801 m.

L u b n á - 3

- 698,0 m spodní solánské vrstvy
- 725,0 m belovežské vrstvy
- 924,0 m zlinské vrstvy okrajového synklinálního pásmo
- 1145,0 m spodní solánské vrstvy
- 1164,0 m belovežské vrstvy
- 1270,0 m spodní solánské vrstvy
- 1340,0 m podmenilitové vrstvy se zavrásněným útržkem ždánicko-hustopečských vrstev
- 1520,0 m oligomiocenní vrstvy (pouzdřanská jednotka)
- 1580,0 m karpat
- 1658,0 m krystalinikum — růžová až masově červená žula

V ý s l e d k y č e r p a c í c h z k o u š e k (pístováním):

Přítok vody nasycené metanovým plynem se stopami ropy (K_{nas} 7,0/sloupec vody 721 m) z intervalu 1402—1385 m — chemismus vody

M 23,0 Cl 11,1	S ₁ 86,0 S ₂ 0 A ₁ 3,8 A ₂ 10,2	J 28 Br 94 B 52.
----------------	--	------------------

Z nezapažené části vrtu a perforované kolony z intervalu 1658—1655,5 m přítok vody značně nasycené metanovým plynem (K_{nas} 0,5) o

M 12,5 Cl 6,9	S ₁ 94,4 S ₂ 0 A ₁ 0,8 A ₂ 4,8	J 4 Br 29 B 40.
---------------	---	-----------------

Z intervalu 1600—1565,5 m přítok vody značně nasycené metanovým plynem (K_{nas} 0,52) o

M 12,3 Cl 6,8	S ₁ 94,0 S ₂ 0 A ₁ 2,0 A ₂ 4,0	J 6 Br 28 B 41.
---------------	---	-----------------

Z intervalu 1590—1579 m přítok vody o M 11,3 Cl 6,4 S₁ 96,6 S₂ 0
A₁ 2,6 A₂ 0,8 J 5 Br 33 B 56,

z intervalu 772,5—756 m přítok vody o M 24,5 Cl 13,5 S₁ 94,0 S₂ 0
A₁ 2,0 A₂ 4,0 J 24 Br 87 B 52

S výsledkem „bez přítoku“ byly ukončeny čerpací zkoušky z intervalů 1490—1483,5; 1445 až 1435; 1315,5—1305; 886—870; 260—247,5 m.

L u b n á - 4

- 547,0 m spodní solánské vrstvy
- 876,0 m pestré zelené a zelenošedé, rudohnědé jílovce — zdouněcká nebo ždánická jednotka (?)
- 1550,0 m karpat
- 1628,0 m krystalinikum — silně rozpukané růžové žuly

V ý s l e d k y č e r p a c í c h z k o u š e k :

Produkce metanového plynu byla zjištěna z intervalů zkoušených těžebními trubkami s pakrem: 1018—1015 m — tlak na ústí 4,4—6,7 MPa — kapacita 16 000—30 000 m³/d; 992,5—989,5 m, 985—981 m — tlak na ústí 7,3 MPa — kapacita 9000 m³/d; 904—899,5 m — kapacita 50 m³/d. Změřená kapacita sondy při otevření všech produktivních intervalů činila 15 000 m³/d, tlak na ústí 6,6 MPa.

Interval nezapažené části vrtu + perforované kolony 1628—1550,42 m zkoušen pístováním

— přítok vody o M 44,3 Cl 27,1	S ₁ 60,0 S ₂ 40,0 A ₁ 0 A ₂ 0	J 12 Br 110 B 124.
--------------------------------	--	--------------------

Voda je téměř nasycena (K_{nas} 0,82) metanovým héliosním plynem (CH₄ 74,8, He 0,52 %) se zvýšeným obsahem dusíku (N₂ 23,1 %). Interval 1533,5—1527,5 m zkoušený těžebními

trubkami s pakrem — přítok vody o M 46,9 Cl 28,5	S ₁ 59,8 S ₂ 40,0 A ₁ 0 A ₂ 0,2	J 14 Br 131 B 132;
--	--	--------------------

voda je téměř nasycena (K_{nas} 0,82) metanovým héliosním plynem (CH_4 76,0, He 0,38 %) se zvýšeným obsahem dusíku (N_2 20,7 %). Interval 1513,5—1506,5 m zkoušený těžebními trubkami a pakrem — přítok vody o

$$M \ 12,8 \ Cl \ 6,4 \ \frac{S_1 \ 89,4 \ S_2 \ 0}{A_1 \ 4,4 \ A_2 \ 6,2} \ J \ 27 \ Br \ 48 \ B \ 82.$$

Voda je nasycena metanovým héliosním plynem (CH_4 86,0, He 0,25 %) se zvýšeným obsahem dusíku (N_2 9,0 %). Vyhodnocený koeficient nasycení K_{nas} 1,5/sloupec vody 163 m.

M a r e f y - 1

- 336,0 m ždánicko-hustopečské vrstvy
- 370,0 m šitbořické vrstvy
- 375,0 m menilitové vrstvy
- 480,0 m podmenilitové vrstvy
- 1027,0 m jažánecké vápence — vápence a dolomity devonu
- 1035,0 m jílovité vápence devonu
- 1040,0 m bazální klastika devonu
- 1081,0 m krystalinikum — granodiority

V ý s l e d k y č e r p a c i c h z k o u š e k :

Interval nezapažené části vrtu 1081—1017,45 m zkoušený pístováním — přítok vody o

$$M \ 5,2 \ Cl \ 3,0 \ \frac{S_1 \ 96,8 \ S_2 \ 0,8}{A_1 \ 0 \ A_2 \ 2,4} \ J \ 4 \ Br \ 20 \ B \ 12,$$

voda téměř nasycena metanovým plynem (K_{nas} 0,9). Interval 890—849,87 m zkoušený tyčovým testerem — přítok vody o $M \ 4,0 \ Cl \ 1,5 \ \frac{S_1 \ 71,4 \ S_2 \ 0}{A_1 \ 21,4 \ A_2 \ 7,2} \ J \ 3 \ Br \ 6 \ B \ 16$.

Interval 875—856, 842—823 m zkoušený pístováním — přítok vody o

$$M \ 4,0 \ Cl \ 1,5 \ \frac{S_1 \ 73,2 \ S_2 \ 0}{A_1 \ 29,6 \ A_2 \ 6,2} \ J \ 3 \ Br \ 9 \ B \ —,$$

Voda nevysoce nasycena metanovým plynem (K_{nas} 0,21). Interval 535—480 m zkoušený pístováním — přítok vody o $M \ 3,8 \ Cl \ 1,5 \ \frac{S_1 \ 72,8 \ S_2 \ 0}{A_1 \ 17,6 \ A_2 \ 9,6} \ J \ 3 \ Br \ 9 \ B \ 12$.

Voda téměř nasycena metanovým plynem (K_{nas} 1,6/sloupec vody 147 m). Interval 405 až 396 m zkoušený pístováním — přítok vody o

$$M \ 3,9 \ Cl \ 1,3 \ \frac{S_1 \ 66,4 \ S_2 \ 0}{A_1 \ 31,8 \ A_2 \ 1,8} \ J \ 4 \ Br \ 9 \ B \ —.$$

M ē n í n - 1

- 40,0 m spodní baden — morav
- 403,0 m devon — vápence a dolomity (givet—sp. frasn?)
- 2100,0 m devon — bazální klastika (eifel—givet?)

V ý s l e d k y č e r p a c i c h z k o u š e k :

Přítok vody s neměřitelným množstvím ropy při čerpacích zkouškách pístováním z intervalů

$$75—55 \text{ m} — \text{voda o } M \ 1,5 \ \frac{S_1(Cl) \ 19,2 \ S_1(SO_4) \ 43,2 \ S_2 \ 0}{A_1 \ 4,8 \ A_2 \ 32,8} \ J \ 0 \ Br \ 0 \ B \ 0,$$

z intervalu 115—90 m — voda o

$$M \ 3,1 \ \frac{S_1(Cl) \ 61,6 \ S_1(SO_4) \ 24,0 \ S_2 \ 0}{A_1 \ 12,6 \ A_2 \ 4,8} \ J \ 0 \ Br \ 0 \ B \ 0,$$

z intervalu 135—125 m — voda o

$$M \ 2,0 \ \frac{S_1(Cl) \ 49,4 \ S_1(SO_4) \ 25,8 \ S_2 \ 0}{A_1 \ 18,0 \ A_2 \ 6,8} \ J \ 0 \ Br \ 0 \ B \ 0.$$

Bez živičných příznaků skončeny výsledky čerpacích zkoušek z intervalů: 250—222 m —
 přítok vody o M 1,8 S₁(Cl) 30,8 S₁(SO₄) 26,0 S₂ 0 J — Br — B —,
 $\overline{A_1 \ 8,8 \quad A_2 \ 34,4}$

410—379,9 m (tester v průběhu vrtání) — slabý přítok vody o
 S₁(Cl) 58,0 S₁(SO₄) 11,0 S₂ 0 J 3 Br 3 B 0,
 M 4,1 A₁ 30,2 A₂ 0,8

674—424,8 m — přítok vody o M 3,8 S₁ 67,0 S₂ 0 J 2 Br 5 B 0.
 M 19,9 S₁ 84,4 S₂ 10,8 A₁ 0 A₂ 4,8 J 11 Br 40 B 0

a z intervalu 1880,6—1817,7 m (nezapaženo) o M 18,0 S₁ 84,2 S₂ 12,6 A₁ 0 A₂ 3,2 J 9 Br 34 B 0.

S výsledkem „bez přítoku“ byly ukončeny čerpací zkoušky intervalů 222—197; 1325—1271 m (nezapažený interval); 2100—2061 m (nezapažený interval).

M o r k o v i c e - 1

- 191 m karpat (pískovce, slepence, jílovce — pestrý vývoj)
- 997 m karpat (šedé vápnité jílovce — slínny — s laminami pískovců)
- 1051 m krystalinikum — metamorphy

V ý s l e d k y č e r p a c í c h z k o u š e k (pístováním):

Projev metanového plynu z počátku čerpací zkoušky s nástupem tlaku na ústí těžebních trubek 1,0 MPa a na ústí mezikruží byl zjištěn z intervalu 323,5—319,5 m. Po odpuštění plynu kolektor bez přítoku.

Přítok vody byl docílen z intervalu 822,5—811 m; chemismus vody

M 27,1 Cl 15,7 S₁ 86,4 S₂ 11,0 A₁ 0 A₂ 2,6 J 65 Br 116 B 52.

Voda byla téměř nasycena metanovým plynem se stopovým obsahem vyšších uhlovodísků (K_{nas} 0,89). Přítok vody byl docílen rovněž z intervalu 703—697, 692—684 m; chemismus

vody M 21,1 Cl 11 S₁ 92,0 S₂ 3,2 A₁ 0 A₂ 4,8 J 65 Br 116 B 52.

Voda má zvýšené nasycení metanovým plynem téměř bez obsahu vyšších uhlovodíků. S výsledkem „bez přítoku“ byly ukončeny čerpací zkoušky z nezapažené části vrtu 1051 až 1024,4 m a z intervalu 1000—995 m.

N e s v a č i l k a - 1

- 202,0 m ždánicko-hustopečské vrstvy
- 417,0 m eggenburg—ottnang (mikulčická série) — do hloubky 273 m žatčanské vrstvy
- 1589,5 m autochtonní paleogén na bázi s bloky devonských vápenců.

V ý s l e d k y č e r p a c í c h z k o u š e k (pístováním):

Interval 1562—1553 m — přítok vody o M 46,4 Cl 28,1 S₁ 77,2 S₂ 22,4 A₁ 0 A₂ 0,4 J 23 Br — B 61.

Interval 1540—1535 m — přítok vody o M 46,2 Cl 28,5 S₁ 78,0 S₂ 21,6 A₁ 0 A₂ 0,4 J 24 Br — B 93

Interval 1512—1505 m — přítok vody o

M 35,6 Cl 21,4 S₁ 81,0 S₂ 18,2 A₁ 0 A₂ 0,8 J 15 Br — B 126.

Interval 1497—1495 m — slabý přítok vody. Interval 1487—1483 m — přítok vody o
M 34,6 Cl 21,0 $\frac{S_1 82,6 \ S_2 16,6}{A_1 \ 0 \ A_2 \ 0,8}$ J 15 Br — B 61.

Interval 1467—1462 m — přítok vody o M 37,6 Cl 22,7 $\frac{S_1 85,2 \ S_2 14,2}{A_1 \ 0 \ A_2 \ 0,6}$ J 16 Br — B 58.

Interval 697—693 m — přítok vody o M 21,7 Cl 11,6 $\frac{S_1 94,4 \ S_2 1,0}{A_1 \ 0 \ A_2 \ 4,6}$ J 19 Br — B —.

Interval 608—604 m — přítok vody o M 15,2 Cl 8,5 $\frac{S_1 93,0 \ S_2 2,6}{A_1 \ 0 \ A_2 \ 4,4}$ J 14 Br — B 24.

Interval 580—576 m — bez přítoku. Interval 410—405 m — přítok vody o

M 3,6 Cl 1,5 $\frac{S_1 87,0 \ S_2 0}{A_1 \ 8,6 \ A_2 \ 4,4}$ J 3 Br — B stopy.

Interval 360—357 m — přítok vody o M 5,6 Cl 2,5 $\frac{S_1 81,0 \ S_2 0}{A_1 11,8 \ A_2 7,2}$ J 4 Br — B stopy

Interval 240—230 m — přítok vody o M 13,4 Cl 7,0 $\frac{S_1 87,6 \ S_2 6,8}{A_1 \ 0 \ A_2 \ 5,6}$ J 24 Br — B 20.

Vody z intervalů 1562—1553; 1540—1535; 1512—1505; 1487—1483 m vykazují zvýšené nasycení metanovým plynem též bez obsahu vyšších uhlovodíků (K_{nas} až 0,61). Stupeň nasycení zbyvajících vod metanovým plynem nebyl zjištěn.

N e s v a č i l k a - 3

- 337,0 m eggenburg—ottnang (mikulčická série)
- 1380,0 m autochtonní paleogén
- 2230,0 m spodní karbon — kulm (myslejovické souvrství)
- 24839, m spodní karbon — říčské vápence

V ý s l e d k y č e r p a c í c h z k o u š e k (přistováním):

Interval nezapažené části vrtu 2483,5—1556,4 m — přítok vody o

M 35,9 Cl 22,0 $\frac{S_1 77,4 \ S_2 22,4}{A_1 \ 0 \ A_2 \ 0,2}$ J 13 Br 140 B 31.

Interval 1405—1398, 1390,5—1382,5 m — bez přítoku. Interval 1315—1308,5, 1304—1299 m

— přítok vody o M 6,9 Cl 3,9 $\frac{S_1 68,0 \ S_2 27,8}{A_1 \ 0 \ A_2 \ 4,2}$ J 0 Br 16 B 48.

Interval 1261—1255, 1250—1247 m — bez přítoku. Interval 1257—1249 m — přítok vody o

M 5,5 Cl 3,0 $\frac{S_1 75,2 \ S_2 20,2}{A_1 \ 0 \ A_2 \ 4,6}$ J 0 Br 8 B 0.

Interval 1120—1111 m — přítok vody o M 1,1 Cl 0,1 $\frac{S_1 53,6 \ S_2 0}{A_1 37,0 \ A_2 9,4}$ J 0 Br 0 B 8.

Interval 1076—1067,5 m — přítok vody o M 1,3 Cl 0,1 $\frac{S_1 47,0 \ S_2 0}{A_1 43,4 \ A_2 9,6}$ J 0 Br 0 B —.

Interval 955—949 m — bez přítoku.

Interval 956,5—951 m — přítok vody o M 1,6 Cl 0,1 $\frac{S_1 34,4 \ S_2 0}{A_1 57,4 \ A_2 8,2}$ J 0 Br 0 B —.

Interval 819—809 m — přítok vody o M 2,5 Cl 0,6 $\frac{S_1 50,2 \ S_2 0}{A_1 44,2 \ A_2 5,6}$ J 0 Br 0 B —.

Interval 682,5—678,5 m — přítok vody o M 12,6 Cl 7,2 $\frac{S_1 91,6 \ S_2 3,6}{A_1 \ 0 \ A_2 \ 4,8}$ J 5 Br 32 B 28.

Interval 143,5—139,5 m — přítok vody o

M 2,9 Cl 0,8 $\frac{S_1 \ 56,8 \ S_2 \ 0}{A_1 \ 35,0 \ A_2 \ 8,2}$ J stopy Br 0 B 30.

Vody všech zkoušených intervalů jsou nevysoko syceny metanovým plynem téměř bez obsahu vyšších uhlovodíků.

Němčíky - 1

- 2010,0 m ždánicko-hustopečské souvrství
- 2041,0 m menilitové vrstvy
- 2140,0 m podmenilitové souvrství se zavrásněným egerem
- 2212,0 m pouzdřanská jednotka se šupinami pouzdřanských a boudeckých vrstev
- 4185,0 m jura — peliticko-karbonátový vývoj
 - 2231,0 m kobylské vápence a dolomity
 - 2630,0 m kurdějovské vápence a dolomity
 - 4185,0 m mikulovské slínovce
- 4789,0 m svrchní karbon (namur A) — přesmyk v hl. 4400,0 m
- 4830,0 m spodní karbon (visé G₀ — V_{3c})
- 4864,0 m spodní miocén (turné Tn 2b-c)
- 5003,0 m svrchní devon (svrchní frasn)
- 5048,0 m spodní karbon (turné Tn 3a-b)

Výsledky čerpacích zkoušek (tyčovým testerem):

Přítok metanového plynu z intervalů 5026—4997 (nezapažená část) — tlak na ústí 32,7 MPa; 4870—4827, 4785—4776, 4750—4743, 4740—4730, 4640—4627, 4622—4610 m. Z intervalu 2177—2189 m přítok ropy s plynem; tlak na ústí mezikruží až 8,2 MPa, na ústí těžebních trubek 3,1 MPa. Ložisková voda má

M 45,9 $S_1 \ 91,0 \ S_2 \ 6,8$ J 9 Br 7 B —.
 A₁ 0 A₂ 2,2

Chemismus vrstevních vod silně proplyněných metanovým plynem je znám z intervalů

5026—4997 m M 24,8 $\frac{S_1 \ 80,4 \ S_2 \ 16,2}{A_1 \ 0 \ A_2 \ 3,6}$ J 24 Br 51 B 68.

4785—4730, 4640—4610 m M 59,3 $\frac{S_1 \ 95,4 \ S_2 \ 2,2}{A_1 \ 0 \ A_2 \ 2,4}$ J 13 Br 16 B —,

4575—4525 m M 53,1 $\frac{S_1 \ 96 \ S_2 \ 1}{A_1 \ 0 \ A_2 \ 3}$ J 25 Br 29 B —,

4115—4102 m M 50 $\frac{S_1 \ 95,6 \ S_2 \ 2}{A_1 \ 0 \ A_2 \ 2,4}$ J 46 Br 45 B —.

Stupeň proplynění vrstevních vod i chemismus rozpuštěných plynů není prokázán z inter-

valů: 2344—2331 m M 37,9 $\frac{S_1 \ 97,4 \ S_2 \ 0}{A_1 \ 2,4 \ A_2 \ 0,2}$ J 18 Br 9 B —;

2316—2307 m M 30,4 $\frac{S_1 \ 96,6 \ S_2 \ 0}{A_1 \ 1 \ A_2 \ 2,4}$ J 17,2 Br 10 B —;

2298—2291 m M 55,1 $\frac{S_1 \ 97,8 \ S_2 \ 0,4}{A_1 \ 0 \ A_2 \ 1,8}$ J 13 Br 8 B —;

2267—2255 m M 44,9 $\frac{S_1 \ 93,2 \ S_2 \ 3,4}{A_1 \ 0 \ A_2 \ 3,4}$ J 29 Br 9 B —.

Nítkovice - 2

- 86,0 m karpat (pestrý vývoj se štěrký)

- 310,0 m karpat
- 849,0 m karpat (pelitický vývoj) — spodní šupina
- 880,0 m vápence, pískovce a slepence famen (hádská facie)
- 1590,0 m organodetritické a hlinnaté vápence (frasn — s polohami diabasových porfyritů)
- 1745,0 m vápence, dolomity a křemence devonu (frasn—givet)
- 1766,0 m bazální klastika devonu
- 1833,0 m krystalinum — růžový granodiorit

Výsledky čerpacích zkoušek (pistováním):

Produkce metanového plynu bez obsahu vyšších uhlovodíků z intervalu 1016—1000; 953 až 938; 863—849 m, tlak na ústí 5,8 MPa; kapacita 97 000 m³/d, po kyselinování 297 000 m³/d;

ložisková voda má S₁ 88,0 S₂ 4,0
M 16,8 Cl 8,9 J 53 Br 87 B 53.
A₁ 0 A₂ 8,0

Přítok vody z intervalu 1833—1351 m (nezapažená část vrtu) — chemismus vody

M 6,4 Cl 3,5 S₁ 91,4 S₂ 0
A₁ 1,4 A₂ 7,2 J 4 Br 20 B 26;

interval 1472—1351 m (nezapažená část vrtu) — chemismus vody

M 5,7 Cl 2,4 S₁ 77,6 S₂ 0
A₁ 18,4 A₂ 4,0 J 3 Br 10 B 0.

Interval 1343—1200 m — přítok vody o M 4,5 Cl 2,0 S₁ 81,0 S₂ 0
A₁ 12,6 A₂ 6,4 J 5 Br 14 B 28.

Vody všech uvedených tří intervalů jsou nevysoce syceny metanovým plynem, bez obsahu vyšších uhlovodíků (K_{nas} pod 0,28), zvýšený obsah hélia 0,289 % byl zjištěn ve vodě intervalu 1833—1351 m.

Nítkovice - 5

- 34,0 m karpat — pestrý vývoj
- 845,0 m karpat
- 860,0 m devon

Výsledek čerpací zkoušky (pistováním):

Interval 854—849 m — slabý přítok metanového plynu se zvýšeným obsahem hélia 0,154 %

s vodou o M 5,2 Cl 2,5 S₁ 84,0 S₂ 0
A₁ 1,0 A₂ 15,0 J 6 Br 15 B 0.

Tlak na ústí 5,1 MPa. Kapacita nezměřitelná.

Osvětimany - 1

- 1410,0 m spodní zlínské vrstvy
- 1545,0 m belovežské vrstvy
- 1660,0 m svrchní solánské vrstvy
- 2520,0 m spodní solánské vrstvy — v intervalu 2265,0—2287,0 m s útržky jury a zdou-necké jednotky
- 2820,0 m krystalinum — žula

Výsledek čerpací zkoušky:

Interval 2553—2511 (nezapažená část vrtu) zkoušen tyčovým testerem — slabý únik metanového plynu s vysokým obsahem vyšších uhlovodíků (CH₄ 85,75; C₂ 5,8; C₃ 2,0; n-C₄ 0,55; i-C₄ 0,45; n-C₅+i-C₅ 0,25; CO₂ 0,6; N₂ 4,6). Interval 2589—2536 m (nezapažená část vrtu) zkoušen tyčovým testerem — proplyněný výplach metanovým plynem stejného chemismu. Interval 2644—2583,74 (nezapažená část vrtu) zkoušen tyčovým testerem — bez přítoku. Interval 2668—2635,37 (nezapažená část vrtu) zkoušen tyčovým testerem — přítok výplachu s metanovým plynem a stopami ropy; obsah vyšších uhlovodíků (CH₄ 87,5;

C₂ 3,5; C₃ 0,5; n-C₄ 0,05; i-C₄ 0,05; n-C₅ stopy; i-C₅ stopy; CO₂ 0,1; N₂ 8,3). Interval 2715—2663,5 m (nezapažená část vrtu) zkoušen tyčovým testerem — výplach slabě proplyněný metanovým plymem. Interval 2775—2715 m (nezapažená část vrtu) zkoušen tyčovým testerem — bez přítoku. Interval 2820—2518 m (nezapažená část vrtu) zkoušen těžebními trubkami a pakrem — přítok proplyněné vody metanovým plymem se stopami ropy (CH₄ 89,0; C₂ 3,80; C₃ 0,27; n-C₄ 0,049; i-C₄ 0,02; n-C₅ 0,013; i-C₅ 0,012; CO₂ 2,70; N₂ 2,8). Interval 2035—2029 m zkoušen pístováním — přítok vody s výplachem — chemismus vody

M 8,7 Cl 3,4 $\frac{S_1 \ 74,8 \ S_2 \ 0}{A_1 \ 25,2 \ A_2 \ 0}$ J 7 Br 10 B —

Voda přesycena metanovým plynem s obsahem vyšších uhlovodíků (CH_4 97,0; C_2 1,3; C_3 0,33; n- C_4 0,125; i- C_4 0,075; n- Cs 0,037; i- Cs 0,031; Cs 0,11; CO_2 0,19; N_2 1,0). Interval 1678–1674 m zkoušen těžebními trubkami a pakrem — přetok vody, slabý únik metanového plynu, tlak na ústí 0,5 MPa, chemismus vody

M 4,9 Cl 1,5 S₁ 61,4 S₂ 0 J 3 Br 7 B — A₁ 37,2 A₂ 4,4

Interval 1650—1640 m zkoušen těžebními trubkami a pakrem — přetok vody, slabý únik plynu, tlak na ústí 0,64 MPa, chemickým vodou.

M 6,3 Cl 2,5 Si 74,4 S 2 0 J 3 Br 6 B -

Interval 1600—1590 m zkoušen tyčovým testerem — slabý přítok výplachové vody.

Interval 1505—1555 m zkoušen tycovým testerem — přetok vody slabě sycené metanovým plynem (K_{nas} 0,15), chemismus vody M 9,2 Cl 3,2 Si 88,2 S₂ 0 A₁ 11,4 A₂ 0,4 J 3 Br 3 B —.

Interval 1420—1410 m zkoušen testerem — přítok vody slabě sycené metanovým plynem ($K_{\text{nas}} 0,14$) bez obsahu vyšších uhlovodíků; chemismus vody

M 6,2 Cl 2,7 Si 81,0 S₂ 0 J 3 Br 2 B — A₁ 18,0 A₂ 4,0

Interval 1380—1375 m zkoušen tyčovým testerem — přetok vody slabě sycené metanovým plynem bez obsahu vyšších uhlovodíků, s obsahem hélia 0,123 %; tlak na ústí 0,25 MPa; chemismus vody M 3,0 Cl 0,7 S₁ 52,0 S₂ 0 J 2 Br 3 B —.

Interval 1335—1320 m zkoušen tyčovým testerem — přetok vody slabě sycené metanovým plynem bez obsahu vysokých uhlovodíků, $\text{CH}_4 = 14\%$, $\text{CO}_2 = 48.2\%$, $\text{N}_2 = 37.8\%$.

chemismus vody M 4,8 Cl 2,0 S₁ 78,4 S₂ 0 J 1 Br 3 B — A₁ 20,2 A₂ 1,4

Interval 1150—1136 m zkoušen tyčovým testerem — přetok vody sycené metanovým plymem; tlak na ústí 0,20 MPa; chemismus vody

M 6,1 Cl 0,9 S₁ 30,2 S₂ 0 J 0 Br 0 B —.

Interval 1121–1114 m zkoušen tyčovým testerem — přetok vody s výplachem značně nasycené metanovým plymem ($K_m = 0.4$), tlak 0.04 ± 0.02 MPa, teplota $18.5 \pm 0.5^\circ\text{C}$.

M 8,0 Cl 3,4 S₁ 78,0 S₂ 0 I 2 Br 2 R

Interval 959—950 m zkoušen tyčovým testerem — přítok vody téměř nasycené metanovým plynem s obsahem helia 0,118 %. Interval 959—950 m zkoušen těžebními trubkami a pakrem nebyl kvalitativně ani kvantitativně zjištěn.

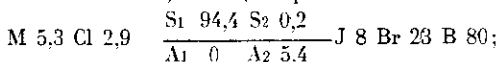
— po kyselinování před přítok zplněné vody.
S výsledkem „bez přítoku“ byly ukončeny čerpací zkoušky intervalů 2280—2273,5; 2286 až 2273—2080—2070; 2025—2020 m.

R a t a j e - 1

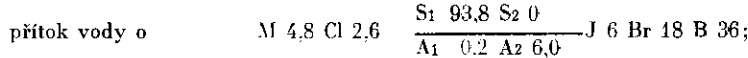
- 385,0 m karpat (pestrý vývoj)
- 610,0 m karpat — převážně pelity
- 748,0 m eggensburg—ottnang
- 1326,0 m karpat — převážně pelity
- 1508,0 m vápence — dolomity — devon (givet)
- 1523,0 m bazální klastické souvrství — devon (givet)
- 1679,0 m krystalinikum (metamorphy)

Výsledek čerpacích zkoušek (pístováním):

Interval 1679—1517,04 m (nezapažená část vrstu a perforovaná kolona) — přítok vody o



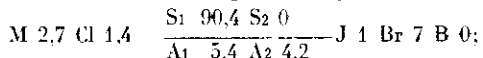
voda slabě sycena metanovým plynem s obsahem hélia 0,11 %. Interval 1481—1468 m —



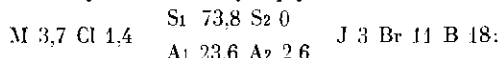
voda slabě sycena metanovým plynem. Interval 1439,5—1427,5; 1414—1404,5 m — přítok



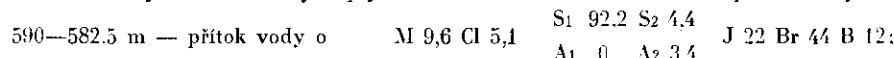
Interval 1385—1366 m — přítok vody o chemismu



voda slabě sycena metanovým plynem. Interval 1314—1311 m — přítok vody o



voda slabě sycena metanovým plynem. Interval 1309—1306 m — přítok vody. Interval



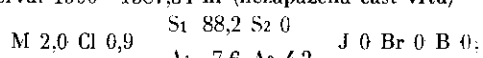
voda slabě sycena metanovým plynem.

R a t a j e - 2

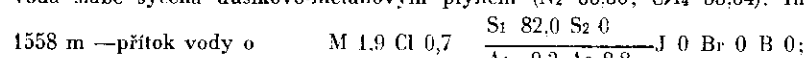
- 422,0 m karpat v pestrém vývoji (s preplavenou mikrofaunou)
- 780,0 m svrchní šupina karpatu
- 1222,0 m karpat
- 1900,0 m paleozoikum (vápence, dolomity, rohovce)

Výsledek čerpacích zkoušek (pístováním):

Interval 1900—1587,34 m (nezapažená část vrstu) — přítok vody o

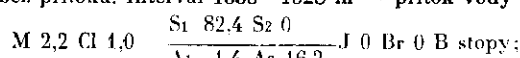


voda slabě sycena dusíkovo-metanovým plynem (N_2 66,36; CH_4 33,64). Interval 1565 až

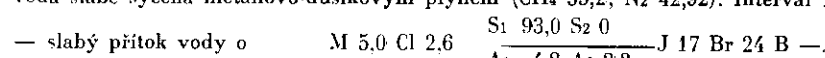


voda slabě sycena dusíkovo-metanovým plynem (N_2 65,0; CH_4 32,0). Interval 1500—1494 m

— bez přítoku. Interval 1333—1328 m — přítok vody o



voda slabě sycena metanovo-dusíkovým plynem (CH_4 55,2; N_2 42,92). Interval 1230—1220 m



Interval 558—551 m — slabý přítok vody o

M 2,8 Cl 0,9 S₁ 67,2 S₂ 0
 A₁ 9,2 A₂ 23,6 J 6 Br 7 B stopy.

Interval 488—484 m — slabý přítok vody o

M 2,8 Cl 1,0 S₁ 72,6 S₂ 0
 A₁ 23,2 A₂ 4,2 J 6 Br 7 B 8.

Interval 425—412 m — přítok vody o

M 2,4 Cl 0,6 S₁ 59,6 S₂ 0
 A₁ 38,6 A₂ 1,8 J 0 Br 0 B 0.

R o š t í n - 1

— 483,0 m svrchní oddíl zdounecké jednotky

— 634,0 m spodní oddíl zdounecké jednotky

— 728,0 m podmenilitové vrstvy se zavrásněnými útržky ždánicko-hustopečských, příp.
i svrchnokřídových vrstev

— 796,0 m ždánicko-hustopečské vrstvy

— 824,0 m podmenilitové vrstvy

— 1506,0 m karpat

— 1550,0 m krystalinikum — biotitický granodiorit

V ý s l e d e k č e r p a c í c h z k o u š e k (pístováním):

Interval 1461—1453 m — přítok vody o

M 9,5 Cl 5,1 S₁ 93,0 S₂ 0
 A₁ 0,6 A₂ 6,4 J 13 Br 38 B 96;

voda slabě sycena metanovým plynem. Interval 1412—1405 m — přítok vody o

M 11,4 Cl 6,0 S₁ 92,0 S₂ 0
 A₁ 2,0 A₂ 6,0 J 18 Br 46 B 80;

voda slabě sycena metanovým plynem. Interval 967—957 m — přítok vody o

M 18,6 Cl 10,6 S₁ 18,4 S₂ 9,6
 A₁ 0 A₂ 2,0 J 54 Br 105 B 38;

voda slabě sycena metanovým plynem. Interval 733—728; 721,5—715 m — přítok vody o

M 31,0 Cl 18,8 S₁ 85,0 S₂ 14,6
 A₁ 0 A₂ 0,4 J 38 Br 123 B 21;

voda slabě sycena metanovým plynem.

S výsledkem „bez přítoku“ byly ukončeny čerpací zkoušky intervalů 1550—1541,89 (nezapažená část vrtu) a 1511—1506 m.

R o u s í n o v - 1

— 665,0 m spodní baden (jílovec)

— 785,0 m karpat (jílovec, na bázi pískovce a slepence)

— 1003,0 m paleozoikum (břidlice) — mysljejovické souvrství — svrchní visé

V ý s l e d e k č e r p a c í c h z k o u š e k (pístováním):

Interval 1003—794 m (nezapažená část vrtu a perforovaná kolona) — přítok vody o

M 5,9 Cl 3,3 S₁ 94,6 S₂ 0
 A₁ 2,4 A₂ 3,0 J 6 Br 19 B 0

s rozpuštěným metanovým plynem. Interval 752—735 m — přítok vody o

M 1,8 Cl 0,2 S₁ 33,2 S₂ 0
 A₁ 62,4 A₂ 4,4 J stopy Br stopy B 0

s rozpuštěným metanovým plynem. Interval 728—703 m — přítok vody o

M 2,4 Cl 0,3 $\frac{S_1 \ 30,8 \ S_2 \ 0}{A_1 \ 66,2 \ A_2 \ 3,0}$ J 0 Br 0 B 17

s rozpuštěným metanovým plynem. Interval 663—650 m — přítok vody o

M 2,8 Cl 0,4 $\frac{S_1 \ 30,2 \ S_2 \ 0}{A_1 \ 65,6 \ A_2 \ 4,2}$ — J 0 Br 0 B 0

s rozpuštěným metanovým plynem. Interval 329—324 m — přítok vody o

M 2,1 Cl 0,1 $\frac{S_1 \ 7,6 \ S_2 \ 0}{A_1 \ 86,4 \ A_2 \ 6,0}$ J 0 Br 0 B 0

s rozpuštěným dusíkovo-metanovým plynem.

S l a v k o v - 2

- 49,0 m karpat
- 265,0 m organodetrítické a šedé kalové až velmi jemnozrnné vápence (frasn—tournai)
- 1249,0 m vápence a dolomity (givet—frasn)
- 1273,0 m jílovité tmavé vápence (givet)
- 1320,4 m bazální klastické souvrství devonu (givet—eifel?)
- 1400,2 m krystalinikum — amfibolicko-biotitický granodiorit

V ý s l e d k y č e r p a c í c h z k o u š e k :

Interval 1340—1320 m zkoušen pistováním — přítok vody o

M 2,9 Cl 1,0 $\frac{S_1 \ 66,6 \ S_2 \ 0}{A_1 \ 23,4 \ A_2 \ 8,4}$ J 4 Br 3 B 42

s rozpuštěným metanovým plynem. Interval 1305—1291 m zkoušen pistováním — přítok vody, metanový plyn v mezíkruží; tlak na ústí 0,29 MPa; voda o

M 2,9 Cl 1,0 $\frac{S_1 \ 67,8 \ S_2 \ 0}{A_1 \ 22,2 \ A_2 \ 8,2}$ J 3 Br 4 B 34.

Interval 1221—1053 m (nezapažená část vrstu) zkoušen testerem — přítok vody o

M 1,1 Cl 0,3 $\frac{S_1 \ 59,4 \ S_2 \ 0}{A_1 \ 7,4 \ A_2 \ 33,2}$ J 0 Br 1 B 0

s rozpuštěným metanovým plynem. Interval 1046—1027 m zkoušen testerem — přítok vody o

M 0,8 Cl 0,2 $\frac{S_1 \ 75,6 \ S_2 \ 0}{A_1 \ 4,2 \ A_2 \ 20,2}$ J 0 Br 0 B 0

s rozpuštěným metanovým plynem. Interval 969,4—913 m zkoušen pistováním — přítok vody o M 1,6 Cl 0,6 $\frac{S_1 \ 64,2 \ S_2 \ 0}{A_1 \ 22,2 \ A_2 \ 13,6}$ J 0 Br 0 B 6

s rozpuštěným metanovým plynem. Interval 910—843 m zkoušen pistováním — přítok vody o M 1,7 Cl 0,7 $\frac{S_1 \ 73,6 \ S_2 \ 0}{A_1 \ 20,2 \ A_2 \ 6,2}$ J 0 Br 0 B 11

s rozpuštěným metanovo-dusíkovým plynem. Interval 300—50 m zkoušen pistováním --- přítok vody o M 1,6 Cl 0,6 $\frac{S_1 \ 76,4 \ S_2 \ 0}{A_1 \ 17,2 \ A_2 \ 6,4}$ J 0 Br 0 B —

s rozpuštěným metanovým plynem.

S t u p a v a - 1

- 205,0 m belovežské vrstvy
- 365,0 m svrchní soláňské vrstvy
- 1245,0 m spodní soláňské vrstvy
- 1820,5 m svrchní soláňské vrstvy
- 1969,0 m spodní soláňské vrstvy

- 2065,0 m spodní oddíl zdounecké jednotky — spodní křída — alb
- 2156,6 m spodní oddíl zdounecké jednotky — střední eocén
- 2431,0 m karpat
- 2500,0 m krystalinikum (biotitická žula)

Výsledek čerpacích zkoušek:

Z nezapažené části vrtu 2500—2425 m zkoušeného pistováním byl docilen přítok reprezentativní vrstevní vody o $\frac{S_1 \ 98,6 \ S_2 \ 0}{A_1 \ 0,6 \ A_2 \ 0,8}$ J 37 Br 117 B 56

s rozpuštěným metanovým plynem.

Slabé přítoky vod chlorido-sodného typu byly zjištěny čerpacími zkouškami prováděnými straddle testem z intervalů karpatu 2416—2400; 2318,5—2310,5; 2283—2273,5; 2240 až 2226; 2205—2190; 2175—2171; 2166—2156 m a z intervalů spodních solánských vrstev 1675,5—1663; 986—975; 660—650 m. Rozpuštěné plyny ve vodách jsou metanového typu. Ve vodě intervalu 2283—2273,5 m byl zjištěn obsah sirovodíku 173,8 mg/l, ve vodě intervalu 2240—2226 m obsah sirovodíku 109,0 mg/l.

Zvýšené proplynění bylo zjištěno v posledních čtyřech zkoušených intervalech karpatu. Poznámka: Při straddle testezech přítok vod byl doprovázen přítokem filtrátu výplachu. Reprezentativní chemismus vod není znám. Podle nepřesných údajů obsahu halogenidů vody karpatu dosahují mineralizace ca 15—20 g/l, bromidů ca 50 mg/l, vody spodních solánských vrstev dosahují mineralizace ca 6 g/l, obsah jodidů ca 2,5 mg/l, bromidů 0.

S t u p a v a - 3

- 578,0 m svrchní solánské vrstvy
- 1855,0 m spodní solánské vrstvy
- 2059,0 m zdounecká jednotka
- 2231,0 m podmenilitové vrstvy ždánické jednotky
- 2236,0 m tektonický útržek oligocénu
- 2298,0 m krystalinikum

Výsledek čerpacích zkoušek (pistováním):

Produkce metanového plynu z intervalu 1691—1687, 1685,5—1682, 1678—1674,5 m; tlak na ústí 10,6 MPa, kapacita 42 453 m³/d. Slabý přítok metanového plynu při zkoušení intervalů 1705—1701 a 1906—1902. Tlaky na ústí ca 1 MPa.

Přítok metanového plynu a stopy ropy z intervalu 1728—1675,7 m zkoušeného testerem v průběhu vrtání.

Z intervalu 2267—2255, 2245—2238 m došlo k velmi slabému přítoku vody o

$\frac{S_1 \ 91,2 \ S_2 \ 0}{A_1 \ 5,8 \ A_2 \ 3,0}$ J 14 Br 20 B 168; voda byla sycena metanovým plynem.

S výsledkem „bez přítoku“ byla ukončena čerpací zkouška intervalu 1995—1980 m.

S v á b e n i c e - 1

- 215,0 m spodní baden a karpat
- 597,0 m spodní karbon — kulmský vývoj — mysljeovické souvrství (svrchní visé)
- 2397,0 m spodní karbon — devon — vápence — dolomity
- 2460,0 m krystalinikum — metamorphy

Výsledek čerpacích zkoušek (pistováním):

Ze zkoušených intervalů 2460—2407,2 (nezapažená část vrtu); 2376—2369; 2293—2282; 2263—2245; 2173—2153; 2070—2055; 1930—1914; 1648,5—1635; 1265—1250; 607—597 m přítok vod slabě až středně mineralizovaných (1,5—6,1 g/l), chloridosodných (S_1 50,0—76,6) výrazného hydrogenuhličitanového podtypu (A_1 16,6—47,0); voda intervalu 2070—2045 m je podtypu hydrogenuhličitanovovápenatá (A_2 23,2).

Rozpuštěné plyny ve vodách přísluší typově k dusíkovým (nad 75 % N₂) s výrazným podílem metanu (20—25 % CH₄) bez obsahu vyšších uhlovodíků, příp. k plynům dusíkovo-metanovým. Vykazuje zvýšený obsah hélia 0,11—0,19 %.

Těšany - 1

- 465,0 m ždánická jednotka
- 610,0 m pouzdřanská jednotka
- 1400,0 m autochtonní paleogén
- 1910,0 m autochtonní paleogén — bazální klastika
- 2893,0 m spodní karbon (visé), slepence, pískovce, břidlice
- 3500,0 m spodní karbon (tournaï—visé), vápence, břidlice
- 3620,0 m devon (famen)
- 4082,0 m devon (frasn—givet)
- 4257,0 m devon — bazální klastika
- 4500,0 m krystalinikum — granitoidy

Výsledek čerpacích zkoušek:

Cerpací zkoušky provedené v průběhu vrtání a v zapaženém vrtu tyčovými testery byly většinou neúspěšné (interval 2617—2594,6; 2617—2576; 2630—2570,4; 3004—2980; 3017 až 2993; 3821—3763,3; 3960—3902,88; 4249—4218; 4361—5336; 4500—4433 m) nebo nebyl docílen přítok vrstevní kapaliny (interval 4324—4275; 4500—4398; 4280—4257; 4093 až 4082 m).

Přítok vody byl docílen z intervalů 3960—3911,8 m — chemismus vody

M 67,6 Cl 41,1	S ₁ 64,6 S ₂ 34,8	J 20 Br 174 B 44,	4093—4082 m — chemismus vody
	A ₁ 0 A ₂ 0,6		
M 76,0 Cl 45,5	S ₁ 56,2 S ₂ 42,6	J 19 Br 132 B —,	
	A ₁ 0 A ₂ 1,2		
4102,5—4094,95 m	— chemismus vody		
M 92,1 Cl 56,7	S ₁ 49,0 S ₂ 50,8	J 20 Br 221 B 48.	
	A ₁ 0 A ₂ 0,2		

Rozpuštěné plyny ve vodách celého profilu jsou metanové bez zvýšeného obsahu vyšších uhlovodíků.

Poznámka: Vody získané tyčovým testerem z obzoru 3827—3810; 3665—3645 m nejsou reprezentativní.

Tlumačov - 1

- 1042,0 m ždánicko-hustopečské vrstvy (převážně pískovce)
- 1236,0 m podmenilitové vrstvy
- 1658,5 m pouzdřanská jednotka — jílovec a pískovce (eger)
- 2257,5 m karpat — jílovec a pískovce
- 2315,0 m krystalinikum — metamorphy

Výsledek čerpacích zkoušek (pístováním):

Interval 2315—2245 (nezapažená část vrtu + perforovaná kolona) — přítok vody o

M 35,3 Cl 20,1	S ₁ 86,4 S ₂ 19,6	J 36 Br 131 B 80.
	A ₁ 0 A ₂ 3,0	

Interval 2201,5—2190,5 m — přítok vody o

M 34,3 Cl 15,2	S ₁ 82,0 S ₂ 0	J 36 Br 95 B 48.
	A ₁ 17,6 A ₂ 0,4	

Interval 2180,5—2169,5 m — slabý přítok vody o

M 32,3 Cl 13,2 $\frac{\text{Si } 77,0 \text{ S}_2 0}{\text{A}_1 22,4 \text{ A}_2 0,6}$ — J 38 Br 85 B 51.

Interval 2119—2114 m — slabý přítok vody o

M 24,0 Cl 12,3 $\frac{\text{Si } 90,4 \text{ S}_2 0}{\text{A}_1 6,6 \text{ A}_2 3,0}$ — J 87 Br 125 B 96.

Interval 1368—1359 m — slabý přítok vody o

M 13,0 Cl 6,0 $\frac{\text{Si } 84,2 \text{ S}_2 0}{\text{A}_1 15,2 \text{ A}_2 0,6}$ — J 19 Br 34 B 42.

Interval 961—950 m — velmi slabý přítok vody o

M 5,7 Cl 2,6 $\frac{\text{Si } 92,4 \text{ S}_2 0}{\text{A}_1 1,8 \text{ A}_2 5,8}$ — J 3 Br 7 B 0.

Rozpuštěné plyny patří typově k metanovým. Sycení vod je slabé.

S výsledkem „bez přítoku“ byly ukončeny čerpací zkoušky intervalů 1604—1601, 1592 až 1589; 1605,5—1587,5; 1509,5—1504; 1494,5—1486,5; 1258,5—1250,5; 1242—1236; 1021 až 1010; 1040—1030 m.

Uhřice-1

- 1978,0 m ždánicko-hustopečské souvrství
- 2002,0 m menilitové vrstvy
- 2140,0 m podmenilitové souvrství
- 2763,0 m autochtonní paleogén
 - 2763—2697 m bazální klastika
 - 2900,0 m svrchní karbon (namur A)
 - 3150,0 m spodní karbon
 - 3015—3019 m svrchní visé
 - 3041—3148 m svrchní tournai—spodní visé
 - 3547,0 m devon (famen?)
 - 3303—3307 m svrchní frasn
 - 3502—3507 m frasn
- 3831,0 m devon — bazální klastika
- 3960,0 m krystalinikum — biotitické pararuly

Výsledek čerpacích zkoušek (tyčovým testerem):

Přítok metanového plynu s vysokým podílem vyšších uhlovodíků byl docílen z intervalů: 3544—3522 m (kapacita 1820 m³/d); 3440—3420 m (kapacita 2628 m³/d); 3420—3396, 3388—3385, 3378—3351, 3329—3325, 3313—3284 m (stopy ropy); 3065—3045 m; 3031 až 3020 m; 2752—2740 m.

Přítok vody proplyněné metanovým plynem o

M 19,8 $\frac{\text{Si(Cl) } 81,2 \text{ Si(SO}_4 \text{) } 2,4 \text{ S}_2 \text{ 0}}{\text{A}_1 \text{ 14,8} \quad \text{A}_2 \text{ 1,6}}$ — J 136 Br 123 B —

se stopami ropy byl prokázán z intervalu 2712—2700 m.

Chemismus vrstevních (ložiskových) vod je znám pouze z intervalů: 3632—3574 m

M 32,2 $\frac{\text{Si } 76,2 \text{ S}_2(\text{Cl}) \text{ 19,4 } \text{ S}_2(\text{SO}_4) \text{ 0,2}}{\text{A}_1 \text{ 0} \quad \text{A}_2 \text{ 2,8}}$ — J 56 Br 80 B —; 2717—2712 m

M 12,4 $\frac{\text{Si } 76,2 \text{ S}_2 \text{ 0,2}}{\text{A}_1 \text{ 0} \quad \text{A}_2 \text{ 9,2}}$ — J 26 Br 15 B —.

S výsledkem „bez přítoku“ skončily čerpací zkoušky intervalů nezapažené části vrtu zkoušené během vrtání 3316—3292, 3507—3449,5 m.

Uhřice-2

- 1302,0 m ždánicko-hustopečské souvrství
- 1339,0 m menilitové vrstvy
- 1618,0 m podmenilitové souvrství
- 1994,0 m autochtonní paleogén
 - 1963—1994 m bazální klastika
 - 2496,0 m spodní karbon (svrchní karbon), svrchní—střední visé (namur A)
 - 3181,0 m devon (frasn—givet)
 - 3330,0 m devon — bazální klastika
 - 3450,0 m krystaliukum — amfibolicko-biotitické pararuly

Výsledek čerpacích zkoušek (tyčovým testerem):

Jako průmyslově produktivní plynový obzor byl prokázán zkoušením interval 2505 až 2483 m (tlak na ústí 21 MPa; maximální kapacita po kyselinování obzoru 1 819 250 m³/d, skutečná kapacita 834 960 m³/d). Plyn je ryze metanový etan-propanového podtypu s vysokým podílem vyšších uhlovodíků.

Slabé přítoky metanových plynů byly docíleny z intervalů 3427—3378,2 m, 3111—3052,8 a 2521—2471,5 m z nezapažené části vrtu zkoušené při vrtání a dále z intervalů 3400 až 3375, 3355—3330, 3220—3195, 2745—2725, 2690—2670, 2655—2635 m.

Chemismus vrstevních (ložiskových) vod je znám z intervalu 3220—3195 m.

M 46,9	S ₁ 67 S ₂ 31,8	J 99 Br 141 B —	a z intervalu 3065—3045 m
	A ₁ 0 A ₂ 1,2		
M 25	S ₁ 84,4 S ₂ 9,6	J 44 Br 54 B —	
	A ₁ 0 A ₂ 6,0		

Uhřice-3

- 1388,0 m ždánicko-hustopečské souvrství
- 1515,0 m podmenilitové souvrství
- 2195,0 m jura — typu klenetnických vrstev v paraautochtonním tektonickém útržku
- 2237,0 m nikolčické vrstvy (suťová mělkovodní klastika)
- 2498,0 m devon (frasn—givet)
- 2595,0 m devon — bazální klastika

Výsledek čerpacích zkoušek:

Slabý únik metanového plynu a přítok vody o

M 15,4	S ₁ 89,0 S ₂ 0	J 45 Br 64 B 22
	A ₁ 0,6 A ₂ 10,4	

se stopami ropy při pístování z intervalu 1515—1507 m.

Přítok metanovým plynem proplyněné vody se stopami ropy byl dále docílen při pístování z intervalu 1650—1640 m a projevy ropy byly prokázány tyčovým testerem při zkoušení intervalu 1983—1952 m v průběhu vrtání. Vrstevní voda tohoto obzoru má

M 23,0	S ₁ 88,6 S ₂ 0	J 56 Br 70 B 45.
	A ₁ 3,6 A ₂ 7,8	

Tyčovým testerem byl docílen přítok vod silně sycených metanovým plynem Knas až 0,67 při zkoušení intervalů: 2595—2483,4 m (nezapažená část) — voda o

M 32,7	S ₁ 63,6 S ₂ 34,4	J 55 Br 101 B 22; 2480—2470 m — voda o
	A ₁ 0 A ₂ 2,0	

M 33,7	S ₁ 63,6 S ₂ 33,8	J 58 Br 107 B 24; 2330—2310 m — voda o
	A ₁ 0 A ₂ 2,6	

M 23,3	S ₁ 89,4 S ₂ 0	J 61 Br 76 B 48; 2220—2195 m — voda o
	A ₁ 2,0 A ₂ 8,6	

M 20,8	<u>S₁ 83,4 S₂ 0</u>	J 53 Br 61 B 38; 2090—2075 m — voda o
	A ₁ 8,4 A ₂ 8,2	
M 20,4	<u>S₁ 84,0 S₂ 0</u>	J 46 Br 51 B 38.
	A ₁ 11,0 A ₂ 5,0	

Pistováním byl docílen přítok vod z intervalů: 1960—1940 m — voda o

M 23,6	<u>S₁ 88,4 S₂ 0</u>	J 66 Br 77 B 48; 1210—1188 m — voda o
	A ₁ 3,0 A ₂ 8,6	
M 8,5	<u>S₁ 80,0 S₂ 0</u>	J 17 Br 21 B 14.
	A ₁ 16,4 A ₂ 3,6	

Stupeň nasycení těchto vod metanovým plynem není znám.

S výsledkem „bez přítoku“ skončila čerpací zkouška intervalu 1940—1934 m.

Uhřice - 4

- 1063,0 m ždánsko-hustopečské souvrství
- 1086,0 m menilitové vrstvy
- 1283,0 m podmenilitové souvrství
- 1350,0 m autochtonní paleogén
 - 1332,0—1350,0 m bazální klastika
 - 1722,0 m jura — peliticko-karbonátový vývoj
 - 1350,0—1478,0 m mikulovské slínovce
 - 1478,0—1660,0 m vranovické vápence a dolomity
 - 1660,0—1722,0 m nikolčické vrstvy
 - 1900,0 m krystalinikum — amfibolicko-biotitický křemenný diorit (ve svrchní části silně mylonitizovaný — ca do hloubky 1860,0 m)

Výsledek čerpacích zkoušek :

Emulze ropy byla zjištěna ve výplachu odebraném tyčovým testerem v průběhu vrtání z intervalu 1410—1372,8; 1443,5—1372,8 m.

V průběhu čerpacích zkoušek pistováním byl docílen přítok vody s emulzí ropy z intervalu 1490—1478 m, 1341—1332 m.

Vrstevní vody proplyněné metanovým plynem byly získány pistováním při čerpacích zkouškách z intervalů: 1705—1685 m — voda o

M 20,4	<u>S₁ 79,6 S₂ 19,8</u>	J 56 Br 88 B —; 1605—1595 m — voda o
	A ₁ 0 A ₂ 0,6	
M 12,7	<u>S₁ 90,8 S₂ 7,8</u>	J 34 Br 53 B —;
	A ₁ 0 A ₂ 1,4	

890—887, 884—880, 877—870 m — voda o M 3,8 S₁ 33,6 S₂ 0 J 0 Br 0 B —.
A₁ 65,2 A₂ 1,2

S výsledkem „bez přítoku“, příp. velmi slabým přítokem nereprezentativních vrstevních vod skončily čerpací zkoušky intervalů 1900—1868,6 (nezapažená část vrstu zkoušená tyčovým testerem), 1755—1725, 1645—1635, 1615—1592,7, 1440—1420, 1292—1283 m.

Uhřice - 5

- 1405,0 m ždánsko-hustopečské souvrství
- 1428,0 m menilitové vrstvy
- 1518,0 m podmenilitové souvrství
- 1643,0 m autochtonní paleogén
- 1963,0 m jura — peliticko-karbonátový vývoj
 - 1643,0—1713,0 m mikulovské slínovce
 - 1713,0—1863,0 m vranovické vápence a dolomity
 - 1863,0—1963,0 m nikolčické vrstvy

— 2950,0 m krystalinikum — amfibolicko-biotitický křemenný diorit

Výsledek čerpacích zkoušek:

Přítok metanovým plynem proplyněné vody se stopami ropy z intervalů 1994—1944,6 (tyčový tester při vrtání) a 1919—1890 m (pístování). Voda z vyššího obzoru má

M 17,0 $\frac{S_1 \ 85,0 \ S_2 \ 12,0}{A_1 \ 0 \ A_2 \ 3,0}$ — J 57 Br 90 B 30.

Pístováním byl získán přítok metanovým plynem zcela nasycené až přesycené vody

(K_{nas} 0,95) o M 16,2 $\frac{S_1 \ 96,4 \ S_2 \ 0,4}{A_1 \ 0 \ A_2 \ 3,2}$ — J 48 Br 94 B — z intervalu 1370—1362 m.

Zkoušení dalších intervalů 1756—1721,5 (tyčový tester v průběhu vrtání), 1860—1841, 1800—1790, 1766—1755, 1653—1643, 1528,5—1519 m skončilo „bez přítoku“ nebo s velmi slabým přítokem nereprezentativních vod.

Uhřice - 6

— 995,0 m ždánsko-hustopečské souvrství

— 1200,0 m podmenilitové souvrství (patrně s útržky spodního oligocénu)

— 1363,6 m devon — bazální klastika

— 1420,0 m krystalinikum — biotiticko-amfibolický křemenný diorit

Výsledek čerpacích zkoušek (pístováním):

Přítok metanového plynu zcela bez obsahu vyšších uhlíkovodíků a ropy z intervalu 1206 až 1290 m (tlak na ústí ca 9,5 MPa, kapacita ca 14 000 m³/d).

Z podloží ropoplynosného intervalu 1229—1224 m voda o

M 14,4 $\frac{S_1 \ 86,2 \ S_2 \ 6,4}{A_1 \ 0 \ A_2 \ 7,4}$ — J 25 Br 51 B —.

Přítok vody byl zjištěn z intervalu nezapažené části vrtu 1420—1350,85 m a perforované

kolony 1350,85—1274,95 m — voda o M 20,7 $\frac{S_1 \ 85,0 \ S_2 \ 11,4}{A_1 \ 6 \ A_2 \ 3,6}$ — J 43 Br 83 B —.

Újezd - 1

— 153,0 m karpat

— 305,0 m eggenburg—ottnang

— 642,0 m autochtonní paleogén — spodní oligocén

— 2095,0 m spodní karbon — kulm, slepence až blokové (račická facie)

Výsledky čerpacích zkoušek (tyčovým testerem):

Z nezapažené části vrtu přítoky vod zaplněných metanovým plynem z intervalu 2156 až

2096,1 m — voda o M 75,1 $\frac{S_1 \ 72,8 \ S_2 \ 27,0}{A_1 \ 0 \ A_2 \ 0,2}$ — J 16 Br 191 B 14,

z intervalu 2007—1911,5 m a 1086—1054,2 m.

Čerpací zkoušky z intervalů 2199—2157,3, 2300—2245,6, 1560—1500,3 m byly ukončeny s výsledkem „bez přítoku“.

Velmi slabý přítok vody s výplachem byl docílen z intervalu 780—757, 657—642 m i zvodeněny byly rovněž intervaly 597—590, 527—520 m.

Zárošice - 1

— 1257,0 m ždánsko-hustopečské vrstvy (svrchní eocén—oligomiocén?)

— 1509,0 m podmenilitové vrstvy (spodní—střední eocén) v hloubce 1445,0—1509,0 m příkrovová brekle s útržky autochtonního paleogénu

— 1873,0 m autochtonní paleogén (střední—svrchní eocén—spodní oligocén)

— 2274,0 m spodní—svrchní karbon (tournai—visé—namur A)

- 2330,0 m devon—karbon
spodní karbon (tournai—visé)
- 2760,0 m devon (givet—frasn), vápence — dolomity
- 2867,0 m bazální klastické souvrství — devon (eifel?—givet)

Výsledek čerpacích zkoušek (pístováním):

Neprůmyslové sycení ropou bylo zjištěno v intervalu 1978—1946, 1942—1907 m.

Z intervalu 1254—1247 m přítok vody o	M 11,2 Cl 6,2	$\frac{S_1 \ 81,4 \ S_2 \ 13,8}{A_1 \ 0 \ A_2 \ 4,8}$	J 17 Br 32 B 47.
Z intervalu 1242—1234 m přítok vody o	M 11,5 Cl 6,4	$\frac{S_1 \ 93,2 \ S_2 \ 1,8}{A_1 \ 0 \ A_2 \ 5,0}$	J 18 Br 44 B 55.
Z intervalu 1223—1210 m přítok vody o	M 12,8 Cl 7,1	$\frac{S_1 \ 94,8 \ S_2 \ 0,8}{A_1 \ 0 \ A_2 \ 4,4}$	J 25 Br 51 B 66
Z intervalu 1161—1143 m přítok vody o	M 11,9 Cl 6,8	$\frac{S_1 \ 96,8 \ S_2 \ 0}{A_1 \ 1,2 \ A_2 \ 2,0}$	J 24 Br 39 B 63
Z intervalu 998,5—990 m přítok vody o	M 2,9 Cl 0,1	$\frac{S_1 \ 12,6 \ S_2 \ 0}{A_1 \ 36,0 \ A_2 \ 51,4}$	J — Br — B —,

tlak na ústí těžebních trubek 0,2 MPa, na ústí mezikruží 0,35 MPa.

Z intervalu 915—902, m přetok vody. Z intervalu 380—370 m přetok vody.

Rozpuštěné plyny ve vodách patří typově k metanovým.

Vody podle koeficientu nasycení (K_{nas} 0,84 — interval 1254—1247 m, K_{nas} 1,05 — interval 1223—1210 m, K_{nas} 1,19 — interval 1161—1143 m) jsou nasyceny až přesyceny metanem. S výsledkem „bez přítoku“ byly ukončeny čerpací zkoušky intervalů 2645—2326,5 (nezapojená část vrtu + perforovaná kolona); 2051—2030, 2025—1995; 1895—1860; 1848—1836; 1786—1762; 1738—1735; 1696,5—1687; 1526—1514; 980—960 m.

Zarůžice - 2

- 630,0 m ždánicko-hustopečské vrstvy (svrchní eocén—oligomiocén?)
- 650,0 m menilitové vrstvy (svrchní eocén—spodní oligocén)
- 1132,0 m podmenilitové vrstvy (spodní—střední—svrchní eocén) s příkrovovou brekecí; od 975,0—1132,0 m s útržky autochtonního paleogénu)
- 1181,0 m spodní miocén (eggenburg)
- 1279,0 m vápence — dolomity — devon (givet—frasn)
- 1510,5 m bazální klastické souvrství — devon (eifel?—givet)
- 1620,0 m krystalinikum — biotiticko-amfibolický křemenný diorit

Výsledek čerpacích zkoušek (pístováním):

Produkce metanového plynu z intervalu 795—785 m; tlak na ústí 4,2 MPa, kapacita 550 m³/d, z intervalu 642—363 m; tlak na ústí 2,5—3,7 MPa, kapacita 98—882 m³/d, z intervalu 602—592 m; tlak na ústí mezikruží 0,7, na ústí těžebních trubek 0,8 MPa, kapacita 182 m³/d.

Interval 1375—1360 m — přítok vody o M 17,9 Cl 10,1 $\frac{S_1 \ 86,4 \ S_2 \ 10,0}{A_1 \ 0 \ A_2 \ 3,6}$ J 34 Br 71 B —.

Voda nasycena až přesycena metanovým plynem (K_{nas} 0,84). Interval 1325—1310 m — přítok vody o M 16,1 Cl 9,3 $\frac{S_1 \ 86,6 \ S_2 \ 9,8}{A_1 \ 0 \ A_2 \ 3,6}$ J 32 Br 53 B 88.

Voda nasycena až přesycena metanovým plynem (K_{nas} 0,95). Interval 1304—1282,5 m — přítok vody o M 19,1 Cl 11,1 $\frac{S_1 \ 85,4 \ S_2 \ 12,0}{A_1 \ 0 \ A_2 \ 2,6}$ J 41 Br 68 B 124.

Voda nasycena až přesycena metanovým plynem ($K_{\text{nas}} 0,94$). Interval 1230—1195 m —
 přítok vody o M 19,6 Cl 10,9 $\frac{S_1 85,4 \ S_2 8,8}{A_1 \ 0 \ A_2 5,8}$ J 39 Br 74 B 104.

Voda nasycena až přesycena metanovým plynem ($K_{\text{nas}} 1,4$). Interval 1180—1156 m —
 přítok vody o M 19,6 Cl 10,8 $\frac{S_1 85,4 \ S_2 8,2}{A_1 \ 0 \ A_2 6,4}$ J 28 Br 63 B 88.

Voda nasycena až přesycena metanovým plynem ($K_{\text{nas}} 1,04$). Interval 795—785 m —
 přítok vody o M 20,8 Cl 12,2 $\frac{S_1 91,0 \ S_2 7,4}{A_1 \ 0 \ A_2 1,6}$ J 37 Br 89 B 28.

Voda nasycena až přesycena metanovým plynem ($K_{\text{nas}} \text{ nad } 1$). Interval 642—633 m —
 přítok plynu a vody o M 3,6 Cl 1,5 $\frac{S_1 82,6 \ S_2 0}{A_1 11,8 \ A_2 5,6}$ J 7 Br 5 B 17.

Interval 602—592 m — přítok plynu a vody

M 7,4 Cl 3,5 $\frac{S_1 85,6 \ S_2 0}{A_1 12,4 \ A_2 2,0}$ J 11 Br 18 B —.

Interval 403—394 m — přítok vody o M 3,6 Cl 1,1 $\frac{S_1 61,6 \ S_2 0}{A_1 32,0 \ A_2 6,4}$ J 3 Br 4 B —.

Z d á n i c e - 1

- 712,0 m ždáničko-hustopečské vrstvy
- 785,0 m menilitové vrstvy
- 958,0 m podmenilitové vrstvy se zavrásněnými útržky spodního miocénu
- 990,0 m krystalinikum — biotitický granodiorit

V ý s l e d e k č e r p a c i c h z k o u š e k (přistováním):

Těžbaropy 6,5 t/d z nezapaženého intervalu vrtu 990—964,35 m. Ložisková voda má
 M 42,6 Cl 7,4 $\frac{S_1 89,2 \ S_2 8,0}{A_1 \ 0 \ A_2 2,8}$ J 11 Br 38 B —.

Rozpuštěný plyn ve vodě i ropě je metanový s vysokým obsahem vyšších uhlovodíků.

Z d á n i c e - 5

- 773,0 m ždáničko-hustopečské vrstvy
- 828,0 m menilitové vrstvy
- 940,0 m podmenilitové vrstvy
- 1065,0 m krystalinikum — granodiority

V ý s l e d e k č e r p a c i c h z k o u š e k :

Přítokropy s metanovým plynem s vysokým obsahem vyšších uhlovodíků z intervalu nezapažené části vrtu 1057—1035; 992—949, 23 m. Při zkoušení intervalu 992—949, 23 m nastoupil tlak na ústí těžebních trubek 0,35, na ústí mezikruží 0,4 MPa. Ložisková voda z intervalu 1033—1010 m má M 9,7 Cl 5,1 $\frac{S_1 88,4 \ S_2 5,0}{A_1 \ 0 \ A_2 6,6}$ J 13 Br 19 B —.

Ložisková voda z intervalu 1057—1035 m má

M 11,7 Cl 6,7 $\frac{S_1 89,2 \ S_2 7,2}{A_1 \ 0 \ A_2 3,6}$ J 10 Br 32 B 0.

Z d á n i c e - 28

- 702,0 m ždáničko-hustopečské souvrství
- 952,0 m podmenilitové souvrství
- 997,0 m spodní miocén
- 1060,0 m krystalinikum

Výsledky čerpacích zkoušek (pístováním):

Přítok až periodický přetok metanem proplyněné ropy z intervalu 980—976,5, 974,5 až 970,5 m; tlak na ústí těžebních trubek 2,65, na ústí mezikruží 3,33 MPa, produkuje plynu 411 m³/d, ropy 4,4—4,8 t/d.

Interval 1000,5—999 m — slabý přítok nereprezentativní vrstevní vody se stopami ropy.
Interval 1027—1020 m — slabý přítok vody o

M 7,2	S ₁ 94,8	S ₂ 0	J 9 B: 18 B	—	sycené metanem.
A ₁ 2,2	A ₂ 3,0				

Z intervalu 979—928,08 m zkoušeného testerem nebyl docílen přítok.

Závěr

Poznatky o živícené perspektivnosti střední části oblasti jv. svahů Českého masívu na základě provedeného rozboru geochemie hlubinných vod, plynů, kolektorských vlastností a dalších ropně geologických a geochemických faktorů jsou kladné. Tyto poznatky a vyhodnocení prognózních zásob uhlívodíků (Šimánek 1976, 1977, 1981) vytvářejí geochemický předpoklad a zdůvodnění vyhledávacího průzkumu průmyslových akumulační ropy a plynu v této oblasti, prováděný Moravskými naftovými doly, Hodonín.

K tisku doporučil V. Homola

Literatura

- Adámek J. - Petr A. (1975): Výpočet zásob zemního plynu ložiska Hradisko k 30. 10. 1975. — MS Morav. naft. doly, Hodonín.
- Alekscejev F. A. (1970): Sovremenneje sostojaniye razrabotki priamyh geochemičeskikh metodov poiskov neftjanych i gazovych mestoroždenij. In: Prjainyje geochemičeskie metody poiskov nefti i gaza, 3—18. — Trudy Vsesojuz. nauč.-issled. Inst. jader. Geofiz. Geochim. VNIJAGO, 6. Moskva.
- Altovskij M. E. (1967): Gidrochimičeskie pokazateli neftegazonosnosti. — Izdat. Nedra, Moskva.
- Bars E. A. (1957): Gidrochimičeskie pokazateli neftenosnosti i hidrochimičeskie metody poiskov neftjanych zaledzej. — Geol. Nefti, 8. Moskva.
- Collins A. G. (1975): Geochemistry of oilfield waters. — Elsevier, Amsterdam — Oxford — New York.
- Dadašev F. G. - Salajev S. G. (1965): Zakonomernosti izmenenija chimičeskogo sostava uglovodorodnyh gazov kak kriterii poiskov gazovych zaledzej v Azerbejdžane. — Práce Výzk. Úst. čs. naft. Dolů, Brno, 24/1, 113—136, 191—198. Brno.
- Dlabač M. (1946): Příprava materiálů o naftových ložiskách ČSR. — MS Ústř. úst. geol. Brno.
- (1949): Zpráva o geologických a naftových poměrech v území mezi Židlochovicemi a Sokolnicemi. — MS archív Morav. naft. doly, Hodonín.
- Eliáš M. (1977): Paläogeographische Entwicklung des Mesozoikums und des Tertiärs am Rande der Karpaten und des Böhmisches Massivs. — Erdöl-Erdgas-Z., 93, Sonderausgabe, 5—11. Wien — Hamburg.
- (1981): Facies and paleogeography of the Jurassic of the Bohemian Massif. — Sb. věd. Geol., 35, 75—144. Praha.

- Eliáš M., - Eliášová H. (1980): Sedimentologie a mikrofacie jury Pavlovských vrchů. — MS archív Ústř. úst. geol. Praha.
- Gurevič M. S. et al. (1956): Voprosy neftepoiskovoj hidrogeologii. — Gasgeoltechizdat. Moskva.
- Homola V. (1961): Hydrogeologie jz. části vněkarpatské pánve na Moravě. Čerpací pokusy na vrtbách, 103—114. In: Homola V. et al. (1961): Opěrná vrtba Nesvačilka-1 v jz. části vněkarpatské pánve na Moravě. — Práce Výzk. Úst. čs. naft. Doh. 71—82, 103—114. Brno.
- Hromec J. (1970): Závěrečná vrtně geologická zpráva o vrtu Nikolčice-2A. — MS Morav. naft. doly. Hodonín.
- Chanić A. A. (1964): Klassifikacija pesčano-alevitovych porod-kollektorov nefti i gaza. — Trudy Vsesojuz. neft. nauč.-issled. geol. razv. Inst., 20/28, 12—40. Moskva.
- Chmelík F. et al. (1970): Komplexní geologické zhodnocení vrtu Lubná-1 s přihlédnutím k výsledkům vrtů Lubná-2, -3, -4. — MS Ústř. úst. geol. Praha.
- (1977): Komplexní geologické zhodnocení úseku Střed na v. Moravě a jeho perspektivnost pro výskyt ložisek nafty a zemního plynu. — MS archív Ústř. úst. geol. Praha.
- Jakucení V. P. (1968): Geologija gelija. — Izdat. Nedra. Leningrad.
- Janák J. (1956): Analytický výzkum zemních plynů. — MS Ústř. úst. geol. Brno.
- Jetel J. (1970): Hydrogeologie vrtu Lubná-1. In: Chmelík F. et al. (1970): Komplexní geologické zhodnocení vrtu Lubná-1 s přihlédnutím k výsledkům vrtů Lubná-2, -3 a -4. — MS archív Ústř. úst. geol. Praha.
- Juránek J., - Novotný D. (1969): Technicko-ekonomický rozbor možnosti otvírky a těžby starých žatčanských ložisek metodou vnitroložiskové spalovací vlny. — MS archív. Výzk. úst. geol. inž. Brno.
- Kalvoda J. (1980): Předběžné výsledky stratigrafického a mikrofaciálního výzkumu spodnokarbonických a svrchnodevonských (famenských) karbonátů v hlubokých vrtech úseku „Jih“ a „Střed“. In: Zukalová V. et al. (1980): Biostratigrafické zónování a korelace palcozoika v hlubokých vrtech v podloží a předpolí Karpat na Moravě v oblasti „Jih“ a jižní části oblasti „Střed“. — MS archív Ústř. úst. geol. Praha.
- Kofanov K. P. (1959): Geochimičeskaja klassifikacija uglevodorodnyh gazov. — Trudy Krasnodar. fil. Vsesojuz. neft. issled. Inst., 1, Gostoptechizdat. Moskva.
- Kolářová M. (1976): Hydrogeologická kritéria prospekce uhlovodíků v oblasti karpatské předhlubně a flyšového pásmu čs. části z. Karpat. — MS archív Ústř. úst. geol. Praha.
- (1981): Hydrogeologická kritéria prospekce uhlovodíků v oblasti karpatské předhlubně a flyšového pásmu čs. části západních Karpat. — Sbor. geol. Věd, ložisk. Geol., Mineral., 22, 89—157. Praha.
- Kosteinský P. (1976): Výpočet zásob nafty a zemního plynu ložiska Kostelany. — MS archív Morav. naft. doly. Hodonín.
- (1983): Dodatek k závěrečné zprávě o hlubokém strukturním průzkumu jižních svahů Ždánické elevace I. a II. etapa — Ekonomické zhodnocení a výpočet zásob. — MS archív Morav. naft. doly. Hodonín.
- Kozlov A. L. (1950): Problemy geochemii prirodnych gazov. — Gostoptechizdat. Moskva — Leningrad.
- Krajča J. (1960): Výpočty fázových rovnováh v soustavách ložisková voda — zemní plyny. — MS Výzk. úst. geol. inž. Brno.
- Krejčí J., - Brzobohatý J. (1984): Výpočet zásob nafty a zemního plynu naleziště Ždánice k 30. 6. 1983. — MS archív Morav. naft. doly. Hodonín.

- Květ R. (1963): O hydrogeochemii flyšového podloží neogenní vídeňské pánve. — MS archív Ústř. úst. geol. Praha.
- (1970): Geneze hlavních složek plynných vývěrů u Hluku (okr. Uh. Hradiště). — Čas. Mineral. Geol., 15, 4, 357—367. Praha.
 - (1973): K problémům genezisa sádrovodoroda prirodnych vod. — Geochimija, 4, 625—628. Moskva.
- Květ R. - Michalíček M. (1966): Hydrogeochemický výzkum z. části karpatského flyše. — Práce Výzk. úst. čs. naft. Dolní, 23, 100—112, 29—79. Praha.
- Lang Z. (1970): Kontrola a vyhodnocení čerpacích a testerových zkoušek při výzkumu karpatské neogenní předhlubně (Mikulov-1, Mušov-1, Nikolčice-2A, Slavkov-2, Kobylí-1). — MS archív Ústř. úst. geol. Brno.
- (1971a): Kontrola a vyhodnocení čerpacích a testerových zkoušek při výzkumu karpatské neogenní předhlubně (Nikolčice-2A). — MS archív Výzk. úst. geol. inž. Brno.
 - (1971b): Kontrola a vyhodnocení čerpacích a testerových zkoušek při výzkumu karpatské neogenní předhlubně (Žarošice-1, -2, Lubná-2, -3, -4, Itataje-1, Nesvačilka-3, Bučovice-1). — MS archív Výzk. úst. geol. inž. Brno.
 - (1972): Kontrola a vyhodnocení čerpacích a testerových zkoušek při výzkumu karpatské neogenní předhlubně (Dražovice-2, Březůvky-1, Lubná-5, -6, -7, Bařice-1, Blatnička-1, Nítkovice-2). — MS archív Výzk. úst. geol. inž. Brno.
 - (1973): Kontrola a vyhodnocení čerpacích a testerových zkoušek při výzkumu karpatské neogenní předhlubně (krystalinikum, devon, karbon, jura, paleogén, neogén). — MS archív Výzk. úst. geol. inž. Brno.
 - (1974): Kontrola a vyhodnocení čerpacích a testerových zkoušek při výzkumu karpatské neogenní předhlubně (Holešov-1, Kožušice-1, Lubná-8, -9, Nikolčice-4, -6, Nítkovice-3, -6, Rusava-1, Stupava-1, Ždánice-1, -2). — MS archív Výzk. úst. geol. inž. Brno.
- Michalíček M. (1967): Hydrogeochemický výzkum na vrtně Bučovice-1. In: Michalíček M. - Simánek V. (1967): Geochemie vrty Bučovice-1. — MS archív Ústř. úst. geol. Brno.
- (1969): Naftově geochemický výzkum vrty Žarošice-1 a Žarošice-2. — MS archív Ústř. úst. geol. Brno.
 - (1970): Naftově geochemický výzkum vrty Lubná-1 (Lubná-1 až -4). — MS archív Ústř. úst. geol. Brno.
 - (1971): Hydrogeologie a hydrogeochemie úseku „Jih“. — MS archív Ústř. úst. geol. Brno.
 - (1972): Geochemie plynů čsl. Karpat: II. část — Rozpuštěné plyny ve vodách. — MS archív Ústř. úst. geol. Brno.
 - (1974a): Naftově geochemický výzkum jv. svahů Českého masivu. — Zem. Plyn Nafta, 19, 3, 349—358. Hodonín — Gbely.
 - (1974b): Klasifikace zemních plynů a proplyněných vod. — Věst. Ustř. Úst. geol., 19, 2, 115—120. Praha.
 - (1975): Helium v zemních plynech ČSSR. — Sbor. geol. Věd, ložisk. Geol. Mineral., 17, 215—240. Praha.
 - (1976): Naftová hydrogeochemie vrty Jarošov-1. — MS archív Ústř. úst. geol. Brno.
 - (1978): Hydrogeochemické hodnocení jižní části předhlubně a vnějších Karpat na Moravě pro výhledávání ložisek ropy a plynu. — Sbor. geol. Věd, ložisk. Geol. Mineral., 19, 35—87. Praha.
 - (1980): Příspěvek k geochemii zemních plynů československé části vídeňské pánve a Ostravská. — Sbor. geol. Věd, ložisk. Geol. Mineral., 21, 133—182. Praha.
 - (1981): Geochemie hlubinných vod a plynů jv. svahů Českého masivu v úseku Jih. — MS archív Ústř. úst. geol. Brno.

- Michaliček M., - Dlabač M. (1965): Tiefenwässer (Erdölwässer) der westkarpatischen Neogenbecken auf dem Gebiet der ČSSR. — Sbor. geol. Věd, Hydrogeol. inž. Geol., 2, 135—162. Praha.
- Michaliček M., - Meněk E. (1981): Projekt „Komplexní zhodnocení litofaciálního vývoje sedimentů paleozoika a mezozoika jv. svahů Českého masívu v podloží vnější karpatské předhlubně a flyšového pásma Karpat“. — MS databanka odboru organické a plynové geochemie Ústř. úst. geol. Brno.
- Michaliček M., - Procházková V. (1971): Hydrogeologie a hydrogeochemie úseku Jih. — MS archív Ústř. úst. geol. Brno.
- (1972): Naftová hydrogeochemie vrtu Dražovice-2 a hodnocení živěné perspektivnosti Drahanské vrchoviny. — MS archív Ústř. úst. geol. Brno.
- Němec F. (1970): Zhodnocení výsledků výzkumných a průzkumných prací provedených na kostelanské elevaci s návrhem metodiky pro vyhledávání analogických ložisek. — Zem. Plyn Nafta, 15, 2. Hodonín.
- Palmer Ch. (1911): The geochemical interpretation of water analyses. — U. S. Geol. Surv. Bull., 479, 31. Washington.
- Plička M. (1956): Vyhodnocení výskytu živic ve ždánickém flyši. — MS archív Ústř. úst. geol. Brno.
- (1958): Hluk: dílčí zpráva Vyhodnocení výskytů živic v magurském flyši. — MS Ústř. úst. geol. Brno.
- (1967): Živěné projevy v západní oblasti magurského flyše na území ČSSR. — Práce Výzk. Úst. geol. Inž., 25, 166—173, 47—79. Brno.
- Priklonskij V. A., - Laptev F. F. (1949): Rukovodstvo po izučenii fyzikal'nykh svoystv i chimičeskogo sostava podzemnykh vod. — Gostoptechizdat. Moskva.
- Remane A. (1958): Die biologischen Grenzen Meer-Süßwasser und Meer-Land. — Geol. Rdsch., 47/1, 11. Stuttgart.
- Rezníková A. N. (1969): O geochimickom značenii sootnoshenija koncentracij n-butana i izo-butana v nestjanych gazach. — Geol. Nefti i Gaza, 4, 43—77. Moskva.
- Rittenhouse G. (1967): Bromine in oil-field waters and its use in determining possibilities of origin of these waters. — Bull. Amer. Assoc. Petrol. Geologist, 51, 12, 2430—2240. Tulsa.
- Rehánek J. (1978): Mikrofaacie a mikrofauna (in certae sedis) písčito-glaukonitové série svrchní křídy z podloží karpatské předhlubně a vnějšího flyšového pásma na jižní Moravě. — Zem. Plyn Nafta, 23, 4, 327—346. Hodonín.
- Skoček V. (1978): Doplňující sedimentologická zhodnocení paleozoika (včetně devonských bazálních klastik) z nových a starších vrtů MND Hodonín v úseku Jih, Střed, Sever a j. — MS archív Ústř. úst. geol. Praha.
- Strániček Z. (1980): Litostratigrafické korelace svrchnococenních až spodnomiocenných sedimentů severních okrajů Tethidy na jižní Moravě. — Abstrakt přednášky. Mezinárodní věd. konference Vys. školy báňské. Ostrava.
- Šimánek V. (1976): Naftově geochemický výzkum vrtu Jarošov-1. — MS archív Ústř. úst. geol. Brno.
- (1977): Naftově geochemický výzkum úseku Střed. — MS archív Ústř. úst. geol. Brno.
- (1981): Naftově geochemický výzkum úseku „Jih“, II. etapa. — MS archív Ústř. úst. geol. Brno.
- Spička V. (1976): Hlubinná geologická stavba autochtonu na jižní Moravě a jeho perspektivnost pro ropu a plyn. — Sbor. geol. Věd, Geol., 28, 9—113. Praha.
- Spička V. et al. (1976): Komplexní geologické zhodnocení operného hlubinného vrtu Jarošov-1. — MS archív Ústř. úst. geol. Praha

- Těžký A. (1973): Shrnutí výsledků a možností karotážního měření z úseku Střed.
— MS Geofyzika, Brno.
- Těžký A., - Šelle M., - Kalina J. (1971): Shrnutí výsledků a možností karotážního měření v úseku „Jih“. In: Špička V. et al: Hlubinná geologická stavba autochtonního podkladu v j. úseku flyšového pásma a jeho perspektivnost pro naftu a plyn. — MS archív Ústř. úst. geol. Praha.
- Thon A. et al. (1974): Geologická koncepce průzkumných prací Morav. naftových dolů. Zhdnocení a vymezení strukturních rajonů nadějných na výskyt přírodních uhlovodíků na jv. svazích Českého masívu. — Zem. Plyn Nafta, 19, 3, 269—291. Hodonín — Gbely.
- Thon A., - Kostelníček P. (1980): Nové poznatky o geologické stavbě a ropoplynonošnosti autochtonních útvarů ve Ždánickém lese. — Geol. Průz., 22/ 6, 161—164. Praha.
- Tokarev A. N. - Ščerbakov A. V. (1956): Radiogidrogeologija. — Gostoptechizdat. Moskva.
- Uhmán J. (1973): Fyzikální vlastnosti hornin v úseku Střed. — MS archív Geofyzika. Brno.
- Valjaško M. G. (1956): Geochimija bromu v processach galogeneza i ispol'zovaniye soderžaniya bromu v kačestve genetičeskogo i poiskovogo kriterija. — Geochimija, 6, 570—589. Moskva.

Геохимия глубинных вод и газов центральной Моравии

(Резюме чешского текста)

Мирослав Михаличек

Представлено 6-го января 1984 г.

В работе обобщены гидрогохимические результаты, полученные в разведочных скважинах на нефть и газ в центральной части области юго-восточных склонов Чешского массива, ограниченной на севере приблизительно зоной Верхнеморавской долины, а на юге — несвачильским grabenом (прил. 1). Эта область в настоящее время характеризуется уже высокой степенью разведанности в результате поисковой разведки месторождений нефти и газа, проводящейся Моравской нефтяной промышленностью, Годонин, и Геологоразведкой, Острава, которые реализуют результаты фундаментального геологического исследования, проведенного в этой области Центральным геологическим институтом.

Запасы нефти «жатчанских месторождений» (Жатчаны—Жеротин—Талы) (Juránek - Novotný 1969) подверглись в 1969 г., перед началом добычи третичным методом внутрипластового движущегося очага горения, переоценке.

Подсчет запасов нефти и газа проводился также для нефтегазопродуктивной структуры Костеланы (Лубна) (Chmelík et. al. 1970, Němec 1970, Kostelníček 1976), Угржице (Kostelníček 1983), Жданице (Krejčí - Brzobohatý 1984) и для газопродуктивной структуры Градиско (Нитковице) (Adámek - Petr 1975).

Работы по разведке продолжаются в районах месторождений Жданице и в пределах других положительных структур: Кобержице — скопление газа, Ежов — скопления нефти и газа, Корычаны — скопления газа, Ступава — скопления газа.

Основные результаты, полученные при помощи бурения, приводятся в табл. 1—4.

Геологическое строение области показано на приложениях 1 и 2. Основными геологическими условиями, решающим образом повлиявшими на сохранение или разрушение скоплений углеводородов при предположении их полифазового образования и многократной миграции, можно считать чередование периодов осадконакопления, перерыва и орогенических фаз, которые формировали развитие варисцид Чешского массива, их формирование в эпиварисскую платформу, перекрытие неоидным структурным

ярусом (неогеновым заполнением передового прогиба и надвигом внеречного альпийского покрова) (Micaníčák - Menčík 1981).

С точки зрения потенциальной нефтегазоносности в осадочном разрезе области по Шиманеку (Šimánek 1976, 1977, 1981) имеет значение присутствие следующих литостратиграфических комплексов (они приводятся по порядку важности): автохтонный палеоген, микуловские уплотненные мергели юры; значительно меньшее значение имеют нижнекарбоновые сланцы (кульм), карбонатный девон Чешского массива, а также пелито-псаммитовые отложения неогена Предкарпатского прогиба. Из надвигов магурской флишевой области Карпат практическое значение имеют прежде всего злинские слои рачанской зоны, а второстепенное — толщи белокарпатской зоны. Что касается внешних флишевых надвигов Карпат, здесь имеют значение, особенно в южной части области юго-восточных склонов Чешского массива, отложения поуздрянской зоны и подмеланитовых слоев жданицкой зоны.

В генезисе углеводородных газов второго поколения могут также играть роль вследствие их объемов и абсолютных масс горные породы других литостратиграфических комплексов в благоприятных геологических (термодинамических) условиях на глубинах 6—7 км. Их генезис — по результатам измерения рефлексивностей рассеянного органического вещества — до сих пор не осуществился.

По современным гидрогеологическим данным и результатам коллекторами считаются горные породы выбетренной поверхности кристаллического массива, в палеозое коллекторами можно считать базальные обломочные породы нижнего—среднего девона фации „old red“ (кварцевые песчаники и конгломераты, в меньшей степени арковые конгломераты и песчанистые глины), доломитизированные части девонских рифовых вилемовицких и лажанецких известняков, псаммыты (граувакковые и арковые песчаники, конгломераты) континентального верхнего карбона. В мезозое коллекторами являются прежде всего псаммитовые толщи грестенских слоев лейаса—нижнего доггера (дельтовые и протodelтовые отложения) и никольчицкие слои в фации песчанистых доломитов и доломитовых песчаников с кварцевыми песчаниками на основе карбонатного и пелито-карбонатного развития, а также карбонатные толщи, особенно с увеличивающейся доломитизацией карбонатов, которые в окраинных частях закарстованы. В автохтонном палеогене, в автохтонном неогене и на разрезе надвигов к коллекторам относятся толщи песков, песчаников и, главным образом, базальные обломочные породы.

По классификации Ханина (Chonin 1964) коллекторы палеозоя и мезозоя относятся к последней V-ой категории коллекторов, однако были разведаны также структуры с коллекторами IV-ой категории, где проницаемость находится в пределах $1-10^{-2} \mu\text{m}^2$, а пористость составляет

8—18 %. В порядке исключения встречаемся с коллекторскими свойствами, соответствующими III-й категории коллекторов (напр. Ежов — базальные обломочные породы девона, никольчицкие слои юри на структурах Ежов, Мушков, Микулов).

Карбонаты палеозоя и мезозоя относятся к V-ой категории коллекторов с пористостью ниже 8 % (обычно 2—4 %) и с проницаемостью меньше $1 \cdot 10^{-2} \mu\text{m}^2$. К высшей категории коллекторов относим промытые и закарстованные карбонаты юры западнее фациальной границы распространения пелито-карбонатного комплекса (Бржези-1, Дунаёвице-1, Грушованы-1, Новоседлы-1, Мушков-1 и др.). Псаммиты автохтонного палеогена и неогена являются коллекторами IV—III категорий, в то время как псаммиты флишевых надвигов Карпат являются, в большинстве случаев, плохими коллекторами V-ой категории по классификации Ханина (Chanin 1964).

Следовательно, ограничивающим фактором промышленной нефтегазопродуктивности всех осадочных комплексов на разрезе целой области является ограниченное наличие хороших коллекторов и их региональное распространение.

Гидрогеологическая оценка структурной зоны Предкарпатского прогиба проведена для платформенного палеозоя и для неогена Предкарпатского прогиба, не перекрытого флишевыми надвигами Карпат.

Нижний структурный этаж — платформенный палеозой — сложен базальными обломочными породами и конгломератами девона, карбонатами, известняками и доломитами девона и нижнего карбона, песчаниками и сланцами нижнего карбона.

Решающим фактором с точки зрения гидрогеологической замкнутости палеозоя и, следовательно, создания условий для образования и сохранения скоплений нефти и газа, является удаленность структур от окраины Чешского массива, существование и увеличение мощностей перекрывающих, а также материнских толщ кульма, автохтонного палеогена и автохтонного неогена Предкарпатского прогиба и в области флишевой зоны Карпат и отдельных флишевых надвигов.

По гидрохимическим и гидрогеологическим критериям перспективными в отношении наличия битумов в несвачильском гарбене являются кульм и толщи карбонатов нижнего карбона.

На структуре Градиско (Нитковице) сегодняшняя гидрогеологическая замкнутость толщ девона доказана существованием месторождения метанового газа с повышенным содержанием гелия в пределах контакта самых высоких толщ вилемовицких известняков девона и базальных обломочных пород карпата.

В значительной части интересующей нас области платформенный палеозой гидрогеологической структурной зоны Предкарпатский прогиб

является с точки зрения возможностей образования и сохранения месторождений нефти и газа неперспективным в результате промытия, опреснения проницаемых толщ и эмиграции углеводоров в период перерыва палеозой — эггенбург—баден. И сегодня проницаемые толщи палеозоя относятся на этих структурах к гидрогеологической зоне свободного или же ограниченного обмена вод (Менин-1, Ратае-1, Швабенице-1, Роусинов-1, Дражовице-2, Славков-2).

Оценка перспективности верхнего структурного яруса неогена Предкарпатского прогиба, представленного пелитами и псаммитами в возрасте эггенбург—оттнант, карпат и нижний баден, с точки зрения наличия битумов является относительно положительной. Аналогично палеозою перспективность неогеновой толщи Предкарпатского прогиба с точки зрения наличия битумов растет в восточном направлении от окраины Чешского массива, по мере увеличения гидрогеологической замкнутости толщи и по мере увеличения давления насыщения вод метаном и т. д. (Нитковице, Морковице). У западной окраины неогенового передового прогиба и в случае неглубокого залегания проницаемых толщ имели место достигшее уже высокой степени опреснение первичных синеседиментационных вод и эмиграция образовавшихся битумов (Несвачилька-3, Роусинов-1, Дражовице-2, Ратае-1 и др.).

Оценка гидрореологической структурной зоны флишевой зоны Карпат подразделяется на оценку отдельных структурных ярусов кристаллических пород, палеозоя, мезозоя, палеогена-автохтона, неогена Предкарпатского прогиба под надвигами и флишевой зоны Карпат.

Кристаллические породы — их выветренная поверхность — играют роль коллектора для нефти и газа на структурах Костеланы, Жданице, Корычаны (промышленные скопления), а также на других структурах — Русава, Угржице. Инфильтрация морских вод эвгалинной солености, насыщенных и даже пересыщенных углеводородами, из карпата в выветренную поверхность кристаллических пород доказана химизмом вод в скважинах Ступава-1, Тлумачов-1. Гидрогоеомическая связь между кристаллическими породами, девоном и карпатором доказана на скважине Голешов-1, однако ее гидрогеологическая оценка с точки зрения наличия нефти является отрицательной. Отрицательной является также оценка кристаллических пород в районе скважины Гулин-1 с опресненными водами, низконасыщенными метаном, инфильтровавшими из карпата.

Гидрогоеомические результаты из палеозоя — девона вплоть до нижнего карбона — под флишевыми надвигами в интересующей нас области являются в отношении наличия нефти положительными (Жарошице, Немички, Тешаны, Угржице, Ежов). Коллекторы, отличающиеся в большинстве случаев малой проницаемостью, являются гидрогеологически замкнутыми, обводненными солянками первичного генезиса или водами

эвгалинной солености, насыщенными и даже пересыщенными метановыми газами. Установленные скопления нефти и метанового газа не имеют промышленного значения за исключением структуры Угржице.

В интересующей нас области отложения автохтонного мезозоя — юры Чешского массива — установлены под флишевыми надвигами Карпат лишь на структурах Кобыли, Угржице и Немчички. С учетом данных по целой области наличия автохтонной юры на нашей территории (Michalíček 1981) перспективной в отношении наличия битумов считается пелито-псаммитовая фация юры, определенная Элиашем (Eliáš - Eliášová 1980). Оценка обоснована гидрогеологической замкнутостью комплекса, насыщением—пересыщением солянок метаном и проявлениями нефти и газа на целом ряде структур. Автохтонность солянок не доказана; с точки зрения их происхождения более возможным считается девон ввиду мелководного и гиперсоленого развития осадконакопления доломитов девона (Skoček 1978, Kalvoda 1980). Химическая аналогия солянок в толще карбона (Немчички-1, Уезд-1), девона (Тешаны-1, Никольчице-6) и солянок юры очевидна. Коррелируемость химизма солянок девона также с солянками автохтонного палеогена несвачильского и врановицкого грабенов с доказанным морским развитием свидетельствует о возможности девонского происхождения солянок в разрезе осадков всей области. Следовательно, гидрогеологически замкнутый комплекс юры в пелито-псаммитовом развитии представляет собой миграционную и собирательную толщу не только для углеводородов первичного и вторичного генезиса из материнских пород юры, но и для углеводородов второго поколения из палеозоя.

Западнее границы между пелито-карбонатной фацией и фацией карбонатов юры по геохимии вод и газов была установлена сегодняшняя гидрогеологическая открытость карбонатного комплекса юры, современная стадия вымывания и опреснения боковой инфильтрацией вадозных вод от окраины Чешского массива. По гидродинамической и гидрохимической связности юрских карбонатов с вышележащими горизонтами нижнего миоцена и карпата (Мушов-1, Новоседлы-1, Поуздржаны-1) при неогеновом перекрытии юры недостаточной мощности необходимо также предполагать вертикальную инфильтрацию вадозных вод. Следовательно, возможность открытия выразительного скопления нефти и газа в этой области ограничена.

Положительную гидрогеологическую оценку автохтонного олигоцена (Homola 1961) по данным бурения скважины Несвачилька-1, обоснованную гидрогеологической замкнутостью и насыщением глубокозалегающих проницаемых толщ, слабыми солянками — водами эвгалинной минерализации, насыщенными и пересыщенными углеводородами, под-

тврждают также новые результаты, полученные в скважинах Никольчице-2А, Кобыли-1, Тешаны-1, Угржице-1.

Перспективность неогена под флишевыми надвигами Карпат в интересующей нас области с точки зрения наличия битумов больше, чем в гидрогеологической структурной зоне Предкарпатский прогиб. Это является результатом более высокой гидрогеологической замкнутости, более высокого кроющего эффекта флишевых надвигов и большего удаления от окраины Чешского массива. Новым месторождением углеводородов, промышленная эксплуатация которого вполне реальна, является месторождение нефти и газа в карпатах в районе Жданице (Krejčí - Brzobohatý 1984). Высокий нефтегазоматеринский характер неогеновых отложений, особенно карпата, находит отражение в содержании биогенных элементов и в насыщении и пересыщении сильно минерализованных Na-Cl вод в гидрогеологически замкнутых коллекторах эггенбург-оттенангского возраста (Жарошице-2), карпатского возраста (Кожушице-1—4, Яргневице-1, Роштин-1, Кромержиж-1, структура Костеланы). Скопления метана под давлением были установлены также целым рядом скважин в карпатах на структурах Костеланы, Градиско, Кожушице, Кобержице. В псаммитах карпата в северной части юго-восточных склонов Чешского массива известны промышленные месторождения метановых газов Хорыне, Пршибор, Клокочов.

Флишевая зона Карпат в центральной и в южной частях области юго-восточных склонов Чешского массива остается с точки зрения перспективности в отношении наличия здесь битумов открытой проблемой. Это касается прежде всего магурского надвига. По внешней фличевой зоне мы располагаем минимальной гидрогеологической информацией по отдельным гидрогеологическим (и тектоническим) поуздрянской и здоунецкой зонам, карпата парвотхона, на разрезе которых при преимущественно пелитовом развитии отложений коллекторы не представлены или же их псаммиты обладают отрицательными коллекторскими свойствами.

Максимальное проявление битумов — непромышленный приток нефти и газа — было установлено на структурах Кобыли-1 и Немички-1 из проницаемых псаммитов поуздрянской (и жданицкой) зоны.

В жданицко-подсилезской зоне был установлен целый ряд проявлений газа, хотя они не имеют промышленного значения (Бояновице-1, Курдёёв-3, Жарошице-2, Угржице-3, Цф Кобыли-1), притоки нефти и газа были доказаны в скважинах Кобыли-1 и Ежов-1 и гидрогеологически замкнутые воды Na-Cl типа, насыщенные — пересыщенные метаном, — в скважинах Жарошице-1, Роштин-1, Яргневице-1.

Жданицко-подсилезская зона представляет собой сегодня непроницаемую толщу-покрышку. Проницаемые псаммиты, встречающиеся в ред-

ких случаях в подмениллитовых слоях, а чаще в жданицко-густопеческих и мениллитовых слоях, являются плохими коллекторами. Скопления углеводоролов или насыщение и пересыщение замкнутых здесь вод являются результатом дополнительной миграции из толщ материнских пород из непосредственной окрестности ловушек. Учитывая плохие коллекторские свойства, существование и открытие крупных месторождений промышленного значения мало вероятно.

Гидрогеологическая оценка внутреннего (магурского) надвига основывается на результатах, полученных в разведочных скважинах из верхнего складчатого комплекса магурской флишевой зоны мощностью более 5,5 км. Нижний комплекс, сложенный мезозойскими отложениями верхнетриасового?—альбского возраста, установленный скважиной Ярошов-1 (Špička et al. 1976), вообще нельзя реально оценить. Сегодня пока еще также невозможно провести ответственную оценку значения белокарпатской зоны или быстрицкой зоны как комплекса-покрышки, в котором однако, не исключено присутствие мощных коллекторов.

При существующем состоянии знаний (несмотря на притоки нефти и метанового газа из псаммитовых проницаемых толщ нижних и верхних соланьских слоев и нижних злинских слоев в скважине Ярошов-1, нефти из верхних злинских слоев на скважине Бржеувки-1, проявления газа со следами нефти в нижних соланьских слоях на скважинах Осчетимзы-1, Ступава-3, Ежов-1 и метанового газа из злинских слоев рачанской зоны на скважине Блатничка-1) мы считаем верхний комплекс рачанской зоны мало надежным с точки зрения открытия промышленных месторождений нефти и газа. Ни одна скважина пока не показала существование благоприятно развитых, выдержаных по площади коллекторов большей мощности.

Кроме отсутствия регионально развитых хороших коллекторов достаточной мощности отрицательным фактом является более чем 50%-ое опреснение целого верхнего, смятого в складки комплекса рачанской зоны, т. е. до глубины приблизительно 5000 м (по скважине Ярошов-1), но и других зон внутренней (магурской) и также внешней флишевой области.

Подобный химизм вод в целом профиле внешней и внутренней (магурской) флишевой зон Карпат, независимость химизма, особенно хлоридно-натриевой солености, от глубины залегания, от литостратиграфической принадлежности свидетельствует о том, что опреснение, вымывание имело место еще перед достижением современного высокого состояния диагенеза.

Вместе с вымыванием первичных вод в геологическом прошлом неизбежно происходила частичная эмиграция, вымывание углеводородов первичного происхождения. Сегодняшнее содержание битумов в коллекто-

гах представляют собой остаточные первичные битумы, а также углеводороды вторичного происхождения.

Исходя из имеющихся сведений и знаний, можно сделать заключение, что в верхнем складчатом комплексе внешней и внутренней флишевой зон Карпат существуют скопления газообразных и жидких углеводородов. Однако, пока нам не известны никакие реальные факторы, которые обосновали бы предположение открытия в этом комплексе крупных месторождений углеводородов, особенно месторождений нефти. Более вероятным является существование месторождений газа скорее вторичного происхождения, которые, при возможном очень грубоком залегании и, следовательно, больших давлениях, несмотря на малую пористость коллекторов, могли бы иметь большое значение.

С точки зрения открытия крупных месторождений углеводородов, прежде всего газов, мы считаем более надежным нижний комплекс магурской флишевой зоны ввиду его мало интенсивного смятия в складки, субгоризонтального залегания слоев. Вышележащий, смятый в складки комплекс мог в геологическом прошлом играть роль как покрышки, так и источника. Коллекторы могут быть здесь также насыщены газами вторичного происхождения; они образовались или, точнее, были выделены из материнских пород в результате интенсивного складкообразования и диагенеза флишевых горных пород, погруженных в больших глубинах.

Газы в центральной части области юго-восточных склонов Чешского массива, растворенные в глубинных водах, нефтях, а также пластовые газы, несмотря на их возраст и литологию коллектора или толщи, к которой они принадлежат также генетически, относятся к газам преимущественно метановым, по классификации углеводородных газов Кофanova (Белов 1959) — к этан-пропановым. С генетической точки зрения это типичные газы нефтяного происхождения, характеризующиеся (хотя иногда очень низким) содержанием высших газообразных алканов в углеродородном спектре.

Исключение в химизме представляют собой газы, растворенные в водах девона на скважинах Дражовице-2, Швабенице-1 и Ратае-2, которые при принадлежности горизонтов к гидрогеологической зоне открытого (или ограниченного) обмена вод относим к газам азотного (азот более 75 объем. %) или азотно-метанового (Ратае-2) типа. Кроме метана из высших углеводородов в этих газах присутствует только этан (следы).

Повышенные содержания азота были установлены на целом ряде скважин, причем его концентрации находятся в пределах 10—20 объем. %: Марефы-1, Несвачилька-1, Нитковице-2, 5, Осветиманы-1, Ратае-1, Ступава-1, Тлумачов-1. Повышенная концентрация азота в большинстве случаев связана с повышением гелиеносности или с аномальной долей биогенного азота.

Данные о возрасте аккумуляций метановых газов, полученные гелий-argonовым методом, колеблются в пределах от одного до сорока миллионов лет.

Месторождения газа Костеланы-запад, а также Градиско, представляют собой скопления гелиеносного метанового газа. Содержание гелия в газах месторождения Костеланы составляет 0,3—0,4 объем. %, в газах месторождения Градиско — приблизительно 0,1 объем. %. Слабо гелиеносными (гелий приблизительно 0,14 объем. %) представляются также скопления метанового газа в карпатах на скважине Кожушице-4.

Генетическая связь между повышенными концентрациями гелия и повышенными аномальными концентрациями радиоактивных элементов, прежде всего урана, а также тория, в горных породах кристаллического фундамента данной области, урана в отложениях и радия в водах выше-залегающих осадочных толщ, была доказана (Michalíček 1975).

В газах, растворенных в водах и нефтях, и в свободных (спонтанных и пластовых) газах не были практически установлены повышенные содержания CO_2 (более 25 объем. %), наличие сероводорода в глубинных водах или в свободных газах является также явлением совершенно исключительным.

Наличие углекислого газа поствулканического происхождения в широком смысле в газах и глубинных водах изучаемой области очень ограничено. В свободных и растворенных газах он составляет не более 30 % (Глук). Это, однако, не распространяется на растворенные газы минеральных вод (Květ - Michalíček 1966).

Подводящим путем углекислого газа являются глубинные разломы с.-в.—ю.-з. направления зоны Верхненморавской долины. Эта сбросовая зона, характеризующаяся не только выходами кислых минеральных вод, но и термальных вод, продолжается через флишевую и утесовую зоны Карпат.

По результатам анализа геохимии газов газовой структуры Глук подводящая зона и зона насыщения проницаемых толщ и глубинных вод углекислым газом является очень узкой. При малой проницаемости флишевых псаммитов миграция углекислого газа глубинного происхождения приурочена, по всей вероятности, только к собственной проницаемой сбросовой зоне.

Наличие сероводородных и метановых вод естественных выходов и колодцев в данной области чрезвычайно широко. В самой большой степени сероводород биогенного происхождения представлен в водах, содержащих CH_4 , в рапансской зоне. Вместе с многочисленными проявлениями битумов в этой зоне (Plička 1958) это является доказательством того, что в этой области отсутствует толща-покрышка. Рассеянные многочисленные проявления битумов, включая выход метановых—сероводород-

ных вод с повышенным содержанием хлоридов, свидетельствует о недостаточной герметичности и о постоянно протекающем опреснении синседиментационных вод, эмиграции битумов из горных пород в профиле магурского надвига без перекрывающего комплекса. Этой покрышкой являются, по всей вероятности, белокарпатская и быстрицкая зоны.

Přeložila M. Radevová

Пояснения к таблицам

Таблица 1. Нефтегидрохимические и коллекторские данные.

Таблица 2. Выбор характерных химических анализов глубинных вод.

Таблица 3. Радиевые воды области с радиоактивностью более 0,37 беккерелей/л.

Таблица 4. Характерный химизм газов области.

Пояснения к приложениям

Прил. 1

Картограмма скважин в области центральной части юго-восточных склонов Чешско-го массива с пояснениями (краткие литостратиграфические профили скважин и результаты опытной откачки):

1 — границы основных геологических комплексов; 2 — прогиб платформы; 3 — гидрохимические корреляционные разрезы 1—1', 2—2' (приложение 2); 4 — план скважин и их литостратиграфические профили; 5 — зоны внешней флишевой области: А — жданецко-подсилезская, здоунецкая и поудранская зоны, зоны магурской (внутренней) флишевой области Карпат, В — раканская зона, С — быстрицкая зона, D — белокарпатская зона, Е — несвачильский грабен, F — Верхнеморавская долина.

Прил. 2

Гидрохимический корреляционный разрез (1—1'), (2—2'):

1 — корреляционная граница; 2 — трангрессивная граница; 3 — основные плоскости надвига в надвиговом строении флишевых Карпат; 4—9 — приток: 4 — воды, 5 — нефти, 6 — нефти и воды, 7 — газа, 8 — самоизлив, 9 — испытуемый интервал без притока. Примененные сокращения литостратиграфического профиля скважин — см. Введение. Каротажные кривые: PS — самопроизвольная поляризация. Ω — естественное сопротивление.

Geochemistry of deep-seated water and natural gas in central Moravia

Hydrogeochemical prospecting factors indicate that the area of the SE slopes of the Bohemian Massif bounded in the N by the zone of the Upper Moravian Basin and in the S by the Nesvačilka graben is oil and gas promising and its productivity has been proved. The economic outlook improves south-eastward with increasing distance from the margin of the Bohemian Massif as the covering and source rocks increase in thickness. Factors limiting an industrial-scale oil and gas productivity of the sedimentary complexes in the section of the area are the exceptional occurrence of good reservoir rocks, their regional

inconstancy and the high degree of freshening of the waters occurring in the folded complex in the outer and inner flysch zones of the Carpathians. The existence of almost exclusively methane gases of the ethane-propane type of bituminous origin has been proved in the area.

Přeložila H. Silarová

